

คุณสมบัติทางวิศวกรรมของกากของเสียจากอุดสานกรุณกระดาษ

นางสาวกฤตยา ไชยม

วิทยานิพนธ์นี้เป็นส่วนหนึ่งของการศึกษาตามหลักสูตรปริญญาวิศวกรรมศาสตรมหาบัณฑิต

สาขาวิชาวิศวกรรมโยธา ภาควิชาวิศวกรรมโยธา

คณะวิศวกรรมศาสตร์ จุฬาลงกรณ์มหาวิทยาลัย

ปีการศึกษา 2545

ISBN 974-17-1158-1

ลิขสิทธิ์ของจุฬาลงกรณ์มหาวิทยาลัย

ENGINEERING PROPERTIES OF WASTES FROM PAPER MILLED INDUSTRY

Miss.Krittiya Chaiyom

A Thesis Submitted in Partial Fulfillment of the Requirements  
for the Degree of Master of Engineering in Civil Engineering

Department of Civil Engineering

Faculty of Engineering

Chulalongkorn University

Academic Year 2002

ISBN 974-17-1158-1

หัวข้อวิทยานิพนธ์

คุณสมบัติทางวิศวกรรมของกากของเลี้ยงจากอุตสาหกรรมกระดาษ

โดย

นางสาวกฤติยา ไชยม

สาขาวิชา

วิศวกรรมโยธา

อาจารย์ที่ปรึกษา

ผู้ช่วยศาสตราจารย์ ดร. สุพจน์ เตชะรัตน์สกุล

คณะกรรมการคัดเลือก จุฬาลงกรณ์มหาวิทยาลัย อนุมัติให้นับวิทยานิพนธ์ฉบับนี้เป็นส่วน  
หนึ่งของการศึกษาตามหลักสูตรปริญญามหาบัณฑิต

*Nich*

คณบดีคณะวิศวกรรมศาสตร์

(ศาสตราจารย์ ดร. สมศักดิ์ ปัญญาแก้ว)

คณะกรรมการสอบวิทยานิพนธ์

*๙๙ ๖๖:๑๒๒๗* ประธานกรรมการ

(ผู้ช่วยศาสตราจารย์ ดร. ทวี ชนะเรืองกิจ)

*นัน พานิชกุล* อาจารย์ที่ปรึกษา

(ผู้ช่วยศาสตราจารย์ ดร. สุพจน์ เตชะรัตน์สกุล)

*นัน พานิชกุล* กรรมการ

(ผู้ช่วยศาสตราจารย์ ดร. สุรัชดา สัมพันธารักษ์)

กฤติยา ไชยม : คุณสมบัติทางวิศวกรรมของากของเสียจากอุตสาหกรรมกระดาษ. (ENGINEERING PROPERTIES OF WASTES FROM PAPER MILLED INDUSTRY) อ. ที่ปรึกษา: ผศ.ดร.สุพจน์ เทชารันสกุล, 83 หน้า. ISBN 974-17-1158-1.

งานวิจัยนี้มีวัตถุประสงค์เพื่อศึกษาคุณสมบัติทางวิศวกรรมของากของเสียจากอุตสาหกรรมกระดาษ เพื่อให้เป็นคุณสมบัติเบื้องต้นในการวิเคราะห์หาลักษณะการจัดวางากของเสียในหลุมฝังกลบ ที่ทำให้เกิดผลกระทบในระยะยาวต่อหลุมฝังกลบหากของเสียน้อยที่สุด

ากของเสียที่ใช้ในการทดสอบเป็นากของเสียที่เกิดจากอุตสาหกรรมกระดาษ จำนวน 3 ชนิด คือ Lime Mud, Dreg และ Power boiler ash โดยทำการทดสอบคุณสมบัติทางวิศวกรรมด้านกำลังรับน้ำหนัก สมบัติทางด้านการไหลซึม และสมบัติทางด้านการเคลื่อนตัวของากของเสียบดดด ในห้องปฏิบัติการ และนำคุณสมบัติที่ได้จากการทดสอบไปวิเคราะห์ เพื่อประมาณการทрудตัวที่เกิดขึ้นหลังการฝังกลบด้วยโปรแกรมไฟฟ้าในท่อสีเมนต์

ผลการทดสอบคุณสมบัติของากของเสียบดดดในห้องปฏิบัติการ พบว่า Lime Mud มีค่าความหนาแน่นแห้งสูงสุดเท่ากับ  $13 \text{ kN/m}^3$  ที่ปริมาณความชื้นเหมาะสม 33% ไม่มีค่าความเชื่อมแน่แต่มีค่ามูน์ต้านทาน ความเสียดทาน  $44.8^\circ$  มีค่า Drained Young's Modulus แปรผันตาม  $\sigma'_v$  ดังสมการ  $E' = -0.0214(\sigma'_v)^2 + 37.202(\sigma'_v) + 1011.8$  ล้มประสิทธิ์ความชื้นผ่าน  $1 \times 10^{-5}$  ซม./วินาที ส่วน Dreg มีค่าความหนาแน่นแห้งสูงสุดเท่ากับ  $11 \text{ kN/m}^3$  ที่ปริมาณความชื้นเหมาะสม 43% มีค่าความเชื่อมแน่น  $15.3 \text{ kN/m}^2$  ค่ามูน์ต้านทานความเสียดทาน  $43.7^\circ$  มีค่า Drained Young's Modulus แปรผันตาม  $\sigma'_v$  ดังสมการ  $E' = -0.014(\sigma'_v)^2 + 25.771(\sigma'_v) + 707.05$  ล้มประสิทธิ์ความชื้นผ่าน  $8 \times 10^{-6}$  ซม./วินาที และ Power boiler ash มีค่าความหนาแน่นแห้งสูงสุดเท่ากับ  $5.6 \text{ kN/m}^3$  ที่ปริมาณความชื้นเหมาะสม 83% มีค่าความเชื่อมแน่น  $16.8 \text{ kN/m}^2$  ค่ามูน์ต้านทานความเสียดทาน  $42.2^\circ$  มีค่า Drained Young's Modulus แปรผันตาม  $\sigma'_v$  ดังสมการ  $E' = -0.0176(\sigma'_v)^2 + 19.201(\sigma'_v) + 1176.7$  ล้มประสิทธิ์ความชื้นผ่าน  $6.5 \times 10^{-4}$  ซม./วินาที

ผลการวิเคราะห์ Vertical settlement และ Differential settlement ด้วยโปรแกรมไฟฟ้าในท่อสีเมนต์ในสภาวะ Drained พบร่องรอยของการจัดเรียงากของเสียที่เหมาะสมที่สุด ได้แก่ การเรียงตามแนวอน โดยให้ Dreg อยู่ด้านบนสุด รองลงมาคือ Lime Mud และ Power boiler ash ตามลำดับ ซึ่งวิธีนี้จะให้ค่า Maximum differential settlement น้อยที่สุด

ภาควิชา	วิศวกรรมโยธา	ลายมือชื่อนิสิต	
สาขาวิชา	วิศวกรรมโยธา	ลายมือชื่ออาจารย์ที่ปรึกษา	
ปีการศึกษา	2545		

# # 4370210321 : MAJOR CIVIL ENGINEERING

KEY WORD: ENGINEERING PROPERTIES / VERTICAL SETTLEMENT / DIFFERENTIAL SETTLEMENT.

KRITTIYA CHAIYOM: · THESIS TITLE. ENGINEERING PROPERTIES OF WASTES FROM PAPER MILLED INDUSTRY. THESIS ADVISOR: ASST..PROF.DR.SUPOT TEACHAVORASINSKUN, 83 pp. ISBN 974-17-1158-1.

The aim of this thesis is to study the engineering properties of wastes from the paper milled industry. This will be used for preliminary waste arrangement which causes the least differential settlement on landfill

Three types of wastes from paper milled industry, i.e., lime mud, dred and power boiler ash, were used as the samples in this study. The engineering properties of the wastes, which are strength, permeability and deformation modulus, were obtained from the laboratory. Then, the properties were used in the analysis, using a computer program, so as to determine the vertical settlement and differential settlement under several wastes disposal arrangement.

Lime mud gains the maximum dry density of  $13 \text{ kN/m}^3$  at the optimum moisture content of 33%. There is no cohesion intercept, but there is the friction angle of  $44.8^\circ$ . The Drained Young's Modulus of lime mud depends on  $\sigma'_{vo}$  followed  $E' = -0.0214(\sigma'_{vo})^2 + 37.202(\sigma'_{vo}) + 1011.8$ . The permeability of the lime mud is  $1 \times 10^{-5} \text{ cm./sec}$ . Dred gains the maximum dry density of  $11 \text{ kN/m}^3$  at the optimum moisture content of 43%. The cohesion intercept of dred is  $15.3 \text{ kN/m}^2$  and the friction angle is  $43.7^\circ$ . The Drained Young's Modulus of dred depends on  $\sigma'_{vo}$  followed  $E' = -0.014(\sigma'_{vo})^2 + 25.771(\sigma'_{vo}) + 707.05$ . The permeability of the dred is  $8 \times 10^{-6} \text{ cm./sec}$ . Power boiler ash gains the maximum dry density of  $5.6 \text{ kN/m}^3$  at the optimum moisture content of 83%. The cohesion intercept of power boiler ash is  $16.8 \text{ kN/m}^2$  and the friction angle is  $42.2^\circ$ . The Drained Young's Modulus of dred depends on  $\sigma'_{vo}$  followed  $E' = -0.0176(\sigma'_{vo})^2 + 19.201(\sigma'_{vo}) + 1176.7$ . The permeability of the power boiler ash is  $6.5 \times 10^{-4} \text{ cm./sec}$ .

The result of the analysis for the vertical settlement indicates that the most proper way to arrange the wastes is to lay them in layer with the dred, the lime mud, the power boiler ash sequentially.

Department	Civil Engineering	Student's signature
Field of study	Civil Engineering	Advisor's signature
Academic year	2002	

## กิตติกรรมประกาศ

การศึกษาในหัวข้อวิทยานิพนธ์นี้สามารถดำเนินการได้ ด้วยความร่วมมือของบุคคลที่มีความเชี่ยวชาญทางด้านนี้ รวมถึงอาจารย์ที่ปรึกษา ที่ให้โอกาสในการทำวิทยานิพนธ์ พร้อมทั้งให้ความรู้ คำแนะนำ และให้คำปรึกษา ในปัญหาต่าง ๆ ที่เกิดขึ้นอย่างมาก ในการปฏิบัติงาน จนสามารถจัดทำวิทยานิพนธ์ฉบับนี้ได้สำเร็จลุล่วง ไปได้เป็นอย่างดี

ขอขอบพระคุณ ผศ.ดร.สุพจน์ เตชะรัตน์สกุล ออาจารย์ที่ปรึกษา ที่ให้โอกาสในการทำวิทยานิพนธ์ พร้อมทั้งให้ความรู้ คำแนะนำ และให้คำปรึกษา ในปัญหาต่าง ๆ ที่เกิดขึ้นอย่างมาก ในการปฏิบัติงาน จนสามารถจัดทำวิทยานิพนธ์ฉบับนี้ได้สำเร็จลุล่วง

ขอขอบพระคุณ คณะกรรมการสอบวิทยานิพนธ์ทุกท่าน ที่กรุณาสละเวลา และให้คำแนะนำ รวมทั้งให้ข้อคิดที่เป็นประโยชน์ ในการจัดทำวิทยานิพนธ์

ขอขอบพระคุณ เจ้าหน้าที่ห้องวิจัยปฐพีกลศาสตร์ ทุกท่าน ที่ให้ความร่วมมือ และให้ความช่วยเหลือในการวิจัย ซึ่งต้องใช้ทั้งอุปกรณ์ และสถานที่ ในการปฏิบัติงาน จนงานสำเร็จได้ด้วยดี

และสุดท้ายนี้ ขอขอบคุณ รุ่นพี่ และเพื่อน ๆ ทุกท่าน ในความเป็นเพื่อนร่วมงาน ในความช่วยเหลือ ในการเป็นผู้รับฟัง และให้คำแนะนำดี ๆ เสมอมา รวมทั้งผู้ที่ไม่ได้อยู่ถึงในที่นี่ ที่มีส่วนร่วมในวิทยานิพนธ์ฉบับนี้ ผู้จัดทำวิทยานิพนธ์ ขอขอบคุณทุกท่านเป็นอย่างยิ่ง

**สถาบันวิทยบริการ  
อุปกรณ์แม่วิทยาลัย**

## สารบัญ

หน้า

บทคัดย่อภาษาไทย .....	๗
บทคัดย่อภาษาอังกฤษ .....	๘
กิตติกรรมประกาศ.....	๙
สารบัญ .....	๑
สารบัญตาราง.....	๒
สารบัญรูป .....	๓

### บทที่ 1

#### บทนำ

1.1 ความเป็นมาและความสำคัญของปัญหา .....	1
1.2 วัตถุประสงค์ของการวิจัย .....	2
1.3 ขอบเขตของการวิจัย.....	2
1.4 ประโยชน์ที่คาดว่าจะได้รับ .....	3

### บทที่ 2

#### ทฤษฎีและงานวิจัยที่เกี่ยวข้อง

2.1 บทนำ .....	4
2.2 สมบัติทางด้านกำลังรับน้ำหนักของภาคของเสีย .....	7
2.2.1 ความสัมพันธ์ระหว่างความเด่นและความเครียด .....	7
2.2.2 ทฤษฎีการวินิจฉัย .....	7
2.2.3 การศึกษาที่ผ่านมาในอดีต .....	8
2.3 สมบัติในการโหลดชิ้นของภาคของเสีย .....	10
2.3.1 ทฤษฎีการโหลดของน้ำกับการทดสอบสมบัติการโหลดชิ้นในห้องปฏิบัติการ .....	10
2.3.2 การศึกษาที่ผ่านมาในอดีต .....	14
2.4 สมบัติทางด้านการเคลื่อนตัวของภาคของเสีย .....	15
2.4.1 สาเหตุของการทรุดตัวของหลุมฝังกลบภาคของเสีย .....	16
2.4.2 การทรุดตัวของหลุมฝังกลบเนื่องจากน้ำหนักของตัวเอง .....	16

## สารบัญ (ต่อ)

หน้า

2.4.3	การทrusดตัวช่วง primary compression .....	17
2.4.4	การทrusดตัวช่วง secondary compression .....	18
2.4.5	การศึกษาที่ผ่านมาในอดีต.....	19

### บทที่ 3

#### วิธีดำเนินการวิจัย

3.1	ขั้นตอนการศึกษาวิจัย.....	20
3.1.1	ตัวอย่างที่ใช้ในการทดสอบ.....	20
3.1.2	การศึกษาคุณสมบัติทางวิศวกรรมของภาคของเสียที่ใช้ในการทดสอบ.....	23
3.1.2.1	การทดสอบหาค่าความตึงจำเพาะ .....	23
3.1.2.2	การทดสอบการบดอัด.....	23
3.1.2.3	การทดสอบกำลังรับน้ำหนัก .....	25
3.1.2.4	การทดสอบความสามารถในการซึมฝ่าน.....	29
3.1.2.5	การทดสอบคุณสมบัติที่เกี่ยวกับการเคลื่อนตัว.....	35
3.1.3	การวิเคราะห์ Vertical settlement และ Differential settlement ของหลุมฝังกลบ ภาคของเสียด้วยวิธีการทางไฟฟ้าในทรีเลิมเน็ต (Finite element analysis) .....	36
3.1.3.1	ความรู้เบื้องต้นเกี่ยวกับโปรแกรม PLAXIS .....	37
3.1.3.2	ขั้นตอนการศึกษา .....	39
3.2	แผนผังขั้นตอนการศึกษาวิจัย.....	42

### บทที่ 4

#### ผลการทดสอบและการวิเคราะห์

4.1	ผลการทดสอบหาความหนาแน่นแห้งสูงสุดและความชื้นที่เหมาะสมของภาคของเสีย ด้วยวิธี Standard Proctor Compaction Test .....	43
4.2	ผลการทดสอบกำลังรับน้ำหนักของภาคของเสียบดอัด .....	44
4.2.1	ผลการทดสอบหาค่า cohesion และ angle of friction โดยการทดสอบ Direct shear.....	44

## สารบัญ (ต่อ)

หน้า

4.3 ผลการทดสอบความสามารถในการซึมผ่านของกากของเสียบดอัด .....	49
4.4 ผลการทดสอบสมบัติด้านการเคลื่อนตัวของกากของเสียบดอัด .....	50
4.5 ผลการวิเคราะห์ Vertical settlement และ Differential settlement ของหลุมฝังกลบ กากของเสียบดอัด ด้วยโปรแกรม PLAXIS.....	54

บทที่ 5

สรุปผลการศึกษา.....	76
---------------------	----

รายการอ้างอิง.....	89
--------------------	----

ประวัติผู้เขียนวิทยานิพนธ์.....	83
---------------------------------	----

สถาบันวิทยบริการ  
จุฬาลงกรณ์มหาวิทยาลัย

## สารบัญตาราง

ตาราง

หน้า

ตารางที่ 2.1	การจำแนกดินตามค่าความสามารถในการโหลดขึ้นผ่าน (Terzaghi and Peck, 1967).....	11
ตารางที่ 3.1	สรุปคุณสมบัติเบื้องต้นของภาคของเสียที่ใช้ในการทดสอบ.....	21
ตารางที่ 3.2	แสดง parameter ที่ได้มาจากการทดสอบในห้องปฏิบัติการและที่มา เพื่อนำไป วิเคราะห์ด้วยโปรแกรมทางไฟฟ้าในท่อลีเมนต์.....	40
ตารางที่ 4.1	ผลการทดสอบบดอัดภาคของเสียด้วยวิธี Standard Proctor Compaction Test....	44
ตารางที่ 4.2	สรุปผลการทดสอบกำลังรับน้ำหนักของภาคของเสียทั้ง 3 ชนิด.....	45
ตารางที่ 4.3	สรุปค่า cohesion intercept และ friction angle ของภาคของเสียบดอัดที่ความ หนาแน่นแห้งสูงสุดจากการทดสอบการบดอัด.....	48
ตารางที่ 4.4	สรุป parameter ที่ได้จากการทดสอบ Consolidation Test.....	51
ตารางที่ 4.5	สรุป parameter นำไปวิเคราะห์ด้วยโปรแกรม PLAXIS.....	55
ตารางที่ 4.6	สรุปค่า Maximum vertical settlement และ Maximum differential settlement ในแต่ละวิธีการเรียงภาคของเสีย.....	55

# สารบัญรูป

รูป

หน้า

รูปที่ 2.1 ผลสำรวจสถานที่เก็บขยะมูลฝอยภายในประเทศไทย 114 แหล่ง (Ashford et al., 2000) .....	6
รูปที่ 2.2 สวนประกอบที่สำคัญของหลุมฝังกลบขยะมูลฝอย.....	7
รูปที่ 2.3 ผลการทดสอบกำลังรับแรงเฉือนของ municipal waste (Del Greco and Offeri ,1994) .....	9
รูปที่ 2.4 ผลจากการทดสอบ triaxial test ของการข่องเดียบด้วยชนิดหนึ่ง (Fang and Slutter ,1976) .....	9
รูปที่ 2.5 การทดสอบหาความสามารถในการให้ลึกผ่าน (a) แบบแรงดันคงที่ (b) แบบแรงดันเปลี่ยน .....	13
รูปที่ 2.6 การทดสอบหาความสามารถในการให้ลึกผ่านแบบผนังไม้ยืดหยุ่น (rigid wall,fixed wall) .....	14
รูปที่ 2.7 ความสัมพันธ์ระหว่างเวลา กับ การทรุดตัวของหลุมฝังกลบกากข่องเสียหายได้ น้ำหนักบรรทุก (S.Oweis and P.Khera,1998) .....	17
รูปที่ 3.1 Lime Mud .....	21
รูปที่ 3.2 Power Boiler Ash.....	22
รูปที่ 3.3 Dreg .....	22
รูปที่ 3.4 แบบ (Standard Mold) ที่ใช้ในการทดสอบการบดอัด ,Compaction (ASTM,1996) ....	24
รูปที่ 3.5 ความสัมพันธ์ระหว่าง dry unit weight กับ water content (Lambe,1951) .....	24
รูปที่ 3.6 เครื่องมือที่ใช้ในการเตรียมตัวอย่างเพื่อทดสอบกำลังรับแรงเฉือน .....	25
รูปที่ 3.7 รายละเอียดในการติดตั้งตัวอย่างก่อนเริ่มทดสอบกำลังรับแรงเฉือน .....	26
รูปที่ 3.8 การติดตั้งตัวอย่างก่อนเริ่มการทดสอบกำลังรับแรงเฉือน .....	26
รูปที่ 3.9 รายละเอียดของเครื่องทดสอบกำลังรับแรงเฉือน .....	27
รูปที่ 3.10 ความสัมพันธ์ระหว่าง shear stress กับ shear displacement ของ dense sand และ loose sand (Manual of Soil Lab.V2,1982) .....	28
รูปที่ 3.11 ความสัมพันธ์ระหว่าง shear stress กับ normal stress (Manual of Soil Lab.V2,1982) .....	28
รูปที่ 3.12 แผนภาพของชุดทดลองหาความสามารถในการให้ลึกผ่าน .....	29

## สารบัญรูป (ต่อ)

รูป

หน้า

รูปที่ 3.13 กระบวนการตัวอย่าง .....	30
รูปที่ 3.14 แผ่นให้แรงดันกดทับพร้อมแกนสัมผัส .....	31
รูปที่ 3.15 แผ่นพูน .....	31
รูปที่ 3.16 แผ่นปิดบน .....	32
รูปที่ 3.17 แผ่นปิดล่าง .....	33
รูปที่ 3.18 ระบบแรงดันอากาศ .....	33
รูปที่ 3.19 การติดตั้งตัวอย่างก่อนเริ่มการทดสอบความสามารถในการโหลดซึ่งผ่าน .....	34
รูปที่ 3.20 ตัวอย่างที่นำไปประกอบเข้ากับระบบแรงดันอากาศ .....	35
รูปที่ 3.21 ขนาดของหลุมฝังกลบหากของเสียที่ใช้ในการวิเคราะห์ด้วยโปรแกรม PLAXIS .....	41
รูปที่ 3.22 ขนาดของ mesh ที่ใช้ในการวิเคราะห์ด้วยโปรแกรม PLAXIS .....	41
รูปที่ 3.23 สรุปขั้นตอนการดำเนินงานวิจัย .....	42
รูปที่ 4.1 ความสัมพันธ์ระหว่างความหนาแน่นแห้งและปริมาณความชื้นในการทดสอบอัด ภาคของเสียด้วยวิธี Standard Proctor Compaction Test .....	43
รูปที่ 4.2 ความสัมพันธ์ระหว่าง shear stress และ normal stress ของ Lime Mud ที่ความหนาแน่นแห้งต่าง ๆ ทั้งอัตราการเฉือน 0.5 มม./นาที และอัตราการเฉือน ที่ทำให้เกิดการระบายน้ำ .....	45
รูปที่ 4.3 ความสัมพันธ์ระหว่าง shear stress และ normal stress ของ Dreg ที่ความหนาแน่นแห้งต่าง ๆ ทั้งอัตราการเฉือน 0.5 มม./นาที และอัตราการเฉือน ที่ทำให้เกิดการระบายน้ำ .....	46
รูปที่ 4.4 ความสัมพันธ์ระหว่าง shear stress และ normal stress ของ Power boiler ash ที่ความหนาแน่นต่าง ๆ ทั้งอัตราการเฉือน 0.5 มม./นาที และอัตราการเฉือน ที่ทำให้เกิดการระบายน้ำ .....	46
รูปที่ 4.5 ความสัมพันธ์ระหว่าง dry unit weight กับ friction angle ของภาคของเสีย ทั้ง 3 ชนิด .....	48
รูปที่ 4.6 ความสัมพันธ์ระหว่าง dry unit weight กับ cohesion intercept ของภาคของเสีย ทั้ง 3 ชนิด .....	49

## สารบัญรูป (ต่อ)

รูป

หน้า

รูปที่ 4.10 ความสัมพันธ์ระหว่าง permeability กับ pore volume ของกากของเสียทั้ง 3 ชนิด.....	50
รูปที่ 4.7 ความสัมพันธ์ระหว่าง E' กับ σ' ของ Lime Mud ที่ความหนาแน่นแห้งต่าง ๆ .....	52
รูปที่ 4.8 ความสัมพันธ์ระหว่าง E' กับ σ' ของ Dreg ที่ความหนาแน่นแห้งต่าง ๆ .....	52
รูปที่ 4.9 ความสัมพันธ์ระหว่าง E' กับ σ' ของ Power boiler ash ที่ความหนาแน่นแห้งต่าง ๆ .....	53
รูปที่ 4.11 รูปแบบการจัดวางกากของเสียแบบที่ 1 (ก), Vertical settlement (ข), Differential settlement (ค) ที่ Ground surface ของหลุมฝังกลบ.....	58
รูปที่ 4.12 รูปแบบการจัดวางกากของเสียแบบที่ 2 (ก), Vertical settlement (ข), Differential settlement (ค) ที่ Ground surface ของหลุมฝังกลบ.....	59
รูปที่ 4.13 รูปแบบการจัดวางกากของเสียแบบที่ 3 (ก), Vertical settlement (ข), Differential settlement (ค) ที่ Ground surface ของหลุมฝังกลบ.....	60
รูปที่ 4.14 รูปแบบการจัดวางกากของเสียแบบที่ 4 (ก), Vertical settlement (ข), Differential settlement (ค) ที่ Ground surface ของหลุมฝังกลบ.....	61
รูปที่ 4.15 รูปแบบการจัดวางกากของเสียแบบที่ 5 (ก), Vertical settlement (ข), Differential settlement (ค) ที่ Ground surface ของหลุมฝังกลบ.....	62
รูปที่ 4.16 รูปแบบการจัดวางกากของเสียแบบที่ 6 (ก), Vertical settlement (ข), Differential settlement (ค) ที่ Ground surface ของหลุมฝังกลบ.....	63
รูปที่ 4.17 รูปแบบการจัดวางกากของเสียแบบที่ 7 (ก), Vertical settlement (ข), Differential settlement (ค) ที่ Ground surface ของหลุมฝังกลบ.....	64
รูปที่ 4.18 รูปแบบการจัดวางกากของเสียแบบที่ 8 (ก), Vertical settlement (ข), Differential settlement (ค) ที่ Ground surface ของหลุมฝังกลบ.....	65
รูปที่ 4.19 รูปแบบการจัดวางกากของเสียแบบที่ 9 (ก), Vertical settlement (ข), Differential settlement (ค) ที่ Ground surface ของหลุมฝังกลบ.....	66
รูปที่ 4.20 รูปแบบการจัดวางกากของเสียแบบที่ 10 (ก), Vertical settlement (ข), Differential settlement (ค) ที่ Ground surface ของหลุมฝังกลบ.....	67
รูปที่ 4.21 รูปแบบการจัดวางกากของเสียแบบที่ 11 (ก), Vertical settlement (ข), Differential settlement (ค) ที่ Ground surface ของหลุมฝังกลบ.....	68

## สารบัญรูป (ต่อ)

รูป

หน้า

รูปที่ 4.22	รูปแบบการจัดวางกากของเสียแบบที่ 12 (ก), Vertical settlement (ข), Differential settlement (ค) ที่ Ground surface ของหลุมฝังกลบ.....	69
รูปที่ 4.23	รูปแบบการจัดวางกากของเสียแบบที่ 13 (ก), Vertical settlement (ข), Differential settlement (ค) ที่ Ground surface ของหลุมฝังกลบ.....	70
รูปที่ 4.24	รูปแบบการจัดวางกากของเสียแบบที่ 14 (ก), Vertical settlement (ข), Differential settlement (ค) ที่ Ground surface ของหลุมฝังกลบ.....	71
รูปที่ 4.25	รูปแบบการจัดวางกากของเสียแบบที่ 15 (ก), Vertical settlement (ข), Differential settlement (ค) ที่ Ground surface ของหลุมฝังกลบ.....	72
รูปที่ 4.26	รูปแบบการจัดวางกากของเสียแบบที่ 16 (ก), Vertical settlement (ข) ที่ Ground surface ของหลุมฝังกลบ.....	73
รูปที่ 4.27	รูปแบบการจัดวางกากของเสียแบบที่ 17 (ก), Vertical settlement (ข) ที่ Ground surface ของหลุมฝังกลบ.....	74
รูปที่ 4.28	รูปแบบการจัดวางกากของเสียแบบที่ 18 (ก), Vertical settlement (ข) ที่ Ground surface ของหลุมฝังกลบ.....	75

## บทที่ 1

### บทนำ

#### 1.1 ความเป็นมาและความสำคัญของปัญหา

ในปัจจุบัน เนื่องจากมีจำนวนประชากรเพิ่มขึ้นอย่างรวดเร็ว ทำให้ของเสียที่เกิดจากกิจกรรมของมนุษย์มากขึ้นและเป็นปัญหาที่สำคัญต่อสิ่งแวดล้อม เพราะของเสียเหล่านี้ก่อให้เกิดมลพิษต่อแหล่งน้ำ molพิษทางอากาศ สุขอนามัยที่ไม่สมบูรณ์ของประชาชน รวมทั้งเกิดสภาพความไม่เป็นระเบียบเรียบร้อยของสังคม ภาคของเสียเกิดจากแหล่งกำเนิดใหญ่ ๆ 3 แหล่ง คือ แหล่งชุมชน ที่นี่ที่เกษตรกรรม และโรงงานอุตสาหกรรม โดยเฉพาะอย่างยิ่งภาคของเสียที่เกิดจากโรงงานอุตสาหกรรม ได้แก่ มูลฝอย เศษวัตถุดิน เศษผลิตภัณฑ์ สารเคมี น้ำเสีย เป็นต้น ซึ่งมีแนวโน้มสูงขึ้นทุกวัน

สำหรับการกำจัดภาชนะเสียที่เป็นของแข็ง มีวิธีการกำจัดอยู่ 3 วิธีหลัก ๆ คือ การเผา (Incineration), การนำกลับมาใช้ประโยชน์อีก (Recycle) และ การฝังกลบ (Landfill) การกำจัดของเสียด้วยวิธีการเผาเน้นจะมีผลิตภัณฑ์ที่เหลือจากการกำจัด นั่นคือ เงาถ่าน ซึ่งจำเป็นจะต้องนำไปกำจัดด้วยวิธีการฝังกลบต่อไป ส่วนการนำกลับมาใช้ประโยชน์อีกในทางปฏิบัติแล้วมีของเสียไม่กี่ชนิดที่สามารถนำกลับมาใช้ประโยชน์อีก เนื่องจากมีการปนเปื้อนมากเกินไป การฝังกลบจึงเป็นที่นิยมมาก เพราะทำได้ไม่ยาก การลงทุนค้างแรกและค่าใช้จ่ายในการดำเนินการถูก นอกเหนือนี้ ที่ดินที่ใช้ในการฝังกลบยังสามารถใช้ประโยชน์ได้อีกไป เช่น ก่อสร้างสนามเด็กเล่น สวนสาธารณะ ที่จอดรถ เป็นต้น แต่เนื่องจากการทำหลุมฝังกลบหากของเสียนั้นมีปัญหาด้านการทรุดตัวไม่เท่ากันบริเวณผิวนอกของหลุมฝังกลบ ซึ่งปัญหานี้ทำให้เกิดอันตรายต่อโครงสร้างที่อยู่ด้านบนหลุมฝังกลบได้ โดยเฉพาะความเสียหายที่เกิดขึ้นกับวัสดุป้องกัน (Cap) ซึ่งทำหน้าที่สำคัญหลายอย่าง เช่น ป้องกันไม่ให้น้ำผิวดินซึมผ่านลงไปภายใต้หลุมฝังกลบ ควบคุมแก๊สที่เกิดจากภาคของเสียไม่ให้ระบาดสู่อากาศ ซึ่งเป็นอันตรายต่อสิ่งแวดล้อม นอกจากนี้ยังช่วยเพิ่มทักษะนิยภาพของพื้นที่ดินที่ใช้ทำหลุมฝังกลบภาคของเสียอีกด้วย

ดังนั้นงานวิจัยนี้จึงมุ่งเน้นศึกษาถึงสมบัติทางวิศวกรรมของภาคของเสียบดดด เพื่อนำไปวิเคราะห์ Vertical settlement และ Differential settlement ที่เกิดขึ้น จากการจัดเรียงภาคของเสียแบบต่าง ๆ ภายในหลุมฝังกลบ เพื่อให้ทราบถึงวิธีการจัดเรียงภาคของเสียที่เหมาะสมที่สุดที่

สามารถนำมาใช้จริงในสนา� ซึ่งก่อให้เกิดความเสียหายแก่โครงสร้างต่าง ๆ ที่อยู่ด้านบนหลุมฝังกลบน้อยที่สุด

## 1.2 วัตถุประสงค์ของการวิจัย

เพื่อศึกษาคุณสมบัติทางวิศวกรรมของภาคของเสียบดอัดเพื่อเป็นคุณสมบัติพื้นฐาน ในการวิเคราะห์หลักณะการจัดวางภาคของเสียในหลุมฝังกลบที่เหมาะสม ที่ทำให้เกิดการทุ่ดตัวบริเวณผิวนอกของหลุมฝังกลบภาคของเสียน้อยที่สุด ซึ่งในการศึกษานี้ได้นำภาคของเสียจากอุตสาหกรรมกระดาษมาใช้เป็นตัวแทนการศึกษา

## 1.3 ขอบเขตของการวิจัย

1.3.1 เลือกใช้ภาคของเสียจากโรงงานผลิตกระดาษ บริษัทแอ็ดวานซ์ ออฟกราจำกัด (มหาชน) ซึ่งตั้งอยู่ที่ ตำบลท่าตูม อำเภอ ศรีมหาโพธิ จังหวัด ปราชินบูรี จำนวน 3 ชนิด คือ Lime Mud, Power boiler ash และ Dreg มาใช้เป็นตัวแทนการศึกษา

1.3.2 ศึกษาสมบัติทางวิศวกรรมของภาคของเสียบดอัด 3 ด้านคือ สมบัติทางด้านกำลังการรับน้ำหนัก สมบัติด้านการไหลซึมผ่านของน้ำ และสมบัติด้านการเคลื่อนตัว ซึ่งทั้งหมดเป็นการศึกษาในห้องปฏิบัติการ

1.3.3 การวิเคราะห์ Vertical settlement และ Differential settlement ของหลุมฝังกลบภาคของเสีย ใช้โปรแกรม PLAXIS 7.2 โดยมีสมมุติฐานคือ ระดับน้ำใต้ดินอยู่ต่ำกว่ากันหลุม 6 m. ขั้นเดียวให้หลุมฝังกลบไม่เกิดการเคลื่อนตัว และขั้นตอนการก่อสร้างรวดเร็วมาก ภาคของเสียมีความเป็นเนื้อเดียวกัน (homogenous) เกิดการทุ่ดตัวด้วยน้ำหนักของตัวเอง จนกระทั่ง excess pore pressure เท่ากับศูนย์ โดยในการวิเคราะห์จะใช้ขนาดของหลุมฝังกลบที่เท่ากันตลอด

1.3.4 การศึกษาผลของลักษณะการจัดวางภาคของเสียในหลุมฝังกลบที่มีต่อ Vertical settlement และ Differential settlement นั้น สมมุติให้ภาคของเสียมีคุณสมบัติสอดคล้องกับผลการทดสอบคุณสมบัติทางวิศวกรรมที่ได้จากการทดสอบในห้องปฏิบัติการ และ ถูกบดอัดที่ maximum dry density จากการทดสอบการบดอัดแบบ Standard Proctor Compaction Test

## 1.4 ประโยชน์ที่คาดว่าจะได้รับ

1.4.1 เป็นแนวทางการศึกษาคุณสมบัติทางวิศวกรรมของกากของเสียบดอด เพื่อนำไปใช้ในการกำหนดลักษณะการจัดเรียงกากของเสียในหมู่ผึ่งกลบ เพื่อทำให้ Differential settlement น้อยที่สุด และเป็นผลทำให้เกิดอันตรายต่อโครงสร้างด้านบนหมู่ผึ่งกลบน้อยที่สุด

1.4.2 เพื่อใช้เป็นข้อมูลร่วมกับงานวิจัยอื่นที่ศึกษาในทำนองเดียวกัน

## บทที่ 2

### ทฤษฎีและงานวิจัยที่เกี่ยวข้อง

#### 2.1 บทนำ

การกำจัดขยะมูลฝอยด้วยวิธีฟังกลบเป็นการนำขยะมูลฝอยมาเทกองในพื้นที่ที่จัดเตรียมไว้ แล้วใช้เครื่องจักรกลเกลี่ยและบดอัดให้ญับตัวลง หลังจากนั้นใช้ดินกลบทับและบดอัดให้แน่นอีกครั้งหนึ่งในลักษณะของเซลล์ (cell) และจะทำอย่างนี้เรื่อยไปเป็นชั้น ๆ จนเต็มพื้นที่ เพื่อเป็นการป้องกันปัญหาทางด้านกลิ่น แมลง น้ำฝนชะล้าง และอื่น ๆ อินทรีย์สารที่อยู่ในหลุมฟังกลบจะถูกย่อยสลายตามธรรมชาติด้วยจุลินทรีย์ในสภาพไร้อากาศ (Anaerobic Decomposition) พื้นที่ในการฟังกลบนี้จะต้องมีการสำรวจตรวจสอบแล้วว่าเหมาะสมสมทั้งทางด้านการใช้ที่ดินและความปลอดภัยต่อสภาพแวดล้อม โดยวิธีการฟังกลบสามารถแบ่งออกได้เป็น 2 ประเภท คือ

1. วิธีฟังกลบแบบกลบบนพื้นที่ (Area Method) เป็นวิธีฟังกลบที่เริ่มจากระดับดินเดิม โดยไม่มีการขุดดิน ซึ่งจะทำการบดอัดมูลฝอยตามแนวราบก่อนแล้วค่อยบดอัดทับในชั้นต่อไปสูงขึ้นเรื่อย ๆ จนได้ระดับตามที่กำหนด การฟังกลบหากของเสียโดยวิธีนี้จำเป็นต้องทำคันดิน (Embankment or Berm) ตามแนวขอบพื้นที่จำกัด เพื่อทำหน้าที่เป็นผนังหรือขอบยันขณะมีการบดอัด นอกจากนี้ยังทำหน้าที่ป้องกันน้ำเสียที่เกิดขึ้นขณะบดอัดและฟังกลบไม่ให้ซึมออกมายังนอกเพราะจะทำให้เกิดสภาพไม่น่าดู และเกิดผลกระทบภาวะน้ำเสียได้ ลักษณะภูมิประเทศของพื้นที่ที่จำเป็นต้องใช้วิธีนี้คือ ที่ราบลุ่มหรือพื้นที่ที่มีระดับน้ำต่ำกว่าดินสูงหรือน้ำใต้ดินอยู่ต่ำกว่าผิวดินเล็กน้อย (ไม่เกิน 1 เมตร) การกำจัดด้วยวิธีนี้จำเป็นต้องจัดหาดินมากจากที่อื่นเพื่อมาทำคันดิน ทำให้เสียค่าใช้จ่ายในการดำเนินการสูง

2. วิธีฟังกลบแบบขุดร่อง (Trench Method) เป็นวิธีฟังกลบที่เริ่มจากระดับที่ต่ำกว่าระดับดินเดิม โดยทำการขุดดินลึกลงไปให้ได้ระดับตามที่กำหนด แล้วจึงเริ่มบดอัดกากของเสียให้เป็นชั้นบาง ๆ ทับกันหนาขึ้นเรื่อย ๆ จนได้ระดับตามที่กำหนด โดยทั่วไปความลึกของการขุดร่องจะถูกกำหนดด้วยระดับน้ำใต้ดิน อย่างน้อยระดับกันร่องควรจะอยู่สูงกว่าระดับน้ำใต้ดินไม่น้อยกว่า 1 เมตร โดยยึดระดับน้ำในฤดูฝนเป็นเกณฑ์ เพื่อป้องกันไม่ให้เกิดการปนเปื้อนต่อน้ำใต้ดิน การฟังกลบแบบขุดร่องไม่จำเป็นต้องทำคันดิน เพราะสามารถใช้ผนังของร่องขุดเป็นกำแพงยันมูลฝอยที่จะบดอัดได้โดยตรง ทำให้ไม่จำเป็นต้องขุดดินมากข้างนอก และยังสามารถใช้ดินที่ขุดออกแล้วน้ำกลับมาใช้กลบกากของเสียได้อีก

โดยทั่วไป หลุมฝังกลบจะต้องมีส่วนประกอบที่สำคัญ ๆ โดยเรียงลำดับจากขั้นล่างสุด ดังรูปที่ 2.1 คือ

1. ชั้นวัสดุกันซึม (Liner) เป็นชั้นที่อยู่ด้านล่างสุดทำหน้าที่ป้องกันการแพร่กระจายของสารปนเปื้อนที่มีลักษณะเป็นของเหลวออกสูน้ำได้ดินและสภาพแวดล้อมภายนอกขอบเขตของหลุมฝังกลบจะโดยอาจจะประดูกองด้วยชั้นดินเหนียวบดอัดที่มีความหนาอย่างน้อย 60 ซม.เพียงอย่างเดียว (Clayey Liner) หรือชั้นดินเหนียวบดอัดร่วมกับแผ่นวัสดุสังเคราะห์ประเภท HDPE หนา 1.5 มม.ชั้นไป (Composite Liner) ซึ่งตามมาตรฐานทั่วไป ชั้นดินเหนียวบดอัดนี้จะต้องมีค่าความสามารถในการให้ลึกลงผ่านน้อยกว่า  $1.0 \times 10^{-7}$  ซม./วินาทีและมีความໄວต่อการเปลี่ยนแปลงตามสภาพแวดล้อมต่ำเนื่องจากจะต้องสัมผัสน้ำจะมุ่งผลอยอยู่ตลอดเวลา

2. ชั้นระบบรวบรวมและสูบน้ำจะมุ่งผลอย (Leachate Collection System) โดยมีหน้าที่รวบรวมน้ำจะมุ่งผลอยเพื่อสูบออกจากหลุมฝังกลบจะก่อนที่จะไหลเข้าผ่านชั้นวัสดุกันซึมออกสู่ภายนอก ชั้นนี้จะประดูกองด้วย ห่อ PVC หรือ HDPE ขนาดเส้นผ่านศูนย์กลางไม่น้อยกว่า 4 นิ้ว เจาะรู หุ้มด้วยแผ่นกรองไส้สังเคราะห์ และผังอยู่ในชั้นกรดทรายที่มีค่าความสามารถในการให้ลึกลงผ่านสูงกว่า  $1.0 \times 10^{-3}$  ซม./วินาที หนาอย่างน้อย 30 ซม. ซึ่งระยะห่างและความลาดเอียงของห่อจะถูกกำหนดโดยแรงดันน้ำจะมุ่งผลอยเหนือชั้นวัสดุกันซึม (Hydraulic Head) ค่าที่ยอมให้ในการออกแบบจะต้องไม่เกิน 30 ซม. นอกจากนี้การออกแบบยังจะต้องคำนึงถึงการอุดตันและวิธีการทำความสะอาดห่ออีกด้วย

3. ชั้นขยะมุ่งผลอย (Waste) ประกอบไปด้วยขยะมุ่งผลอยบดอัดในลักษณะของเซลล์ที่ได้กล่าวไว้ข้างต้น ซึ่งขยะมุ่งผลอยนี้ สามารถแบ่งตามการออกแบบหลุมฝังกลบได้เป็น 2 ประเภทคือ ประเภทที่ 1 ขยะมุ่งผลอยทั่วไป และประเภทที่ 2 ขยะมุ่งผลอยที่ย่อยสลายยากหรือไม่เกิดการเน่าเสียง่าย เช่น พลาสติก ยาง ห่อนไม้ แก้ว เศษวัสดุก่อสร้าง เป็นต้น ขยะทั้งสองประเภทนี้จะมีผลต่อการออกแบบชั้นปิดทับสุดท้าย (Final Cover) ที่จะกล่าวถึงในข้อต่อไป

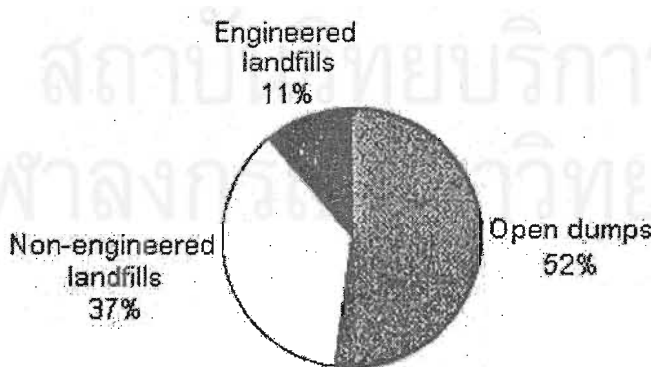
4. ชั้นปิดทับสุดท้าย (Final Cover) เป็นชั้นบนสุดซึ่งจะทำหน้าที่ป้องกันการซึมผ่านของน้ำจากภายนอกเข้าสู่หลุมฝังกลบจะไม่ว่าจะเป็นน้ำฝน หรือน้ำจากแหล่งอื่น โดยในการออกแบบจะต้องคำนึงถึงประเภทของขยะมุ่งผลอยที่จะฝังกลบและสภาพน้ำท่วมที่อาจจะเกิดขึ้นได้ดังนั้นนี้จะมีส่วนประกอบของวัสดุกันซึมและชั้นดินปกคลุมเพื่อป้องกันพืชพรรณดินกันการพังทลายของดิน ซึ่งในกรณีที่มีการฝังกลบจะเป็นประเภทที่ 1 จะต้องมีการออกแบบป้องกันการซึมที่มีคุณภาพสูงกว่าในกรณีฝังกลบจะเป็นประเภทที่ 2

ในประเทศไทย หลุมฝังกลบขยะมูลฝอยยังถือว่าอยู่ในยุคเริ่มแรกล้าก ฐานการสำรวจสถานที่เก็บขยะมูลฝอยจำนวน 114 แห่งล (78% ของทั้งหมด) ในปี พ.ศ.2543 โดย Scott A. Ashford และคณะพบว่า สามารถแบ่งลักษณะของสถานที่เก็บขยะมูลฝอยออกเป็น 3 ประเภทคือ

1. ประเภทเปิดโล่ง (Open Dumps) เป็นการเก็บขยะมูลฝอยที่ไม่ได้คำนึงถึง สภาพแวดล้อมใด ๆ ซึ่งอาจจะมีการเลือกสถานที่ที่มีเนื้อที่กว้างพอและไกลจากแหล่งชุมชนมากพอ หรือไม่ก็ได้ ลักษณะทั่วไปคือ ไม่มีการปรับพื้นที่ ไม่มีการปิดคลุมด้วยดิน สถานที่เก็บขยะมูลฝอย ประเภทนี้มีอยู่เป็นจำนวนมากและจากผลสำรวจมีอยู่ถึง 52% ของ 114 แห่ง ดังรูปที่ 2.1

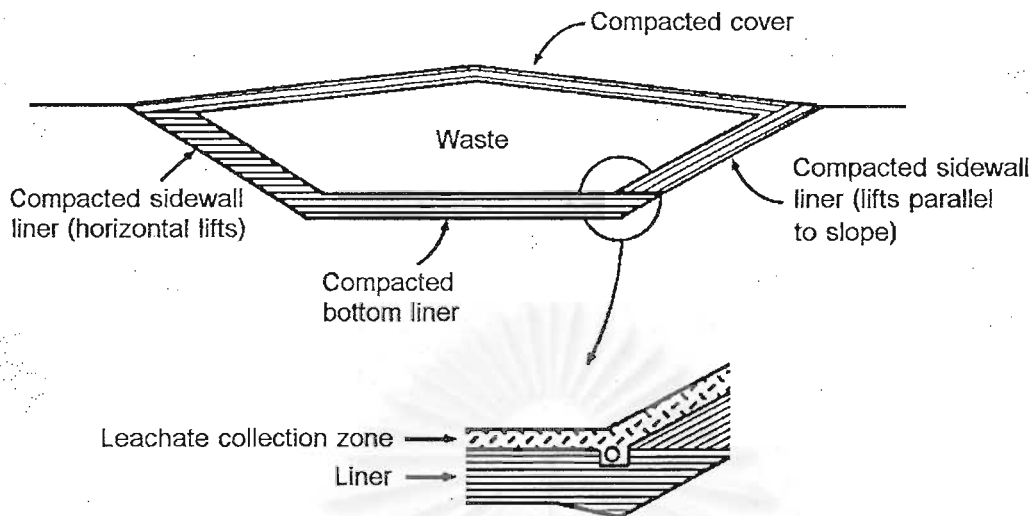
2. ประเภทไม่มีการออกแบบทางวิศวกรรม (Non-Engineered Landfills) เป็นการ เก็บขยะมูลฝอยที่อิงกับกฎเกณฑ์การดำเนินการคือ มีการปักคลุมขยะรายวัน (Daily Cover) เพื่อเป็น การกำจัดปัญหาเรื่องกลิ่นและสัตว์อันตราย และมีการปักคลุมชั้นสุดท้ายเมื่อขยะเต็มพื้นที่ แต่ในบาง แห่งก็ไม่มีงบประมาณในการปรับปรุงการดำเนินการใด ๆ เลย จากผลสำรวจพบว่าสถานที่เก็บขยะ แบบนี้มีอยู่ถึง 37% ของ 114 แห่ง

3. ประเภทมีการออกแบบทางวิศวกรรม (Engineered Landfills) เป็นการเก็บขยะ มูลฝอยที่มีส่วนประกอบที่สำคัญ ๆ ของหลุมกลบขยะดังกล่าวไว้แล้วอย่างครบถ้วน จากผลสำรวจ พบร่วมกับสถานที่เก็บขยะแบบนี้มีอยู่เพียง 11% ของ 114 แห่ง หรือเป็นจำนวน 12 แห่ง โดยที่ 10 แห่งใน จำนวนนี้ถูกสร้างภายใน 4 ปีที่ผ่านมา ดังรูปที่ 2.2



รูปที่ 2.1 แสดงผลสำรวจสถานที่เก็บขยะมูลฝอยภายในประเทศไทย 114 แห่ง

(Ashford et al., 2000)



รูปที่ 2.2 แสดงส่วนประกอบที่สำคัญของหลุมฝังกลบขยะมูลฝอย

## 2.2 สมบัติทางด้านกำลังรับน้ำหนักของกากของเสีย

กำลังรับน้ำหนัก เป็นค่าที่สำคัญสำหรับการประเมินเสถียรภาพของโครงสร้าง ซึ่งได้มาจาก การทดสอบในห้องปฏิบัติการ หรือการทดสอบในสนาม หรือจากการคำนวณกลับเมื่อสังเกตเห็นรอยแตกของโครงสร้าง

### 2.2.1. ความสัมพันธ์ระหว่างความเด่นและความเครียด

ความสัมพันธ์ระหว่างความเด่น (stress) และความเครียด (strain) มีความสัมพันธ์แบบ non-linear และขึ้นกับเวลา การเปลี่ยนแปลงปริมาตร (volume) หรือความดันน้ำในกากของเสีย (pore water pressure) ซึ่งเกิดจาก การเพิ่มขึ้นของ normal stress และ shear stress ที่มากระทำกับกากของเสีย (Oweis and Kera, 1998)

### 2.2.2. ทฤษฎีการวินิจฉัย

กฎการวินิจฉัยของ Mohr Coulomb อธิบายกำลังรับแรงเฉือนที่จุดวินิจฉัย (shear stress at failure,  $\tau_f$ ) ได้โดยเขียนเป็นสมการอยู่ในรูปของ cohesion intercept,  $c$  และ friction angle,  $\phi$  ดังสมการที่ 2.1

$$\tau_f = c + \sigma_f \tan \phi \quad \dots\dots(2.1)$$

โดย  $\tau_f$  = shear stress at failure

$\sigma_f$  = normal stress at failure

c = cohesion intercept

$\phi$  = friction angle

หรือสมการในรูป effective stress ได้ดัง สมการที่ 2.2

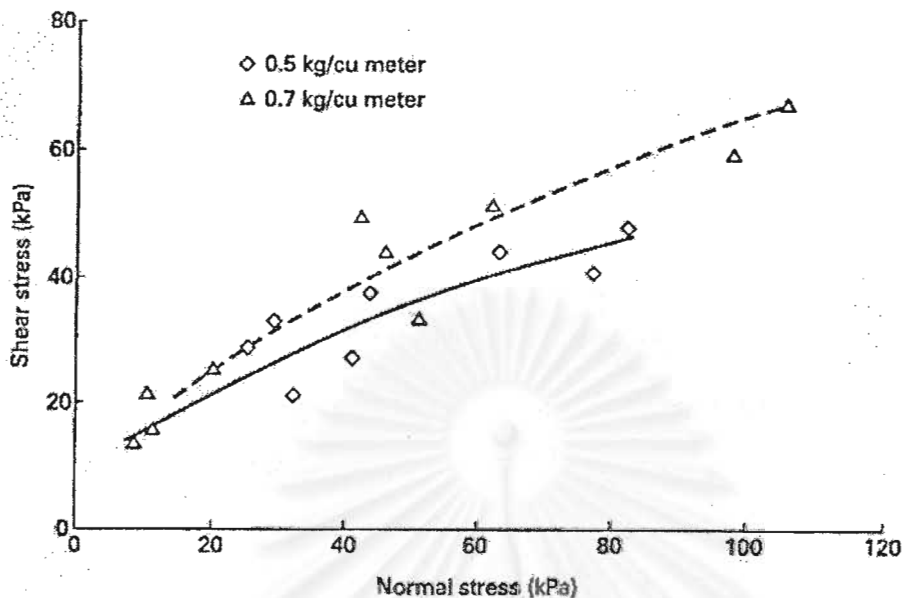
$$\tau_f = c' + \sigma'_f \tan \phi' \quad \dots\dots(2.2)$$

สำหรับสมการที่ 2.1 เป็นการหากำลังรับแรงเฉือนแบบไม่ระบายน้ำ (undrained shear strength) ซึ่งหมายถึง กำลังรับหน่วยแรงเฉือนของภาคของเสียที่อิ่มตัวในลักษณะที่ถูกหน่วยแรงมากจะทำงานเกิดการวิบัติในขณะที่ปริมาณความชื้นของภาคของเสียไม่เปลี่ยนแปลง ทำให้ความดันน้ำในโพรง (void) ของภาคของเสียเปลี่ยนแปลง

สำหรับสมการที่ 2.2 เป็นการหากำลังรับแรงเฉือน แบบระบายน้ำ (drained shear strength). ซึ่งหมายถึง กำลังรับหน่วยแรงเฉือนของภาคของเสียในลักษณะที่ถูกหน่วยแรงมากจะทำงานทั้งเกิดการวิบัติ ปริมาณความชื้นและปริมาตรของภาคของเสียจะเปลี่ยนแปลง แต่ความดันน้ำในโพรงจะมีค่าคงที่ (สุรัจตร, 2540)

### 2.2.3. การศึกษาที่ผ่านมาในอดีต

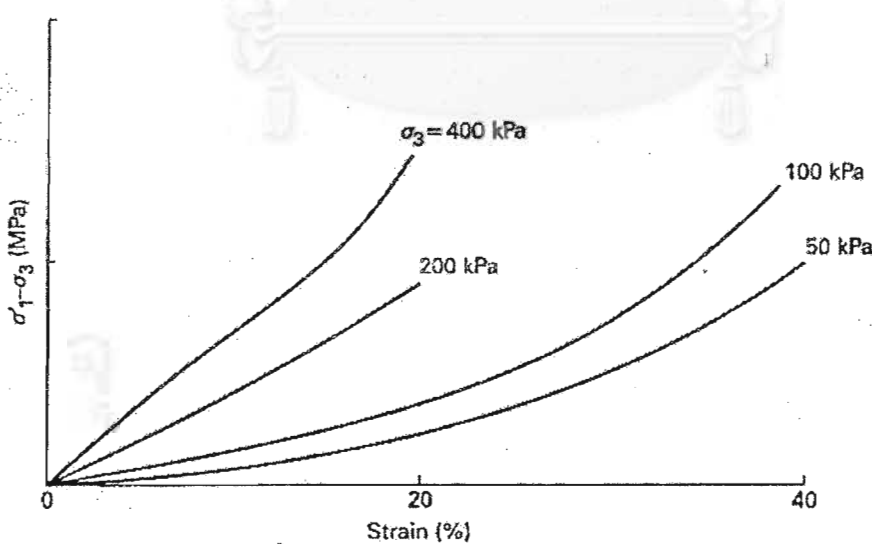
Del Greco and Oggeri (1994) ทำการทดสอบกำลังรับแรงเฉือนของ municipal waste พบว่า friction angle,  $\phi$  และ cohesion intercept, c จะเพิ่มขึ้นเมื่อความหนาแน่นของภาคของเสียเพิ่มขึ้น นอกจากนี้ยังพบว่า ที่ normal stress ต่ำกว่า จะให้ค่า friction angle สูงกว่าที่ normal stress สูงกว่า ดังรูปที่ 2.3 ซึ่งสอดคล้องกับผลการทดสอบของ Kavazanjian et.al (1995) คือ ได้ค่า  $c = 24 \text{ kPa}$ ,  $\phi = 0$  ที่ normal stress ต่ำกว่า  $30 \text{ kPa}$ . และ  $c=0$ ,  $\phi = 33$  ที่ normal stress สูง ๆ ขึ้นไป และจากการวัดค่าในสนาม โดยใช้ Standard Penetration Test (N) และ Cone Penetration Test (CPT) พบว่าไม่มีความสัมพันธ์ระหว่าง Penetration resistance และ shear strength ที่เกิดขึ้น



รูปที่ 2.3 ผลการทดสอบกำลังรับแรงเฉือนของ municipal waste

(Del Greco and Oggeri ,1994)

Fang and Slutter (1976) ได้ทำการทดสอบ Unconfined compression test โดยใช้กากของเสียบดอัดชนิดหนึ่ง พบว่า ไม่มีการวินติเกิดขึ้นแม้ที่ strain จะสูงถึงตาม ล้วนรูปที่ 2.4 เป็นผลจากการทดสอบ triaxial พบว่า ยังคงไม่เกิดการวินติแม้ที่ 20-40% strain ก็ตาม



รูปที่ 2.4 ผลจากการทดสอบ triaxial test ของกากของเสียบดอัดชนิดหนึ่ง

(Fang and Slutter ,1976)

Cooper and Clark Engineers (1982) ทำการทดสอบ triaxial เก็บตัวอย่างในสนามโดยใช้ Shelby tube จากของเสียที่เกิด strain hardening พบว่า ที่ strain สูงกว่า 20% แล้วเพิ่ม load ขึ้นไปอีกยังคงไม่เพิ่งที่จะชี้ให้เห็นว่าจะเกิดการวิบัติ แต่ก็ได้กำหนดค่า cohesion ไว้ที่ 35 kPa.

Siegel et.al (1990) ทำการทดสอบ direct shear test โดยใช้ตัวอย่างภาคของเสียขนาดสี่เหลี่ยมคูณกาง 130 มม. นำมาจากความลึก 4.6-25 ม. พบว่าแต่ละตัวอย่างมีส่วนประกอบที่แตกต่างกันมากซึ่งส่งผลต่อ shear strength ที่สูงสุด peak strength ที่เกิดขึ้น อยู่ในช่วง 16-39 % strain แต่ได้เลือกใช้เพียง 10% strain เท่านั้น ถ้าหากของเสียนั้นไม่มี cohesion , friction angle จะมีมากถึง 81° แต่ถ้ามีการนำวัสดุขึ้นไปอยู่ออกไป friction angle จะคงเหลือ 39° เท่านั้น

Singh and Murphy (1990) ได้รวมข้อมูลที่ได้จากการทดสอบภาคของเสียจากแหล่งต่างๆ พบว่า friction angle มีค่าอยู่ระหว่าง 0° – 42°

Landva and Clark (1990) ได้ทำการทดสอบ direct shear มีพื้นที่หน้าตัดขนาด  $0.434 \times 0.287 \text{ m}^2$  ตามแนวนอน โดยใช้ภาคของเสียชนิดต่างๆ และมีอัตราการเฉือน 1.5 มม./นาที พบว่า ภาคของเสียจากบ่อฝังกลบเท่าในสภาพธรรมชาติและแห้ง มีลักษณะเป็นเม็ดและสันไถรูมชาติ ค่า cohesion อยู่ระหว่าง 19-23 kPa. และ friction angle อยู่ระหว่าง 36° – 43° ภาคของเสียสุดที่เป็นชิ้นและแผ่นพลาสติกได้ค่า cohesion เท่ากับ 23 kPa., Friction angle เท่ากับ 24° ภาคของเสียประเภทไม้ cohesion เท่ากับ 0, friction angle เท่ากับ 36° ส่วนภาคของเสียประเภทถุงพลาสติก cohesion เท่ากับ 0, friction angle เท่ากับ 9° ส่วนการเปลี่ยนแปลง shear strength เมื่อเวลาผ่านไป ยังมีการกล่าวถึงไม้ชั้ดเจนนัก แต่เมื่อมีการย่อยสลายเกิดขึ้น จุด weak ก็เกิดและขยายตัวออกไปกว้างขึ้นส่งผลทำให้ shear strength โดยรวมลดลง

## 2.3 สมบัติในการโหลดของภาคของเสีย

### 2.3.1 ทฤษฎีการโหลดของน้ำกับการทดสอบสมบัติการโหลดของภาคในห้องปฏิบัติการ

การเคลื่อนตัวของน้ำผ่านดินในเชิงมหภาคเป็นที่ยอมรับกันว่าสามารถอธิบายได้ด้วยสมการของ Darcy (Darcy's law) ดังสมการที่ 2.3

$$Q = kiA \quad \dots\dots(2.3)$$

เมื่อ	$Q$	= อัตราการไหล
	$k$	= ความสามารถในการไหลซึมผ่าน (Hydraulic conductivity)
	$i$	= ความชันทางชลศาสตร์ (Hydraulic gradient)
	=	$\frac{\Delta H}{L}$
	$\Delta H$	= ความแตกต่างของระดับน้ำที่เทียบเป็นความสูง
	$L$	= ระยะทางการไหลในเชิงมหภาค
	$A$	= หน้าตัดการไหล

Darcy's law ถูกจำกัดไว้กับการไหลแบบควบคุม (laminar flow) หรือเป็นการไหลที่ค่อนข้างช้า ดังนั้นการนำไปใช้จึงถูกจำกัดไว้กับดินที่มีขนาดอนุภาคเล็กซึ่งมีอัตราการไหลซึมผ่านที่ต่ำ

ดินแต่ละชนิดจะมีคุณสมบัติในการไหลซึมผ่านที่แตกต่างกัน ซึ่งค่านี้จะบ่งบอกได้ว่าความสามารถในการยอมให้น้ำหรือของเหลวไหลผ่านและบอกได้ว่าอัตราการระบายน้ำออกจากระดินน์ในขณะที่ถูกหน่วยแรงภายนอกมากระทำ Terzaghi และ Peck (1967) ได้จำแนกดินโดยใช้ค่าความสามารถในการไหลซึมผ่านดังตารางที่ 2.1

ตารางที่ 2.1 การจำแนกดินตามค่าความสามารถในการไหลซึมผ่าน (Terzaghi and Peck, 1967)

Degree of Permeability	Value of $k$ (cm/sec)
High	Over $10^{-1}$
Medium	$10^{-1}$ - $10^{-3}$
Low	$10^{-3}$ - $10^{-5}$
Very low	$10^{-5}$ - $10^{-7}$
Practically impermeable	Less than $10^{-7}$

การทดลองหาค่าความสามารถในการไหลซึมผ่านจึงเป็นสิ่งที่จำเป็นอย่างยิ่ง และสามารถทำได้ทั้งในภาคสนามและในห้องปฏิบัติการ แต่เนื่องจากในภาคสนามมีความยุ่งยากจากสภาพภูมิประเทศและค่าใช้จ่ายในการทดลองที่สูงจึงเป็นเหตุให้การทดลองในห้องปฏิบัติการเป็นที่

นิยมมากกว่า อย่างไรก็ตามการทดลองในห้องปฏิบัติการจะต้องคำนึงถึงปัจจัยอีกหลายอย่างที่เป็นผลให้ค่าความสามารถในการไหลซึ่งผ่านที่ได้มีค่าใกล้เคียงความจริงอีกด้วย

การทดลองในห้องปฏิบัติการได้นำเอา Darcy's law มาประยุกต์ใช้ และสามารถแบ่งประเภทของการทดลองได้ตามสภาพของแรงดันน้ำ ที่เหนี่ยวนำให้เกิดความชันทางชลศาสตร์ดังนี้

1. แบบแรงดันคงที่ (constant head) เป็นการทดลองที่ควบคุมแรงดันน้ำที่เหนี่ยวนำให้เกิดการไหลคงที่ (ความชันทางชลศาสตร์คงที่) ดังรูปที่ 2.5 (a) ซึ่งหมายความว่า ความชันทางชลศาสตร์คงที่ มีความสามารถในการไหลซึ่งผ่านสูง ข้อมูลที่ได้จากการทดลองคือปริมาตรของน้ำที่ไหลออกจากการทดลองต่อหน่วยเวลา  $t$  และ  $A$  ในสมการของ Darcy สมการที่ใช้ในการคำนวณคือ

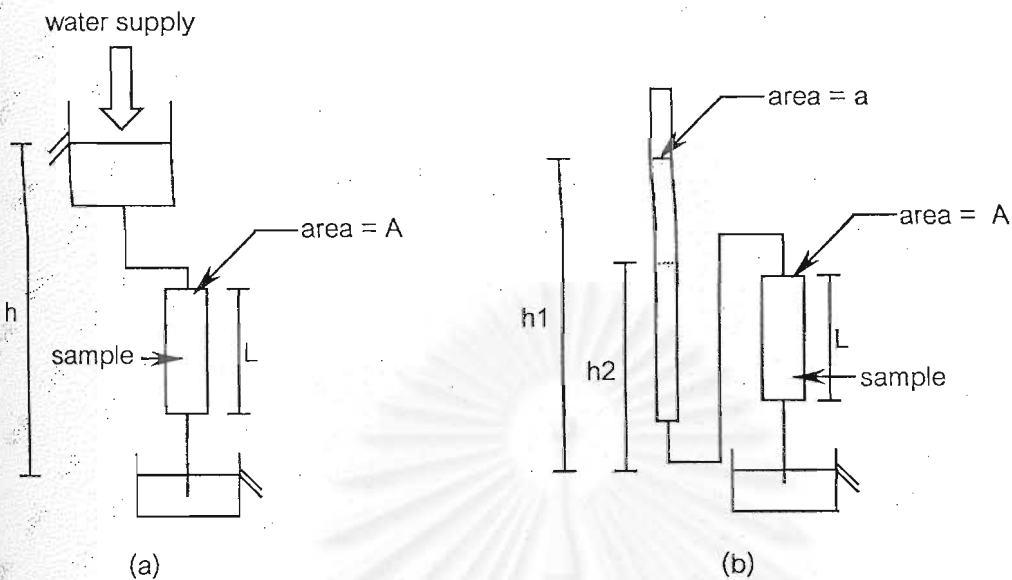
$$k = \frac{QL}{thA} \quad \dots\dots(2.4)$$

เมื่อ  $Q$  = ปริมาตรของน้ำที่ไหลออกจากการทดลองต่อหน่วยเวลา  $t$   
 $h$  = ความต่างของระดับด้านต้นน้ำกับด้านปลายน้ำ

2. แบบแรงดันเปลี่ยน (variable head, falling head) เป็นการทดลองที่มีการลดลงของแรงดันน้ำที่เหนี่ยวนำให้เกิดการไหล (ความชันชลศาสตร์ไม่คงที่) ดังรูปที่ 2.5 (b) ซึ่งหมายความว่า การทดลองในเดือนหนึ่งหรือเดือนที่ความสามารถในการไหลซึ่งผ่านต่ำ ข้อมูลที่ได้จากการทดลองคือ ค่าระดับน้ำทางด้านต้นน้ำขณะที่เริ่มทดลองและที่เวลาที่กำหนด ( $h_1, h_2$ ) ในเวลาที่สองคล้องกัน ( $t$ ) สมการที่ใช้ในการคำนวณคือ

$$k = 2.3 \frac{aL}{At} \log\left(\frac{h_1}{h_2}\right) \quad \dots\dots(2.5)$$

เมื่อ  $a$  = พื้นที่หน้าตัดของหลอดวัดน้ำเข้าตัวอย่าง  
 $h_1$  = ระดับน้ำทางด้านน้ำ ณ จุดเริ่มการทดลอง  
 $h_2$  = ระดับน้ำทางด้านน้ำ ณ จุดสิ้นสุดการทดลอง

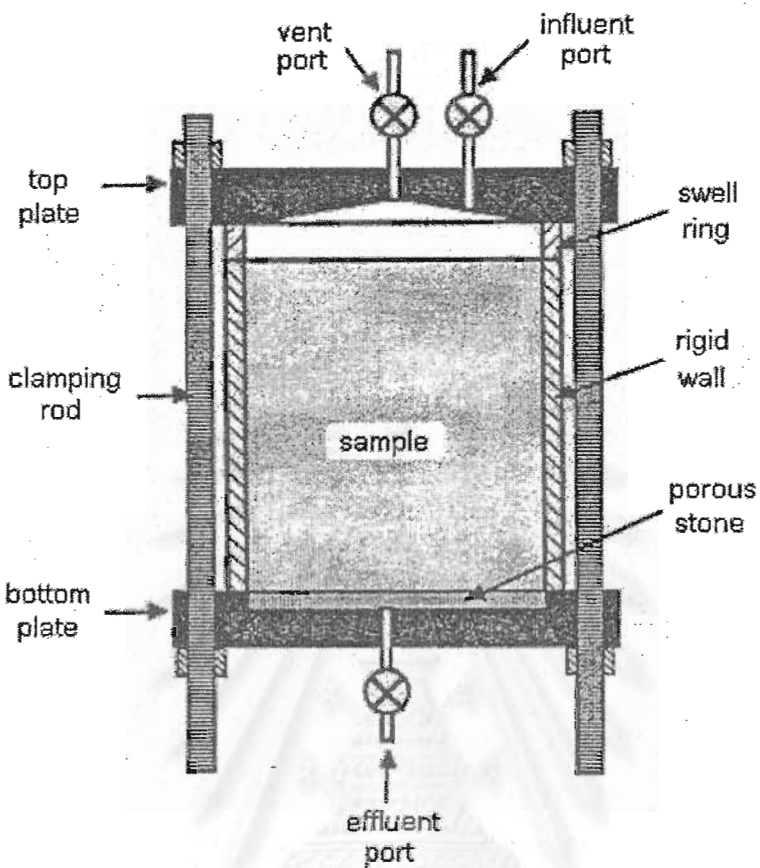


รูปที่ 2.5 การทดลองหาความสามารถในการให้หลีมผ่านแบบแรงดันคงที่ (a) และแบบแรงดันเปลี่ยน (b)

ยิ่งไปกว่านั้น การทดลองหาความสามารถในการให้หลีมผ่านของตัวอย่างบดอัดยังสามารถจำแนกการทดลองออกໄປได้อีกด้วยลักษณะของผังผืดตัวอย่างดังนี้

1. แบบผังไม่มีดีดหยุ่น (fixed wall, rigid wall) เป็นการทดลองในระบบอัดอัด (compacting mold) ดังรูปที่ 2.6 และสามารถประยุกต์ใช้ได้กับทั้งแบบแรงดันคงที่และแบบแรงดันเปลี่ยน สิ่งที่สำคัญในการทดลองคือการป้องกันการไหลข้างที่เกิดขึ้นระหว่างตัวอย่างกับผังที่ไม่มีความยืดหยุ่น โดยที่การให้แรงดันกดทับกับตัวอย่างเป็นหนทางหนึ่งของการลดปั๊บหน้า ดังนั้นการทดลองวิธีนี้ ที่แรงดันกดทับเท่ากันจะเป็นผลลัพธ์ที่เหมาะสม เป็นที่ยอมรับกันว่าให้ผลการทดลองใกล้เคียงกับความจริง และนำไปใช้ได้กว่าวิธีผังยืดหยุ่น

2. แบบผังยืดหยุ่น (flexible wall) เป็นการทดลองใน triaxial cell โดยจะมีการห่อหุ้มตัวอย่างไว้ด้วยถุงยาง (membrane) ซึ่งจะมีข้อดีที่ว่าสามารถทำให้ตัวอย่างอยู่ในสภาพอิ่มตัวด้วยน้ำเพิ่มขึ้นได้ด้วยการให้แรงดันด้านท้ายน้ำเพื่อลดลายอากาศที่มีอยู่ในตัวอย่าง โดยปกติแล้วตัวอย่างที่สภาพอิ่มตัวด้วยน้ำอย่างเต็มที่จะให้ค่าที่มากที่สุดที่เป็นไปได้ ของความสามารถในการให้หลีมผ่าน



รูปที่ 2.6 การทดสอบหาความสามารถในการไหลขึ้นผ่านแบบผังไม่มีดินหยุ่น  
(rigid wall, fixed wall)

### 2.3.2 การศึกษาที่ผ่านมาในอดีต

Holubec (1976) ทดสอบหาค่า  $k$  ของ coarse coal waste ซึ่งมีช่วงค่าอนั้งกร้างขึ้นอยู่กับขนาดการกระจายตัวของอนุภาค และ unit weight ในส่วน ส่วนค่าที่ได้จากการทดสอบในห้องปฏิบัติการ อยู่ในช่วง  $10^{-3} - 10^{-6}$  cm./sec. ส่วน fine coal waste มีค่าอยู่ในช่วง  $10^{-3} - 10^{-7}$  cm./sec. ถ้าเป็นภารกุของเลี้ยงพวง fresh uncompacted waste ค่า  $k$  จะสูงถึง  $10^{-1}$  cm./sec. แต่ถ้ามีการบดอัดอย่างดี ค่า  $k$  จะต่ำมากถึง  $10^{-8}$  cm./sec.

McLaren and Digioia (1987) ทดสอบหาค่า  $k$  ของ fly ash ได้ค่าอยู่ระหว่าง  $10^{-4} - 10^{-7}$  cm./sec. และได้เสนอค่ากลางของ class F fly ash (ASTM C 618) เท่ากับ  $1.32 \times 10^{-5}$

cm./sec. และ class C fly ash (ASTM C 168) เท่ากับ  $1.13 \times 10^{-5}$  cm./sec. นอกจากนี้ยังพบว่า ค่า k จะมีค่ามากขึ้นเมื่อมีการเพิ่มขึ้นของเวลาและความหนาแน่น

Andersland and Mathew (1973) ค่า k ของกากของเสียจำพวก pulp and paper mill sludges อยู่ระหว่าง  $10^7 - 10^8$  cm./sec. แต่ถ้ามีการเพิ่ม fly ash ประมาณ 10% จะทำให้ค่า k ของ sludges นี้ เพิ่มขึ้นอีก 10-100 เท่าเมื่อมี effective stress ต่ำ ๆ แต่ถ้ามีการเพิ่ม effective stress ค่า k ก็จะลดลงอย่างมาก

#### 2.4 สมบัติทางด้านการเคลื่อนตัวของกากของเสีย

ทฤษฎีการทรุดตัวของดินสามารถใช้ได้กับกากของเสียด้วยเช่นกัน โดยอธิบายด้วยสมการที่ 2.6

$$\delta_t = \delta_i + \delta_c + \delta_s \quad \dots\dots(2.6)$$

เมื่อ

$\delta_t$  = total settlement

$\delta_c$  = primary consolidation settlement

$\delta_s$  = secondary consolidation settlement

หลุมฝังกลบกากของเสียเกิดการทรุดตัวเนื่องจากน้ำหนักของตัวเอง initial settlement มีอยามากเมื่อเทียบกับ total settlement สำหรับกากของเสียที่ไม่มีมืดตัวด้วยน้ำ initial settlement จะมากขึ้น เนื่องจากการอัดตัวของซ่องว่างของอากาศ สำหรับ primary consolidation settlement สามารถคำนวณจาก ทฤษฎี consolidation สรุป secondary consolidation settlement นั้นเกิดจาก Ceep และสาเหตุอื่น ๆ และเป็นการยกที่จะคำนวณ

สำหรับค่า undrained modulus,  $E_u$  ของดินเหนียวอ่อนที่มีน้ำหนักกดทับ มีค่าประมาณ 100  $S_u$  ถึง 200  $S_u$  ซึ่ง  $S_u$  คือ undrained shear strength และถ้าน้ำหนักกดทับน้อยกว่า  $\frac{1}{3}$  ของ failure stress  $E_u$  มีค่าตั้งแต่ 500  $S_u$  ถึง 1000  $S_u$  สำหรับ municipal waste ไม่สามารถเลือกค่า  $E_u$  ได้ เนื่องจากว่าการทดสอบในสนามโดยการหาค่า N และ  $q_u$  มีค่าไม่แน่นอน (Oweis and Khera, 1998)

สำหรับค่า drained modulus,  $E$  เป็นการยากที่จะคำนวณได้แต่ก็ยังหาได้จากการทดสอบ triaxial test หรือ direct shear test ในสภาพ drained condition ซึ่งทำให้รู้ค่าแรงดันน้ำทำให้สามารถหาค่า  $E$  ได้

#### 2.4.1 สาเหตุของการทรุดตัวของหลุมฝังกลบกากของเสีย

การทรุดตัวของหลุมฝังกลบกากของเสีย (Oweis and Khera, 1998) มีสาเหตุสำคัญดังนี้ คือ

1. การลดช่องว่าง และการอัดตัวของวัสดุอย่างหลวม ๆ เนื่องจากน้ำหนักของตัวเองและน้ำหนักของวัสดุปูคลุม
2. การเคลื่อนตัวที่เกิดจากอนุภาคเล็ก ๆ เคลื่อนที่เข้าไปในช่องว่างเป็นผลทำให้เกิดการยุบตัวลงของส่วนที่ใหญ่กว่า ซึ่งเกิดขึ้นเนื่องจาก การซึมของน้ำ การลดลงของระดับน้ำได้ดิน และเกิดการสั่นสะเทือน การเคลื่อนตัวลักษณะนี้จะทำให้ผิวของ surface ลดต่ำลง
3. การเปลี่ยนแปลง volume จากการย่อyle ของทางชีวภาพ และปฏิกิริยาเคมี การทรุดตัวในลักษณะนี้จะเกิดมากขึ้นเมื่อมีสภาพ moisture content และอุณหภูมิสูง ในการที่มีการบดอัดที่ไม่ดี และมี organic content สูง
4. การละลายจากการเหลายน้ำและ leachate
5. การทรุดตัวของชั้นดินอ่อนได้หลุมฝังกลบ

#### 2.4.2 การทรุดตัวของหลุมฝังกลบเนื่องจากน้ำหนักของตัวเอง

การทรุดตัวของหลุมฝังกลบเนื่องจากน้ำหนักของตัวเอง (Oweis and Khera, 1998) จะเกิดขึ้นในระหว่างก่อสร้างหลุมฝังกลบกากของเสีย stress increment,  $\Delta\sigma$  คือ vertical effective stress ที่เก่งกลางความสูง มีค่าเท่ากับ  $\frac{\gamma H}{2}$  โดย  $\gamma$  คือ unit weight และ  $H$  คือ ความสูงของชั้นกากของเสีย การทรุดตัวคำนวณได้จาก

$$\delta = \sum \frac{H \cdot \Delta \sigma'}{D} \quad \dots\dots(2.7)$$

$$\text{ซึ่ง } D = \frac{1}{m_v} \text{ และ } m_v = \frac{\Delta \varepsilon}{\Delta \sigma'}$$

โดย  $\Delta \varepsilon$  คือ การเปลี่ยนแปลง strain ที่เกิดขึ้นในช่วง  $\Delta \sigma'$

### 2.4.3 การทrusดตัวช่วง primary compression

จากความสัมพันธ์ระหว่างเวลา กับ การทrusดตัวของหลุมฝังกลบ กากของเสีย ภายใต้ น้ำหนักบรรทุก ดังรูปที่ 2.7 การทrusดตัวจะเกิดขึ้นอย่างรวดเร็วในช่วง primary consolidation (Oweis and Khera, 1998) ซึ่งคำนวนได้จากสมการที่ 2.8

$$\delta_c = H(RR \cdot \log \frac{\sigma'_p}{\sigma'_o} + CR \cdot \log \frac{\sigma'_o + \Delta\sigma}{\sigma'_p}) \quad \dots\dots(2.8)$$

โดย  $H$  = layer of thickness

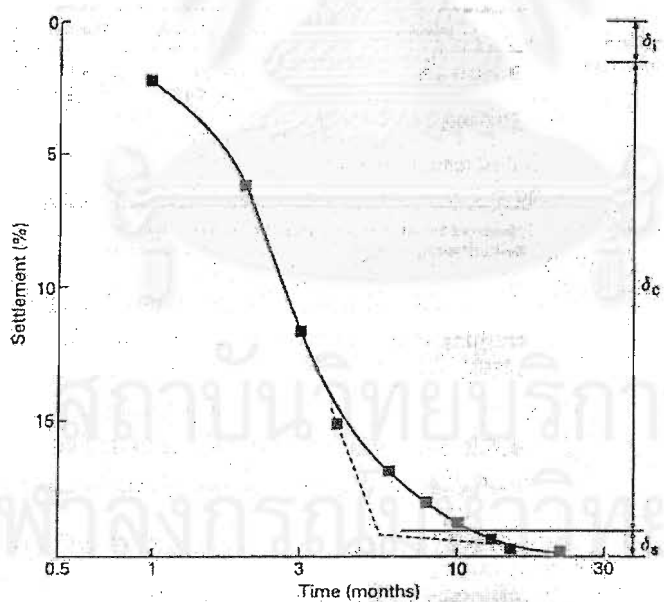
$CR$  = Compression Ratio

$RR$  = Recompression Ratio

$\sigma'_o$  = Effective overburden stress

$\sigma'_p$  = Maximum past consolidation stress

$\Delta\sigma$  = stress increment



รูปที่ 2.7 ความสัมพันธ์ระหว่างเวลา กับ การทrusดตัวของหลุมฝังกลบ กากของเสีย ภายใต้ น้ำหนักบรรทุก (S.Oweis and P.Khera,1998)

สำหรับการของเสียที่ไม่มีอิมตัวด้วยน้ำ การหดตัวที่เกิดขึ้นในช่วงแรก ๆ ไม่ได้เกิดจากการอัดตัวอย่างน้ำ แต่เกิดขึ้นเนื่องจากการอัดตัวของช่องว่างของอากาศ Sewers (1973) กล่าวว่า การหดตัวนี้จะเกิดขึ้นไม่ถึง 1 เดือน และ Sherus and Khera (1980) ระบุรวมข้อมูลการหดค่าในสนา�ของหลุมฝังกลบหากของเสียในที่ต่าง ๆ พบร้า ประมาณ 70-80 % ของการหดตัวทั้งหมดเกิดขึ้นใน 3 เดือนแรก และค่า  $C_s$  มีค่าอยู่ระหว่าง 0.15 ถึง 5 ตารางฟุต/วัน

#### 2.4.4 การหดตัวช่วง secondary compression

การหดตัวในช่วง secondary compression เกิดขึ้นหลังช่วง primary compression เป็น long term settlement (Oweis and Khera, 1998) สามารถคำนวณได้จาก สมการที่ 2.9 และ 2.10

$$\delta_s = C'_\alpha H \log \frac{t}{t_p} \quad (t > t_p) \quad \dots\dots(2.9)$$

$$C'_\alpha = \frac{\Delta \varepsilon}{\log t_2 - \log t_1} \quad \dots\dots(2.10)$$

โดย  $\Delta \varepsilon$  = การเปลี่ยนแปลง strain ระหว่างเวลา  $t_1-t_2$

$C'_\alpha$  = Secondary compression ratio

$t$  = เวลาที่ต้องการหดตัวในช่วง secondary compression

$t_p$  = เวลาสิ้นสุดการหดตัว primary compression

ซึ่ง โดยเฉลี่ย ค่า  $C'_\alpha$  มีค่าเท่ากับ 0.2 (upper bound=0.32, lower bound=0.13) และหลังจาก 10 ปีไปแล้ว  $C'_\alpha$  จะมีค่าคงที่ประมาณ 0.01-0.02 และถ้ามี soil content สูง  $C'_\alpha$  จะน้อยกว่า 0.01 Stulgis et.al.(1995) พบร้าในสภาพที่มีการย่อยสลายทางชีวภาพและทางเคมีเกิดขึ้น ผลให้ rate of secondary compression สูงตามมาด้วย

#### 2.4.5 การศึกษาที่ผ่านมาในอดีต

Yen and Scanlon (1975) กล่าวว่า อั้กอายุและความสูงของชั้นกากของเตียมาก อัตราการทรุดตัวเนื่องจากน้ำหนักของตัวเองจะลดลง และที่ความลึกมาก ๆ จุลินทรีย์ในสภาพไร้อากาศ (anaerobic) จะน้อยลง อัตราการย่อยสลายตัวก็ย่อมลดลง และจะเริ่มคงที่ค่าหนึ่ง ที่ระดับความลึกประมาณ 100 ฟุต (30 ม.)

Newman et al. (1987) ทำการทดสอบเพื่อหา parameter ที่เกี่ยวกับการเคลื่อนตัวของ ponded fly ash จากรัฐเวอร์จิเนีย ซึ่งเป็นตัวอย่าง undisturbed พบว่ามีค่า void ratio เท่ากับ 1.6,  $C_c$  เท่ากับ 0.65,  $C'_c$  เท่ากับ 0.07 และ  $c_v$  เท่ากับ  $2.25 \text{ cm}^2/\text{นาที}$

Cunningham el al. (1977) ทำการทดสอบเพื่อหา parameter ที่เกี่ยวกับการเคลื่อนตัวของ ponded fly ash จากอิลลินอยส์ ซึ่งเป็นตัวอย่าง undisturbed พบว่ามีค่า void ratio ประมาณ 1.26-1.40 และ  $C_c$  ประมาณ 0.32-0.46

## บทที่ 3

### วิธีดำเนินการวิจัย

#### 3.1 ขั้นตอนการศึกษาวิจัย

การศึกษาวิจัยในห้องปฏิบัติการมีวัตถุประสงค์คือ การหาคุณสมบัติทางวิศวกรรมของากของเสียจากอุตสาหกรรมกระดาษ เพื่อใช้เป็นคุณสมบัติเบื้องต้นในการวิเคราะห์หาลักษณะการจัดวางากของเสียในหมุนผังกลบ ที่ทำให้เกิดผลกระทบในระยะยาวต่อหมุนผังกลบหากของเสียน้อยที่สุด โดยศึกษาถึงคุณสมบัติทางวิศวกรรมของากของเสียทางด้านต่าง ๆ ในห้องปฏิบัติการ ได้แก่ สมบัติทางด้านกำลังรับน้ำหนัก สมบัติทางด้านการไหลซึม และสมบัติทางด้านการเคลื่อนตัวของหากของเสียบดดัด เพื่อประมาณเริมการหดตัวที่เกิดขึ้นหลังการผังกลบด้วยโปรแกรมไฟโนท็อกซ์ เมนต์

##### 3.1.1 ตัวอย่างที่ใช้ในการทดสอบ

ตัวอย่างที่นำมาใช้ในการทดสอบ เป็นหากของเสียที่ได้จากการผลิตกระดาษ และนำมาทดสอบจำนวน 3 ชนิดคือ

ชนิดที่ 1 Lime Mud เป็นของแข็ง มีลักษณะเป็นผงสีขาวอมเทา ไม่มีกลิ่น มีค่า pH 10.11 ซึ่งเกิดจากการนำสารละลายโซเดียมคาร์บอเนตผสมกับโซเดียมซัลไฟด์ หลังจากผ่าน Clarifier แล้ว ผสมกับเคลตี้มออกไซด์ในถังปฏิกิริยา (slacker) ได้เป็นโซเดียมไฮดรอกไซด์กับโซเดียมซัลไฟด์ที่ยังมีตะกอนอยู่ แล้วนำไปผ่านเครื่องกรองที่ Sifter จะได้ส่วนของสารละลายโซเดียมไฮดรอกไซด์กับโซเดียมซัลไฟด์ที่ใส เรียกว่า white Liquor นำไปใช้ในการต้มเยื่อ ตะกอนที่แยกออก มาเรียก โคลนหินปูน หรือ Lime Mud ซึ่งมีส่วนประกอบทางเคมี คือ  $\text{CaCO}_3$  เกือบ 100 เปอร์เซ็นต์ ดังรูปที่ 3.1

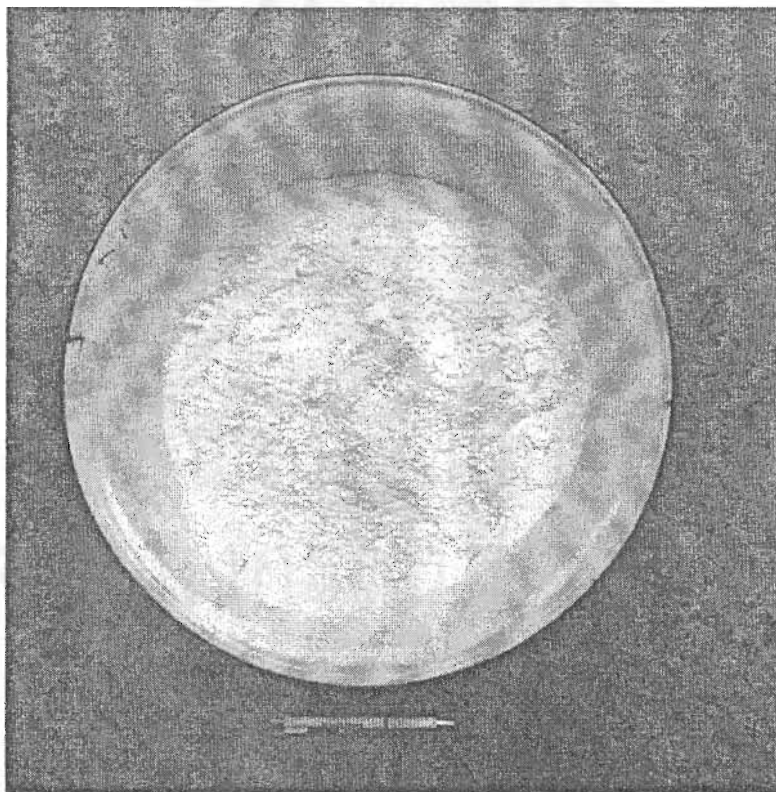
ชนิดที่ 2 Power Boiler Ash เป็นของแข็ง แห้งและร่วน ไม่มีกลิ่น มีค่า pH 7.5 เกิดจากกระบวนการผลิตเยื่อ จะถูกเผาใหม่เพื่อให้พลังงานกับ Recover Boiler องค์ประกอบที่เป็นสารอินทรีย์จะถูกเผาใหม่และให้พลังงาน ดังรูปที่ 3.2

ชนิดที่ 3 Dreg เป็นของแข็ง สีเทาดำ มีกลิ่นเล็กน้อย มีค่า pH 12 เกิดจาก การนำของเหลวสีดำที่ได้จากการต้มเยื่อเผาในหม้อไอน้ำ แล้วผสมกับ weak wash liquor ในถัง dissolving

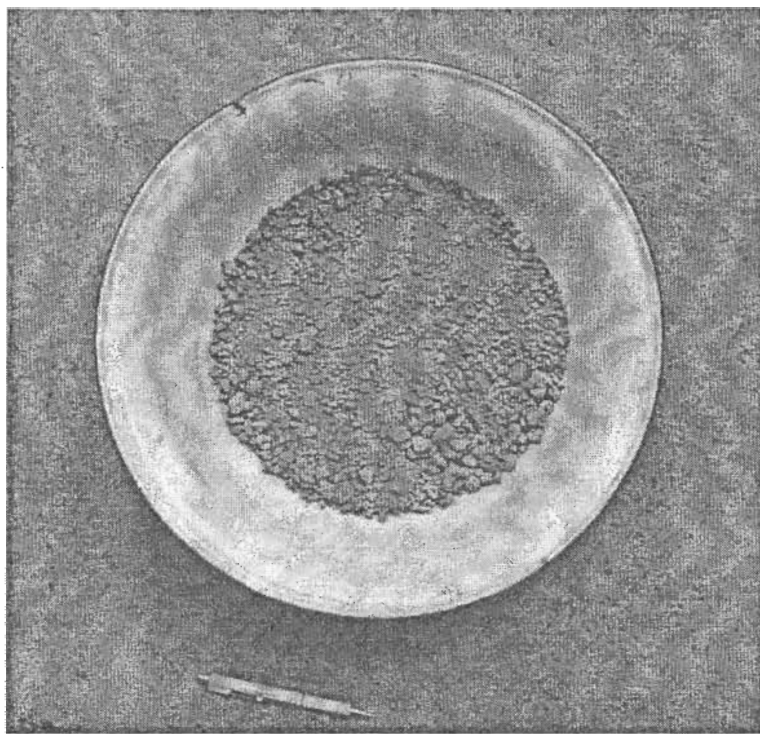
tank ได้เป็น ของเหลวสีเขียว ( $\text{Na}_2\text{CO}_3 + \text{Na}_2\text{S}$ ) และส่งไปยังถังตกร่อง (Clarifier) เพื่อแยกตะกอนออกจากของเหลวสีเขียว ตะกอนเหลวที่แยกถูกส่งไปยังเครื่องกรอง ภาพที่ไม่ผ่านเครื่องกรอง เรียกว่า Dreg ดังรูปที่ 3.3

ตารางที่ 3.1 สรุปคุณสมบัติเบื้องต้นของกากของเสียที่ใช้ในการทดสอบ

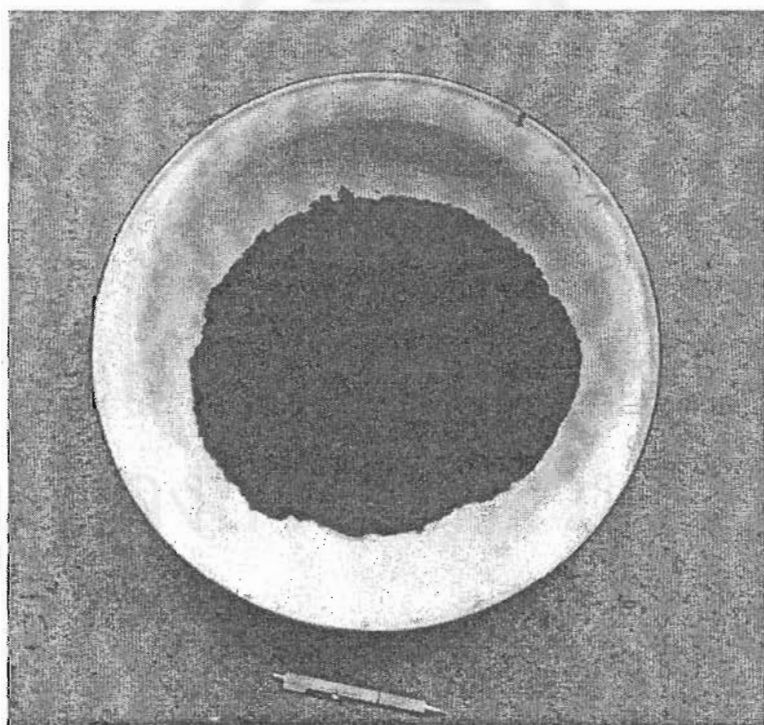
ชนิดของกากของเสีย	สี	กลิ่น	pH	Solid content, %
Lime	ขาวอมเทา	ไม่มี	10.11	70
Dreg	ดำ-เทา	มี	12	55
Power boiler ash	ดำ	ไม่มี	7.5	99



รูปที่ 3.1 Lime Mud



รูปที่ 3.2 Power Boiler Ash



รูปที่ 3.3 Dreg

### 3.1.2 การศึกษาคุณสมบัติทางวิศวกรรมของกากของเสียที่ใช้ในการทดสอบ

เพื่อศึกษาสมบัติของกากของเสียบดังในด้านต่าง ๆ ขันได้แก่ สมบัติทางด้านกำลังรับน้ำหนัก สมบัติทางด้านการไหลซึม และสมบัติทางด้านการเคลื่อนตัว

#### 3.1.2.1 การทดสอบหาค่าความถ่วงจำเพาะ

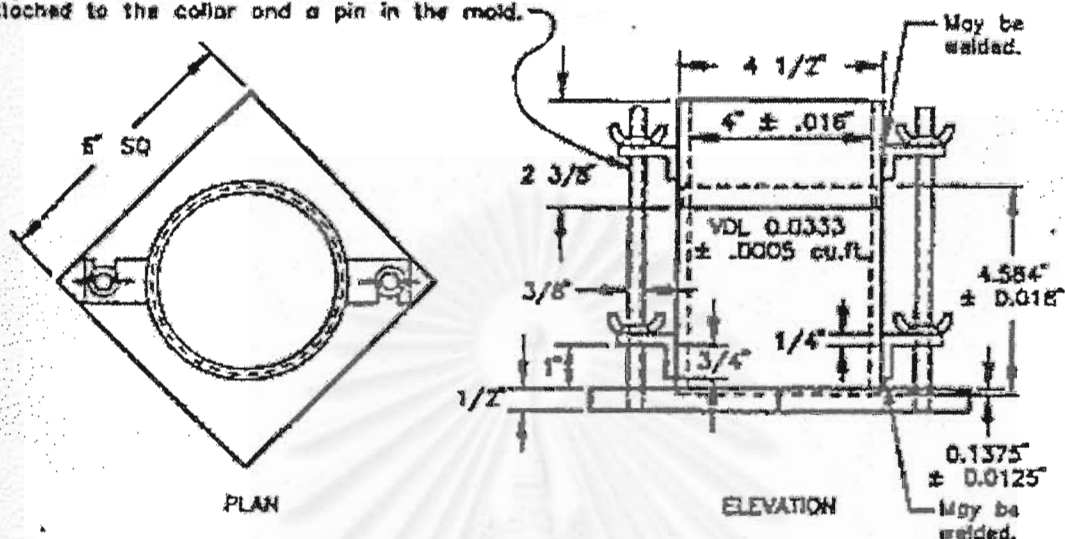
การทดสอบจะทำตามมาตรฐาน ASTM D 854: Test Method Gravity of Soils โดยทำการทดสอบ 2 ครั้ง แล้วหาค่าเฉลี่ย

#### 3.1.2.2 การทดสอบการบดอัด

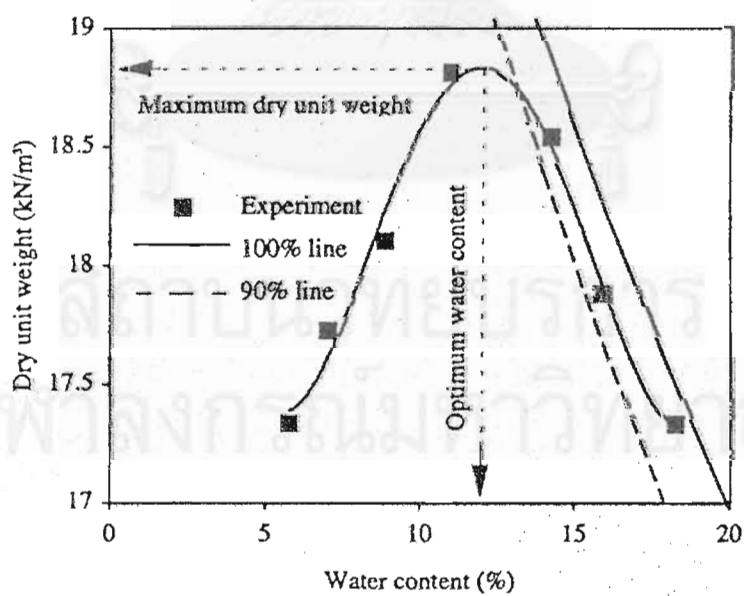
การทดสอบการบดอัด (Compaction Test) เป็นการศึกษาความสัมพันธ์ระหว่างความหนาแน่นแห้ง และปริมาณความชื้นที่เหมาะสมของกากของเสียทั้ง 3 ชนิดที่ใช้ในการทดสอบ

การทดสอบการบดอัด (Compaction Test) จะทำตามมาตรฐาน ASTM D 698 : Laboratory Compaction Characteristics of Soil Using Standard Effort เริ่มด้วยการคลอกส่วนผสมระหว่างกากของเสียกับน้ำ แล้วตักใส่ลงในแบบ (mold) ที่มีเส้นผ่าศูนย์กลางภายใน 4 นิ้ว สูง 4.584 นิ้ว ดังรูปที่ 3.4 บดอัดเป็นจำนวน 3 ชั้น ใช้ค้อน (hammer) ขนาดเส้นผ่าศูนย์กลาง 2 นิ้ว หนัก 5.5 ปอนด์ ยกสูง 12 นิ้ว ปล่อยลงเป็นจำนวน 25 ครั้งต่อชั้น การทดสอบจะค่อย ๆ เพิ่มปริมาณน้ำในตัวอย่างจนกระทั่งถึงปริมาณน้ำที่ทำให้หน่วยน้ำหนักลดลงหรือไม่เพิ่มขึ้นมากนัก นำผลการทดสอบที่ได้มาเขียนกราฟแสดงความสัมพันธ์ระหว่างความหนาแน่นแห้งและปริมาณความชื้นหลังบดอัด (Compaction Curve) ดังรูป 3.5 ซึ่งทำให้ทราบถึงความหนาแน่นแห้งสูงสุด (Maximum Dry Density) และปริมาณความชื้นที่เหมาะสม (Optimum Moisture Content) ของกากของเสียแต่ละชนิดที่ทำการทดสอบ

As an option to the full length stud,  
a  $2\frac{1}{2} \times 3/8$ " stud may be used. Then  
as an alternative construction, the collar  
may be held down with a slotted bracket  
attached to the collar and a pin in the mold.



รูปที่ 3.4 แบบ (standard Mold) ที่ใช้ในการทดสอบการบดอัด compaction (ASTM, 1996)



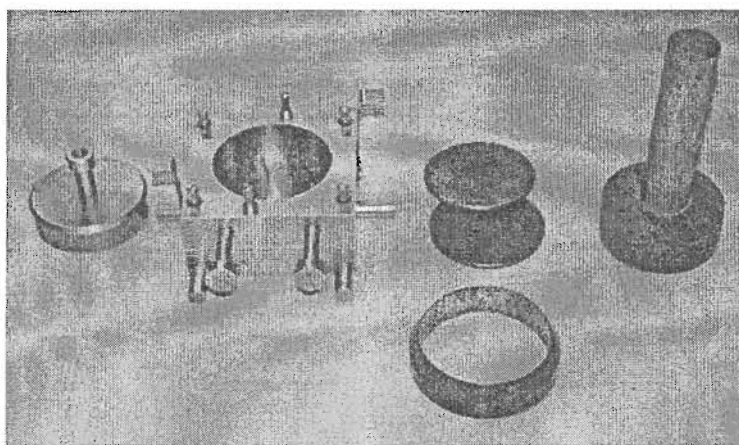
รูปที่ 3.5 แสดงความสัมพันธ์ระหว่าง dry unit weight กับ water content (Lambe, 1951)

### 3.1.2.3 การทดสอบกำลังรับน้ำหนัก

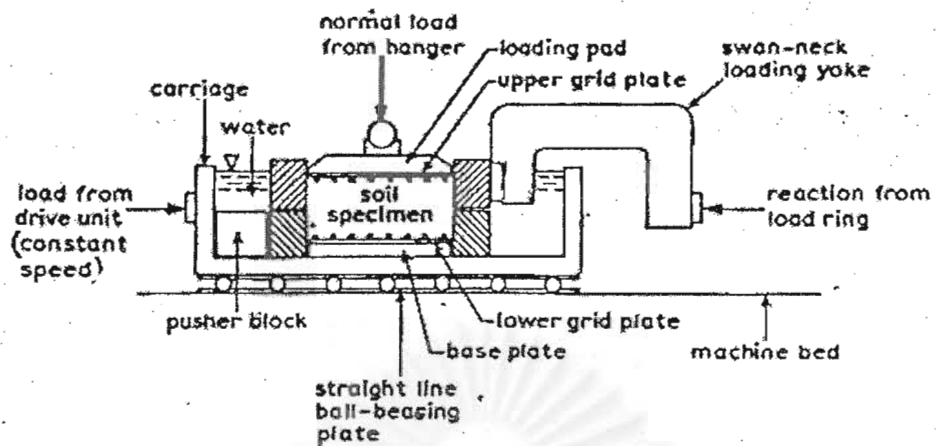
การทดสอบกำลังรับน้ำหนัก โดยวิธี Direct Shear Test เป็นการหาค่า cohesion intercept,  $c$  และ friction angle,  $\phi$  ของภาคของเสียบดอัดทั้ง 3 ชนิดที่ใช้ในการทดสอบ ความหนาแน่นที่ใช้ในการทดสอบได้มาจาก การทดสอบการบดอัด โดยใช้ความหนาแน่นแห้งแตกต่างกัน 3 ค่า นั่นคือ ที่ความหนาแน่นแห้งสูงสุด (Maximum Dry Density,  $\gamma_d$ ) ที่ความหนาแน่นแห้งมากกว่าและน้อยกว่า maximum dry density ประมาณ 3-5 % โดยกำหนดให้ปริมาณความชื้นเดียวกันในภาคของเสียชนิดเดียวกัน คือ Optimum Moisture Content, OMC

การทดสอบกำลังรับแรงเฉือน (Direct Shear Test) กระทำตามมาตรฐาน ASTM D 3060-90 : Direct Shear Test of Soils Under Consolidated Drained Conditions เมื่อทดสอบแบบสกัด Consolidated Drained ซึ่งขั้นตอนการทดสอบแบ่งออกเป็น 2 ขั้นตอนคือ ขั้นตอนแรกคือการเตรียมตัวอย่างบดอัด และขั้นตอนที่สอง คือการทดสอบกำลังรับแรงเฉือน

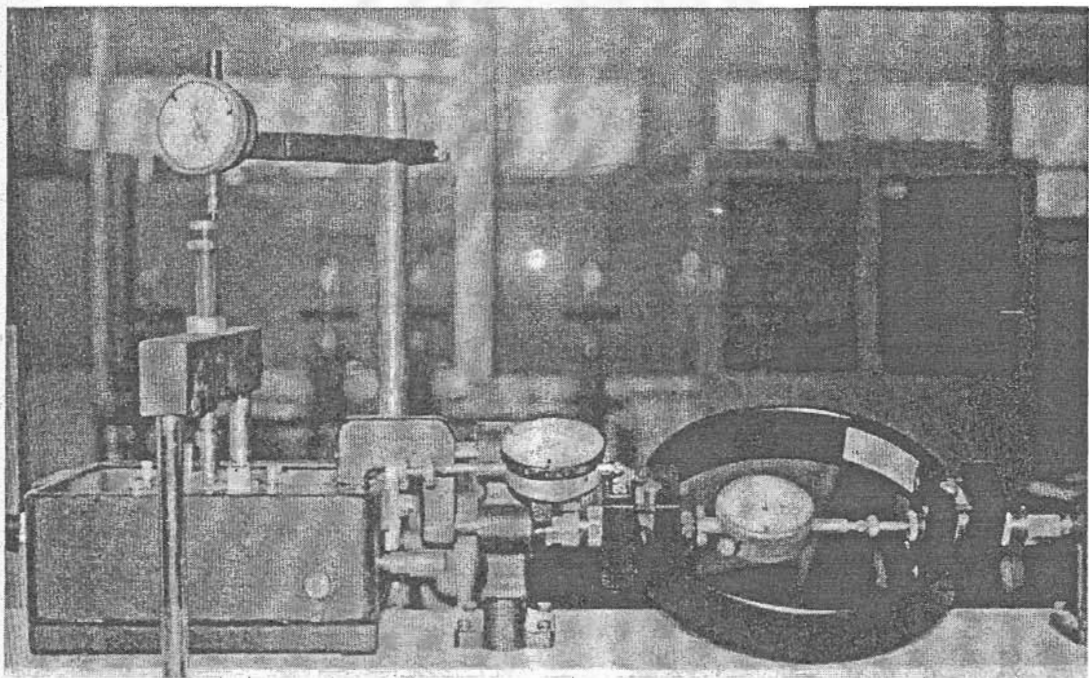
ขั้นตอนที่หนึ่ง เริ่มด้วยการคำนวนหาปริมาณน้ำที่จะนำมาผสานกับภาคของเสียให้อยู่ที่ OMC และคำนวนหนาน้ำหนักของส่วนผสมของภาคของเสีย ที่ความหนาแน่นแห้งที่ต้องการเมื่อทราบปริมาตรของ sample ring ที่มีเส้นผ่าศูนย์กลางภายใน 6.3 ซม. สูง 2 ซม โดยเครื่องมือที่ใช้ในการเตรียมตัวอย่าง ดังรูปที่ 3.6 จากนั้น คลุกส่วนผสมนั้นให้เด็กัน แล้วบดอัดใส่ sample ring ให้ได้น้ำหนักตามที่ได้คำนวนไว้ กดตัวอย่างที่จาก sample ring ลงไปใน shear box ที่มีแผ่น porous stone และกระดาษกรองอยู่ด้านใต้ตามลำดับ แล้วปิดด้วยกระดาษกรองและ porous stone ด้านบน อีกครั้งจากนั้นติดตั้งตัวอย่างเพื่อเตรียมทดสอบในขั้นตอนที่ 3.7-3.8



รูปที่ 3.6 เครื่องมือที่ใช้ในการเตรียมตัวอย่างเพื่อทดสอบกำลังรับแรงเฉือน



รูปที่ 3.7 รายละเอียดในการติดตั้งตัวอย่างก่อนเริ่มทดสอบกำลังรับแรงเฉือน

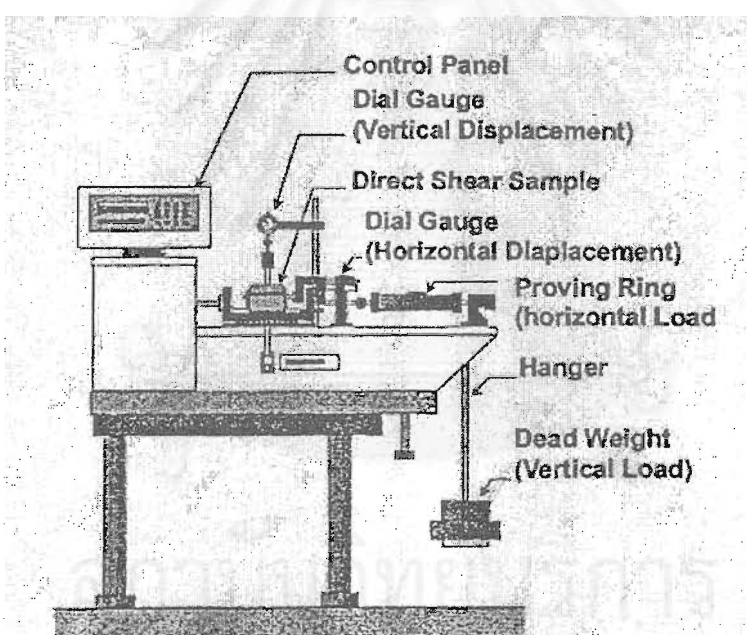


รูปที่ 3.8 การติดตั้งตัวอย่างก่อนเริ่มการทดสอบกำลังรับแรงเฉือน

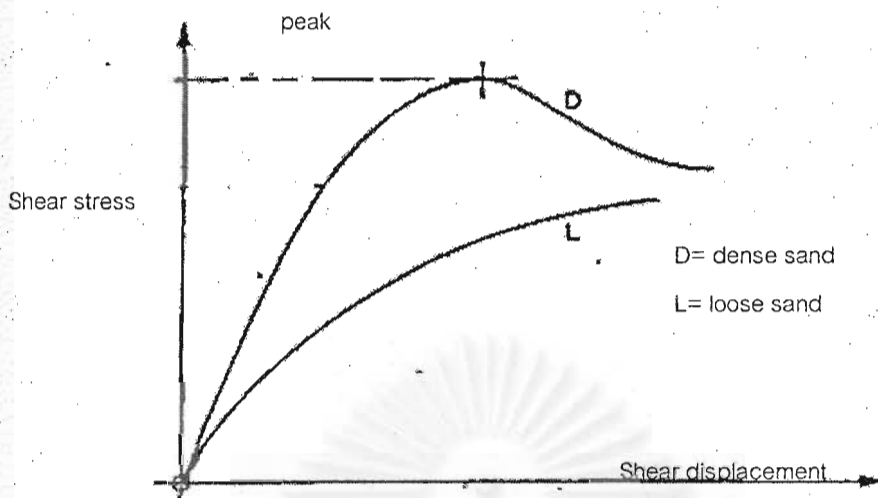
ขั้นตอนที่สอง คือ การทดสอบกำลังรับแรงเฉือนด้วยเครื่อง Direct shear testing ดังรูปที่ 3.9 โดยทำการทดสอบแบบ consolidated condition โดยมี 2 อัตราการเฉือน คือ

1. Drained Condition โดย Displacement rate คำนวนจากมาตรฐาน ASTM D 3080-90
2. Displacement rate เท่ากับ 0.5 มม./นาที

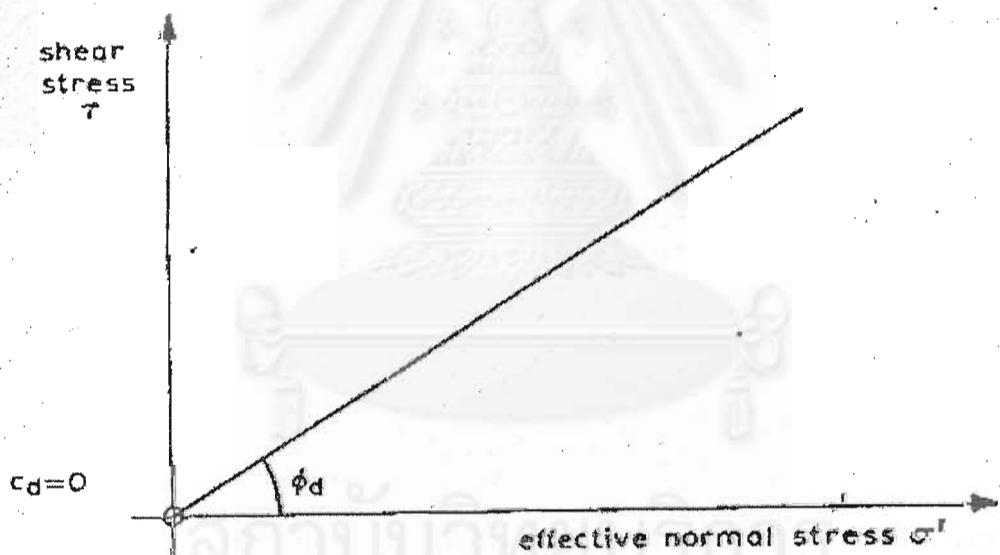
ในการทดสอบแต่ละความหนาแน่นแห้งต่างๆ 2 อัตราการเฉือนจะใช้ normal load 3 ค่า คือ 1, 2, และ 4 kg. บันทึกค่า shear displacement และ normal displacement ที่เวลาต่างๆ หากความสัมพันธ์ระหว่าง shear stress กับ shear displacement ดังรูปที่ 3.10 และความสัมพันธ์ระหว่าง shear stress กับ normal stress ดังรูปที่ 3.11 ซึ่งทำให้ทราบถึง cohesion intercept, c และ friction angle,  $\phi$  ของการของเสียแต่ละชนิดที่ความหนาแน่นแห้งต่างๆ



รูปที่ 3.9 รายละเอียดของเครื่องทดสอบกำลังรับแรงเฉือน



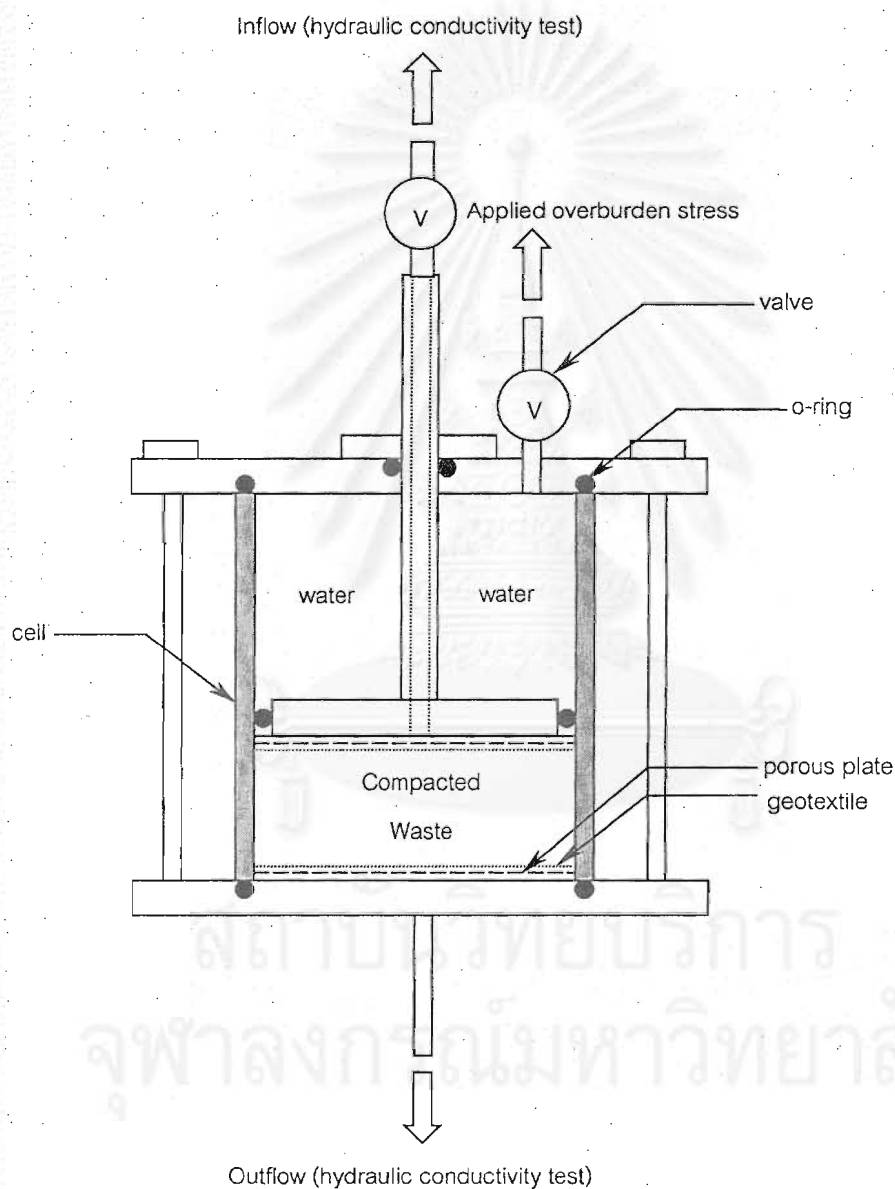
รูปที่ 3.10 ความสัมพันธ์ระหว่าง shear stress กับ shear displacement ของ dense sand และ loose sand (Manual of Soil Lab.V2,1982)



รูปที่ 3.11 แสดงความสัมพันธ์ระหว่าง shear stress กับ normal stress  
(Manual of Soil Lab.V2,1982)

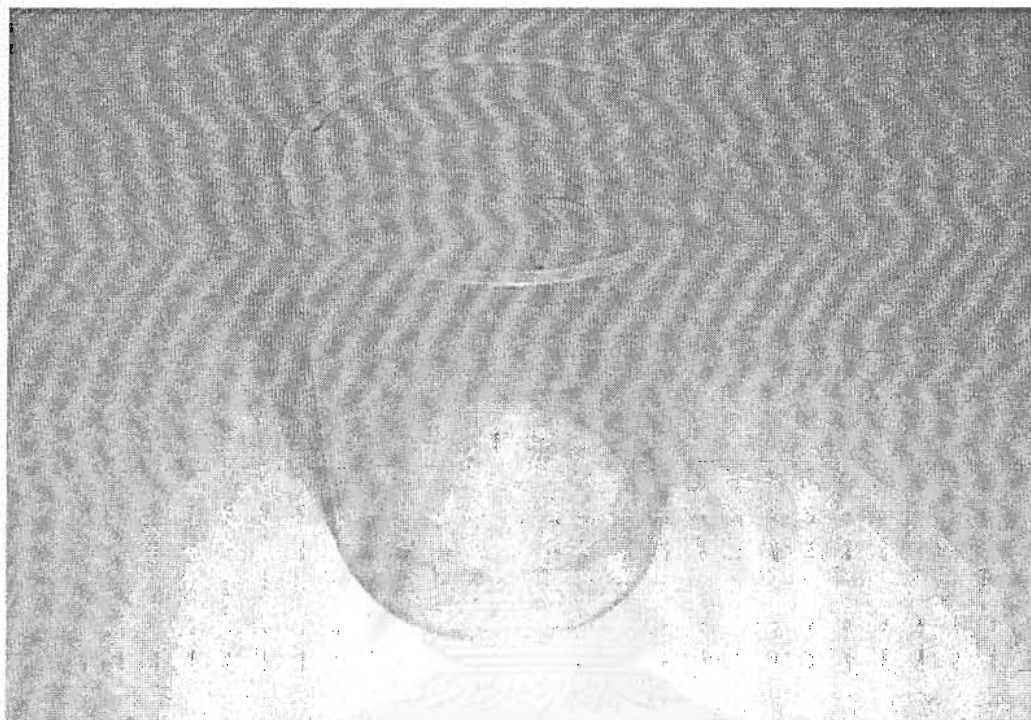
### 3.1.2.4 การทดสอบความสามารถในการซึมผ่าน

เครื่องมือที่ใช้ในการทดสอบจะต้องสามารถเตรียมตัวอย่างด้วยการบดอัด ดังนั้น เครื่องมือนี้จึงถูกปรับปรุงจากขั้นตอนการทดสอบการบดอัดแบบ Stand Proctor Compaction Test (เครื่องมือการทดลองแบบผังไม้ยึดหยุ่น) แผนภาพลักษณะของชุดทดลองแสดงไว้ดังรูปที่ 3.12 และส่วนประกอบแต่ละชิ้นมีรายละเอียดดังนี้



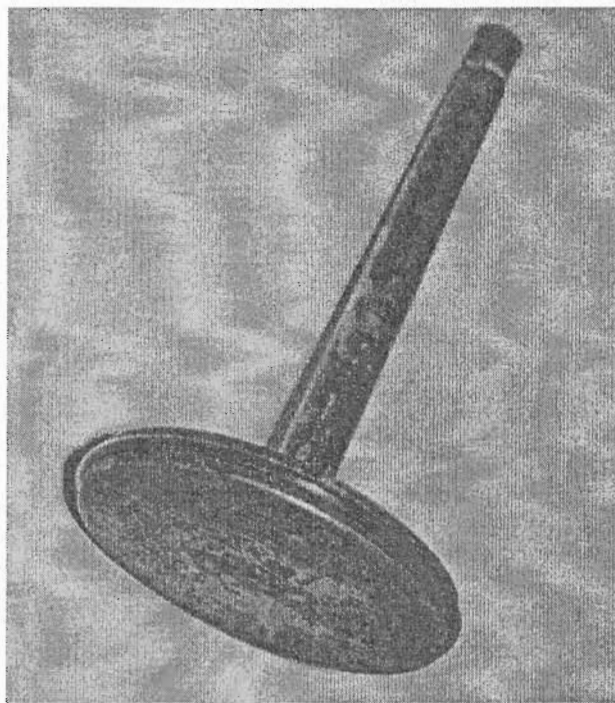
รูปที่ 3.12 แผนภาพของชุดทดลองหาความสามารถในการให้ซึมผ่าน

1. กระบวนการตัวอย่าง (Cell) มีลักษณะดังรูปที่ 3.13 เส้นผ่าศูนย์กลางภายในเท่ากับ 10.0 ซม. สูง 13.0 ซม. และหนา 0.5 ซม. ทำการพลาสติกที่ทันเรցดันได้สูง กระบวนการนี้จะต้องประกอบกับ collar ของ standard compaction mold ทางด้านบนในขณะทำการบดอัด โดยที่ด้านล่างจะถูกยึดกับแผ่นปิดล่างและรองให้ตัวอย่างตัวอย่างด้วยแผ่น geotextile และแผ่นพูนให้น้ำผ่านตามลำดับ



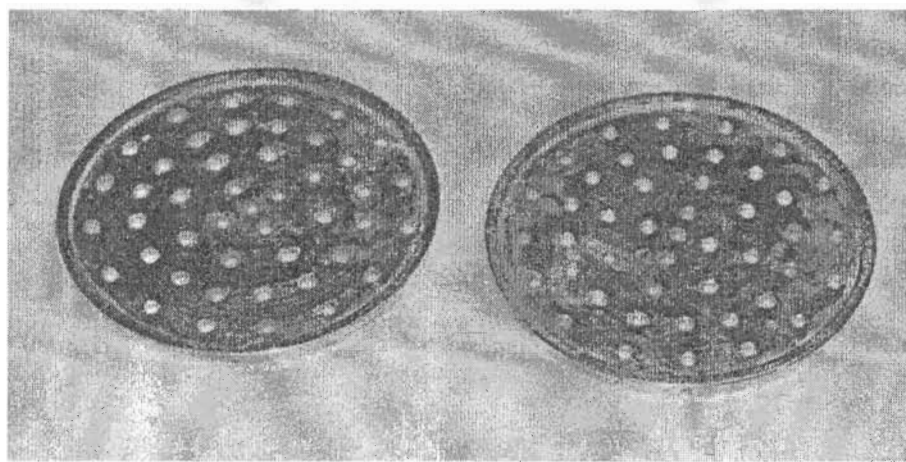
รูปที่ 3.13 กระบวนการตัวอย่าง

2. แผ่นให้แรงดันกดทับพื้นไม้แกนสั่น (Applied stress plate) มีลักษณะดังรูปที่ 3.14 โดยส่วนที่เป็นแท่ง ภายในจะกลวงเพื่อเป็นทางผ่านของของเหลวที่ต้องการจะให้ไหลเข้าผ่านตัวอย่าง และที่ส่วนแผ่นจานกลม บริเวณขอบจะมีร่องไว้รองรับ O ring โดยรอบเพื่อเป็นการกันระบบให้แรงดันกดทับ (overburden stress system) กับระบบการไอลซึมผ่าน (permeability test system) ให้แยกออกจากกัน อีกทั้งยังช่วยในการลดแรงเสียดทานที่เกิดขึ้นระหว่างผนังกระบวนการตัวอย่างกับขอบของจานให้แรงดันกดทับ



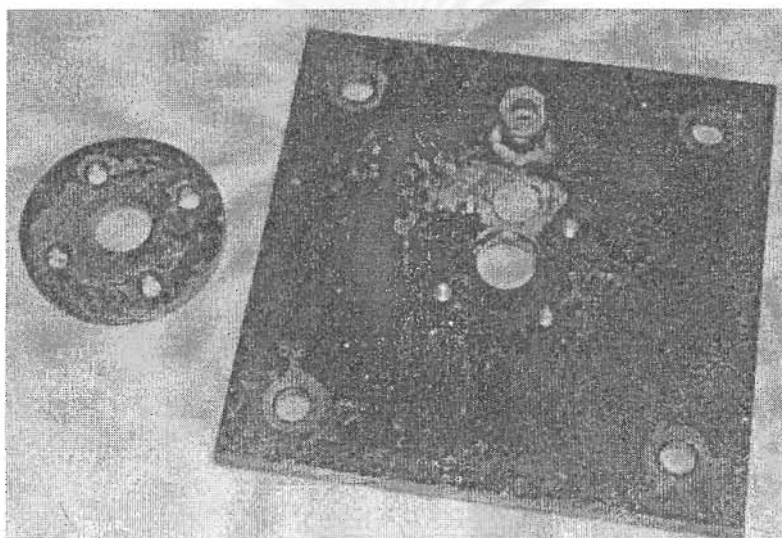
รูปที่ 13.14 แผ่นให้แรงดันกดทับพร้อมแกนสั่น้ำ

3. แผ่นพูน (Porous plate) มีลักษณะดังรูปที่ 3.15 จะอยู่ที่ด้านบนของตัวอย่างซึ่งจะทำหน้าที่กระจายการไหลของน้ำจากแกนสั่น้ำให้เหลวได้อย่างสม่ำเสมอตลอดทั้งหน้าตัดของตัวอย่างและอยู่ที่ด้านล่างของตัวอย่างเพื่อรองรับการไหลตลอดทั้งหน้าตัดก่อนที่จะรวมเข้าของเหลวออกทางระบายน้ำที่แผ่นปิดล่าง



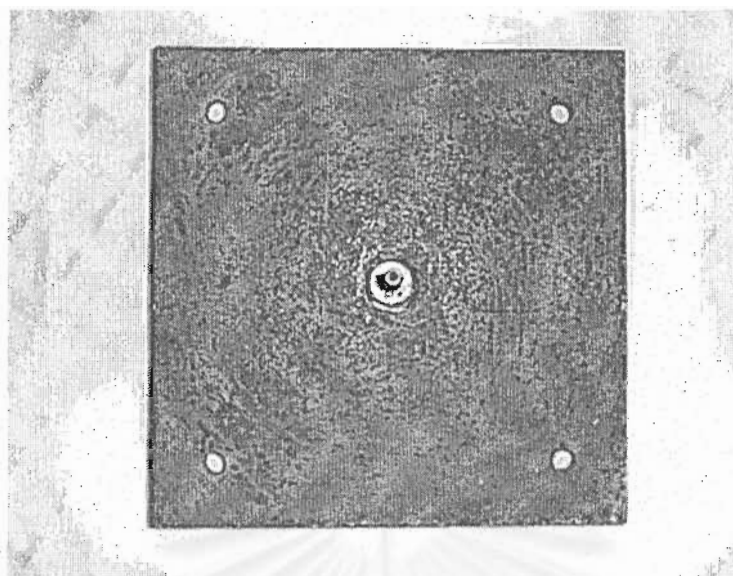
รูปที่ 13.15 แผ่นพูน

4. แผ่นปิดบน (Top plate) มีลักษณะดังรูปที่ 3.16 ซึ่งจะประกอบด้วย รู 4 รูที่มุนข่องแฝ้นเพื่อเตรียมไว้ยึดกับเส้า 4 ตันเมื่อประกอบกับระบบออกตัวอย่าง รูกลางพร้อมแผ่นครอบและ O ring เพื่อเป็นทางผ่านของแกนส่งน้ำและจะต้องมีระบบกันการรั่วของแรงดันที่ใช้ในการให้แรงดันกดทับ รูเจาะที่เตรียมไว้สำหรับเป็นทางผ่านให้แรงดันจากระบบแรงดันภายในออกเข้าสู่ระบบออกตัวอย่างเพื่อใช้เป็นแรงดันกดทับแก่ตัวอย่าง และร่องวงกลมเพื่อรองรับการยึดกับระบบออกตัวอย่างพร้อมทั้งกันการรั่วของแรงดันด้วย O ring ที่หน้าสัมผัสระหว่างแผ่นปิดบนกับระบบออกตัวอย่าง



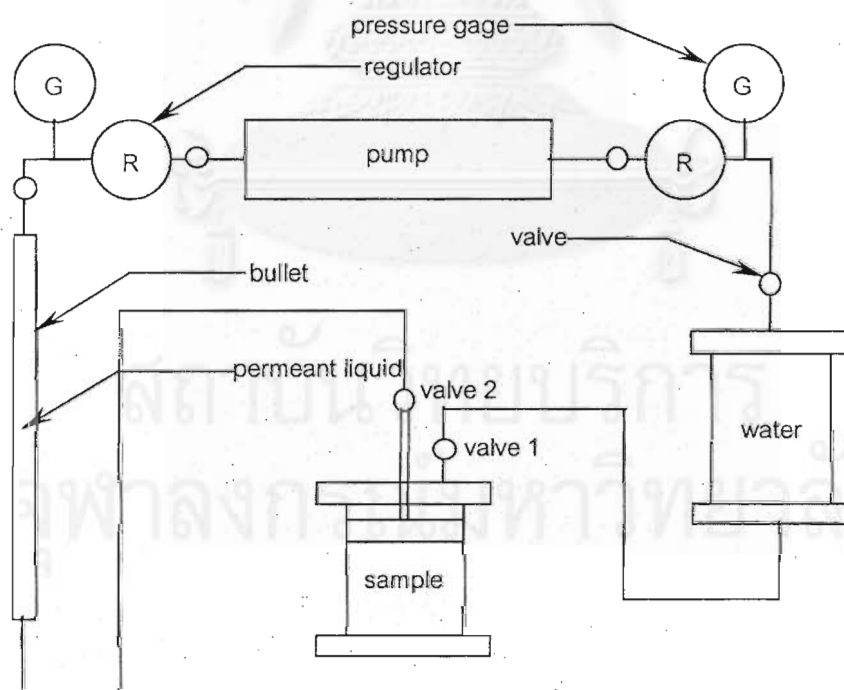
รูปที่ 3.16 แผ่นปิดบน

5. แผ่นปิดล่าง (Bottom plate) มีลักษณะดังรูปที่ 3.17 ซึ่งจะประกอบด้วย รู 4 รูที่มุนข่องแฝ้นเพื่อเตรียมไว้ยึดกับเส้า 4 ตันเมื่อประกอบกับระบบออกตัวอย่าง รูกลางเพื่อใช้เป็นทางระบายนอกของน้ำที่ไหลซึมออกจากตัวอย่าง และร่องวงกลมเพื่อรองรับกันการยึดกับระบบออกตัวอย่างพร้อมทั้งกันการรั่วของแรงดันด้วย O ring ที่หน้าสัมผัสระหว่างแผ่นปิดล่างกับระบบออกตัวอย่าง



รูปที่ 3.17 แผ่นปิดล่าง

6. ระบบแรงดันอากาศซึ่งประกอบด้วย pump regulator gauge และระบบท่อแรงดัน เพื่อใช้เป็นระบบให้แรงดันกดทับกับตัวอย่างดังรูปที่ 3.18



รูปที่ 3.18 ระบบแรงดันอากาศ

### ขั้นตอนการทดสอบหาความสามารถในการไหลซึม

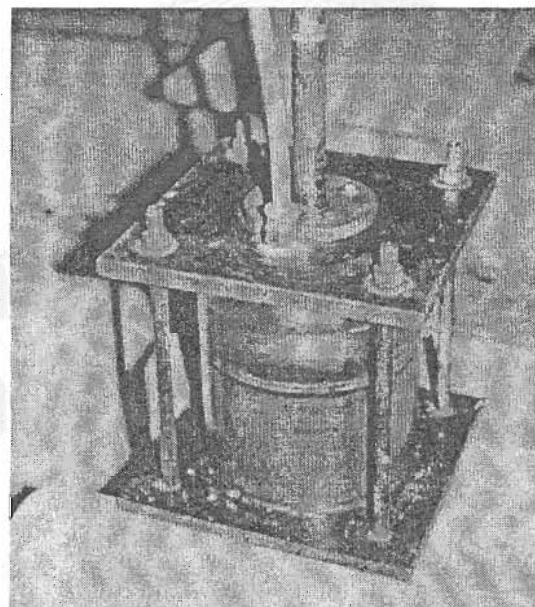
ขั้นตอนการทดสอบแบ่งออกเป็น 2 ขั้นตอนด้วยกันคือ ขั้นตอนแรก คือการเตรียมตัวอย่างบดอัด และขั้นตอนที่สอง คือการทดสอบโดยการปล่อยให้น้ำไหลซึมผ่านตัวอย่าง

#### ขั้นตอนที่ 1 ขั้นตอนการเตรียมตัวอย่างบดอัด

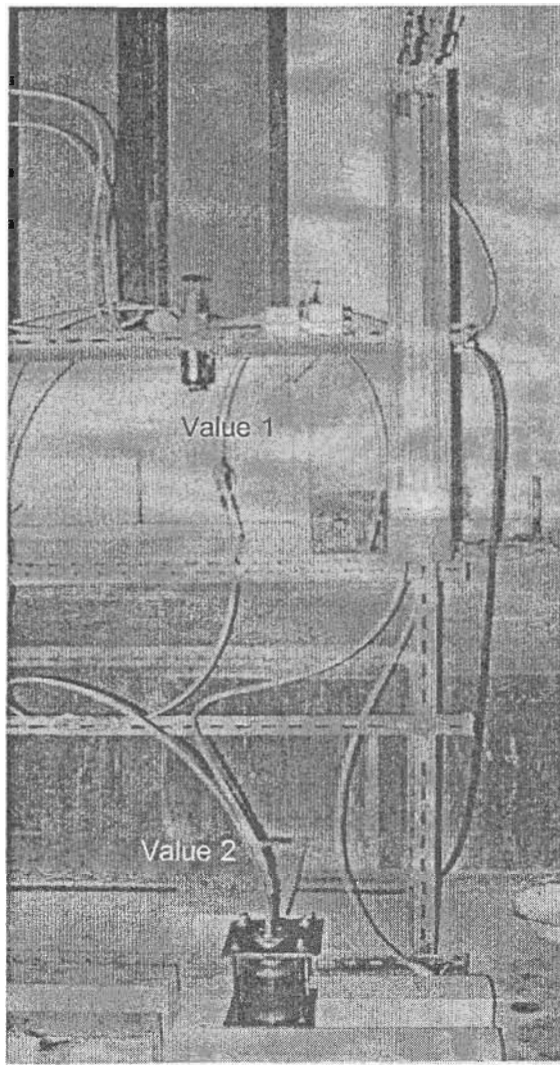
บดอัดกากของเสียที่ความหนาแน่นแห้งที่ต้องการ คือ maximum dry density ที่ได้จากการทดสอบบดอัดโดยควบคุมน้ำหนักและความสูงของตัวอย่างที่ 5 ซม. ซึ่งจะมีการเพื่อในส่วนผิวน้ำที่ไม่เรียบ การบดอัดจะกระทำเสมือนกับการบดอัดใน standard compaction mold หลังจากบดอัดแล้ว ต้องทำการปัดดินส่วนเกินออกเพื่อให้ผิวน้ำเรียบและได้ความสูงของตัวอย่าง 5 ซม.

#### ขั้นตอนที่ 2 การทดสอบโดยการปล่อยให้น้ำไหลซึมผ่านตัวอย่าง

ประกอบกรอบอุปกรณ์ที่ 3.19 และนำไปประกอบเข้ากับระบบแรงดันอากาศ ดังรูปที่ 3.20 เริ่มด้วยการเปิด valve 1 เพื่อให้แรงดันกดทับ 1 กก./ซม.<sup>2</sup> กับตัวอย่าง และตั้งทิ้งไว้ 24 ชั่วโมง เพื่อให้เกิดการทุบตัวจนหยุดและแนใจว่ามีแรงดันด้านข้าง (lateral stress) ระหว่างตัวอย่างกับผนังกรอบเต็มที่แล้ว จากนั้นเปิด valve 2 เพื่อทดสอบหาความสามารถในการไหลซึมผ่าน พร้อมทั้งจดค่าระดับของน้ำใน bullet ที่เวลาต่างๆ จนระดับของน้ำลดลงได้ประมาณ 40 ซม. หลังจากเริ่มการทดสอบ



รูปที่ 3.19 การติดตั้งตัวอย่างก่อนเริ่มการทดสอบความสามารถในการไหลซึมผ่าน



รูปที่ 3.20 ตัวอย่างที่นำไปประกอบเข้ากับระบบแรงดันอากาศ

### 3.1.2.5 การทดสอบคุณสมบัติที่เกี่ยวกับการเคลื่อนทัว

การทดสอบคุณสมบัติที่เกี่ยวกับการเคลื่อนตัว โดยการทดสอบการอัดตัวคายน้ำ (Consolidation Test) ซึ่งเป็นการหาค่า parameter ของกาขของเสียบดัดทั้ง 3 ชนิดที่ใช้ในการทดสอบ ได้แก่ Coefficient of Consolidation( $C_v$ ), Compression Ratio(CR), Recompression Ratio(RR) และหน่วยแรงสูงสุดในอดีต (Maximum stress history( $\sigma_{vm}$ )) และ Drained Young's Modulus,  $E'$  ความหนาแน่นที่ใช้ในการทดสอบได้มาจากการทดสอบการอัด โดยใช้ความหนาแน่นแห้งแตกต่างกัน 3 ค่า นั่นคือ ที่ความหนาแน่นแห้งสูงสุด (Maximum Dry Density,  $\gamma_d$ ) และที่

ความหนาแน่นแห้งมากกว่าและน้อยกว่า maximum dry density ประมาณ 3-5 % โดยใช้บริมาณความชื้นเดียวกันในภาคของเสียชนิดเดียวกัน คือ OMC

การทดสอบการอัดตัวคายน้ำ (Consolidation Test) กระทำตามมาตรฐาน ASTM D 2435-90 : One-Dimensional Consolidation Properties of Soils ซึ่งขั้นตอนการทดสอบแบ่งออกเป็น 2 ขั้นตอนคือ ขั้นตอนแรก คือการเติมตัวอย่างบดอัด และขั้นตอนที่สอง คือการทดสอบการอัดตัวคายน้ำ

ขั้นตอนที่หนึ่ง เริ่มด้วยการคำนวณหาปริมาณน้ำที่จะนำมาผสมกับภาคของเสียให้อยู่ที่ OMC และคำนวณหน้างานของส่วนผสมของภาคของเสีย ที่ความหนาแน่นแห้งที่ต้องการ เมื่อทราบปริมาณของ sample ring ที่มีเส้นผ่าศูนย์กลางยาวใน 5 ซม. สูง 2 ซม. จากนั้น คลุกส่วนผสมนั้นให้เข้ากัน เล็บดอัดใส่ sample ring ให้ได้น้ำหนักตามที่ได้คำนวณไว้

ขั้นตอนที่สอง คือ การทดสอบการอัดตัวคายน้ำ

ติดตั้งตัวอย่างเข้ากับเครื่องทดสอบการอัดตัวคายน้ำ สำหรับทุกตัวอย่างในการทดสอบมีการเพิ่มน้ำหนักโดยใช้  $\frac{\Delta P}{P} = 1$  เริ่มตั้งแต่ 0.5, 1, 2, 4, 8 จนกระทั่งถึง 16 kg. แล้ว unload ที่ 4 และ 1 kg. ตามลำดับ และค้างน้ำหนักทิ้งไว้ 24 ชม. ในแต่ละหน่วยน้ำหนัก บันทึกค่า vertical displacement ที่เวลา  $\frac{5}{60}, \frac{15}{60}, \frac{30}{60}, 1, 2, 4, 8, 16, 32, 60, 120, 240, 480$  และ 1440 นาที ตามลำดับ นำผลการทดสอบที่ได้มาคำนวณหาค่า void ratio, e และเขียนกราฟแสดงความสัมพันธ์ระหว่าง void ratio กับ vertical effective stress เพื่อวิเคราะห์หาค่า Recompression Ratio(RR), Compression Ratio(CR) และหาค่า Constrain Modulus, D และปรับแก้ด้วย Poisson's ratio จะได้ค่า  $E'$

### 3.1.3 การวิเคราะห์ Vertical settlement และ Differential settlement ของหลุมฝังกลบภาคของเสียด้วยวิธีการทางไฟในท่อสิลิเมนต์ (Finite element analysis)

เป็นการวิเคราะห์การทรุดตัวด้วยน้ำหนักตัวของเองของหลุมฝังกลบภาคของเสีย เป็นการศึกษาผลของ Vertical settlement และ Differential settlement ของ ground surface ของหลุมฝังกลบภาคของเสียที่มีการจัดวางที่แตกต่างกัน เพื่อหาวิธีการจัดวางภาคของเสียเหมาะสมที่สุด ที่ทำให้เกิด Differential settlement น้อยที่สุดโดยโปรแกรมที่ใช้ในการวิเคราะห์ ก็คือ โปรแกรม PLAXIS 7.2

### 3.1.3.1 ความรู้เบื้องต้นเกี่ยวกับโปรแกรม PLAXIS

โปรแกรม PLAXIS คือโปรแกรมที่ใช้ในการหาค่าการเสียรูปและเสถียรภาพของสิ่งก่อสร้างในด้านเทคนิคธรณี ซึ่งบางครั้งการวิเคราะห์พุติกرومของโครงการที่ต้องการความแม่นยำสูงต้องสูง จำเป็นจะต้องใช้แบบจำลองแบบไม่เป็นเส้นตรง และมีความสัมพันธ์เกี่ยวนี้กับเวลา นอกจากนี้โปรแกรม PLAXIS ก็สามารถใช้จำลองรูปแบบในกรณีที่ดินมีหลายเฟส (phase) คือ ในช่วงที่มีแรงดันน้ำ และในช่วงที่ไม่มีแรงดันน้ำได้อีกด้วย แบบจำลองทางด้านเทคนิคธรณีนี้จะมีความสำคัญในด้านของมัณฑลแล้ว แต่ทว่าโครงสร้างทางเทคนิคธรณียังต้องเกี่ยวข้องกับแบบจำลองทางด้านโครงสร้าง และแรงกระทำระหว่างโครงสร้างกับดิน ซึ่งโปรแกรม PLAXIS จะมีคำสั่งที่ครอบคลุมกรณีต่างๆ ของโครงสร้างทางเทคนิคธรณีที่รับข้อมูลได้ ซึ่งได้สรุปสิ่งที่ควรรู้เกี่ยวกับโปรแกรม PLAXIS ที่เกี่ยวข้องกับงานวิจัยนี้ โดยรายละเอียดของแต่ละหัวข้ออ้างอิงมาจากคู่มือโปรแกรม PLAXIS , Version 7 (Brinkgreve et al, 1998) ซึ่งได้แก่

การป้อนข้อมูลเกี่ยวกับรูปร่าง (Geometry) ของแบบจำลอง: การกรอกข้อมูลเกี่ยวกับลักษณะชั้นดิน, ลักษณะโครงสร้าง, ขั้นตอนการก่อสร้างและเงื่อนไขของขอบเขตจะใช้วิธีการวดรูปเป็นหลักซึ่งจะทำให้ได้รายละเอียด และความถูกต้องของแบบจำลอง ซึ่งเมื่อได้รูปว่างของแบบจำลองแล้ว การแบ่งเป็นชิ้นส่วนย่อยๆ (mesh) จะกระทำการได้โดยอัตโนมัติ

การสร้างชิ้นส่วนย่อยๆ (Mesh) โดยอัตโนมัติ: โปรแกรม PLAXIS จะแบ่งชิ้นส่วนออกเป็นชิ้นส่วนย่อยๆ โดยอัตโนมัติโดยการแบ่งแบบทั้งหมด (global mesh refinement) หรือแบ่งแบบเฉพาะจุด (local mesh refinement) การแบ่งชิ้นส่วนย่อยๆ นี้จะแบ่งชิ้นส่วนออกเป็นสามเหลี่ยม ซึ่งการวิเคราะห์นี้ถูกวิจัยและพัฒนาโดย Sepra

พื้นผิวร่วม (Interfaces): ชิ้นส่วนที่เป็นข้อต่อ (joint element) จำเป็นต้องใช้สำหรับคำนวณแรงปฏิกิริยาระหว่างโครงสร้างกับดิน ซึ่งชิ้นส่วนที่เป็นข้อต่ออาจจะจำลองพุติกرومโดยพิจารณาเป็นชั้นบางๆ ที่สมผัตกับฐานราก เสาเข็ม แผ่นเยสั่งเคราะห์ และกำแพงกันดินเป็นต้น ค่ามุมเสียดทานของพื้นผิวร่วม (interface friction angle) และแรงยึดหน่วง (adhesion) ซึ่งค่าไม่จำเป็นต้องเท่ากับค่ามุมเสียดทานและแรงยึดเกาะ (cohesion) และจะใช้ค่าตัวแปรเหล่านี้ใส่ในชิ้นส่วนที่จำลองไว้

แบบจำลองของมอร์คูลอม (Mohr-Coulomb Model): แบบจำลองนี้เป็นแบบจำลองอย่างง่ายที่เป็นแบบไม่เป็นเส้นตรง (non-linear model) และใช้ค่าตัวแปรต่างๆ ของดินซึ่งนิยมใช้โดยทั่วไป อย่างไรก็ตามแบบจำลองนี้จะไม่สามารถจำลองพุติกرومของดินที่เป็นแบบไม่เป็นเส้นตรงได้ทั้งหมด แบบจำลองของมอร์คูลอมนี้ใช้คำนวณหาค่าหน้างบลัดในโครงสร้างฐาน

หากที่เป็นวงกลม เสาเข็มลับ เป็นต้น และสามารถใช้คำนวนหาอัตราส่วนความปลดภัยโดยใช้วิธีการลดค่ามุมเลี้ยดทานและแรงยึดเกาะ (phi-c reduction) ได้อีกด้วย

แบบจำลองขั้นสูง: นอกจากแบบจำลองของมอร์คูลอมแล้ว โปรแกรม PLAXIS ยังมีแบบจำลองอื่นๆ ให้สามารถเลือกใช้ให้เหมาะสมกับพฤติกรรมของดินแต่ละประเภทอีกด้วย เช่น ดินเหนียวอ่อนประเภท normally consolidated ควรจะเลือกใช้แบบจำลอง cam clay ซึ่งแบบจำลองนี้ใช้ชื่อเรียกในโปรแกรม PLAXIS ว่า “แบบจำลองในขั้นตอนอ่อน (soft soil model)” ในขั้นตอนที่แข็งขึ้น เช่น ดินเหนียวปะการัง overconsolidated และดินทราย ควรจะเลือกแบบจำลองแบบไฮเปอร์โบลิก (hyperbolic model) ซึ่งเรียกในโปรแกรม PLAXIS ว่า “แบบจำลองในขั้นตอนแข็ง (hardening soil model)” ซึ่งรายละเอียดของแบบจำลองเหล่านี้ แสดงไว้ในคู่มือโปรแกรม PLAXIS ส่วนที่เป็นแบบจำลองเกี่ยวกับวัสดุ (material model)

ความดันน้ำในโพรงขณะสมดุล (Steady state pore pressure): มีวิธีการ 2 วิธี ด้วยกันที่จะกรอกข้อมูลเกี่ยวกับแรงดันน้ำในสภาพปกติ ค่าแรงดันน้ำมีการเปลี่ยนแปลงอย่างช้าๆ ข้อน ก็ควรใช้วิธีการวิเคราะห์แบบ 2 มิติ และค่าแรงดันน้ำมีการเปลี่ยนแปลงอย่างง่าย ก็สามารถใช้วิธีการวิเคราะห์แบบใช้เส้นระดับน้ำได้ดี (phreatic lines)

แรงดันน้ำส่วนเกิน (Excess pore pressure): โปรแกรม PLAXIS สามารถที่จะจำลองพฤติกรรมของดินซึ่งน้ำสามารถซึมผ่านได้และน้ำไม่สามารถซึมผ่านได้ ค่าแรงดันน้ำส่วนเกิน จะเกิดขึ้นในดินที่น้ำไม่สามารถซึมผ่านได้ ซึ่งสภาพของดินในลักษณะนี้ใช้ในการตัดสินใจเพื่อวิเคราะห์ณาเสถียรภาพของโครงสร้างทางเทคนิคหรูณี หลังจากที่ทำการวิเคราะห์แล้วพบว่า โครงสร้างไม่มีเสถียรภาพก็จะต้องใช้วิธีการอัดตัวคายน้ำ (consolidation) เพื่อที่จะลดค่าแรงดันน้ำส่วนเกินที่เกิดขึ้น

ขั้นตอนการก่อสร้าง (Stage construction): โปรแกรม PLAXIS สามารถจำลองขั้นตอนการก่อสร้างและทำการอุดได้โดยการเลือกและไม่เลือกชิ้นส่วน (cluster) ที่เขียนไว้ได้ รูปแบบนี้จะทำให้การวิเคราะห์สอดคล้องกับความเป็นจริงมากยิ่งขึ้น

การอัดตัวคายน้ำ (Consolidation): การวิเคราะห์การอัดตัวคายน้ำจะใช้คำนวนในกรณีที่ค่าแรงดันน้ำส่วนเกินมีค่าลดลง ซึ่งในการวิเคราะห์จำเป็นจะต้องใส่ข้อมูลเกี่ยวกับสัมประสิทธิ์การซึมผ่านของน้ำ (permeability coefficient) ในขั้นตอนแต่ละขั้น

การนำเสนอผลงาน: โปรแกรม PLAXIS สามารถนำเสนอผลงานการวิเคราะห์ในด้านค่าของความเด่น การเคลื่อนตัว ค่าแรงในโครงสร้าง ในรูปแบบของรูปภาพ กราฟ และตาราง

ทิศของเครื่องหมาย (Sign convention): โปรแกรม PLAXIS จะใช้ทิศของเครื่องหมายไม่เหมือนที่ใช้ในวิชาทางด้านเทคนิคหรูณี กล่าวคือ ในโปรแกรม PLAXIS ค่าความเด่นที่เป็น

แรงดึง (tensile stress) จะให้เครื่องหมายเป็นบวก ในขณะที่ค่าความเด่นที่เป็นแรงอัด (compression stress) จะให้เครื่องหมายเป็นลบ ซึ่งทิศของเครื่องหมายนี้ครอบคลุมไปถึงค่าแรงดันของน้ำด้วยเช่นกัน

### 3.1.3.2 ขั้นตอนการศึกษา

แบ่งขั้นตอนการศึกษาเป็น 2 ขั้นตอนด้วยกัน

ขั้นตอนแรกเป็นการวิเคราะห์ผลการทดสอบ เพื่อให้ได้ค่า parameter ต่างๆ ที่ต้องนำมาใช้ในการวิเคราะห์การทรุดตัวด้วยโปรแกรม ทางไฟไนท์เอลิเมนต์ซึ่งประกอบด้วยค่าต่างๆ ดังแสดงในตารางที่ 3.2

ขั้นตอนที่สอง เป็นการวิเคราะห์การทรุดตัวด้วยน้ำหนักตัวเอง ด้วยโปรแกรมทางไฟไนท์เอลิเมนต์ และในการวิเคราะห์แต่ละครั้งนั้น กำหนดให้หลุมฝังกลบถูกจำลองด้วยวิธีการทางไฟไนท์เอลิเมนต์ โดยวิเคราะห์แบบ plane strain analysis และโปรแกรมที่ใช้ในการวิเคราะห์ก็คือ โปรแกรม PLAXIS 7.2

การวิเคราะห์จะทำการวิเคราะห์ทั้งในสภาพที่ไม่มีการระบายน้ำและในสภาพที่เกิดกระบวนการอัดตัวอย่างน้ำ โดยไม่พิจารณาถึงผลกระทบของขั้นตอนในการก่อสร้าง กำหนดให้ขนาดของหลุมฝังกลบนั้นมีขนาดเดียวกันทั้งหมด ดังรูปที่ 3.21 โดยมีระดับน้ำได้ดินอยู่ต่ำกว่าก้นหลุม 6 เมตร เพื่อไม่ให้มีผลต่อการวิเคราะห์ และกำหนดให้ชั้นดินที่อยู่กันหลุมฝังกลบมีความแข็งแรงมาก เพื่อให้การทรุดตัวทั้งหมดเกิดขึ้นเนื่องจากภาระของเสียงเพียงอย่างเดียวเท่านั้น สำหรับรูปการแปลงชิ้นส่วนอย่าง (mesh) ทางไฟไนท์เอลิเมนต์แสดงใน รูปที่ 3.22

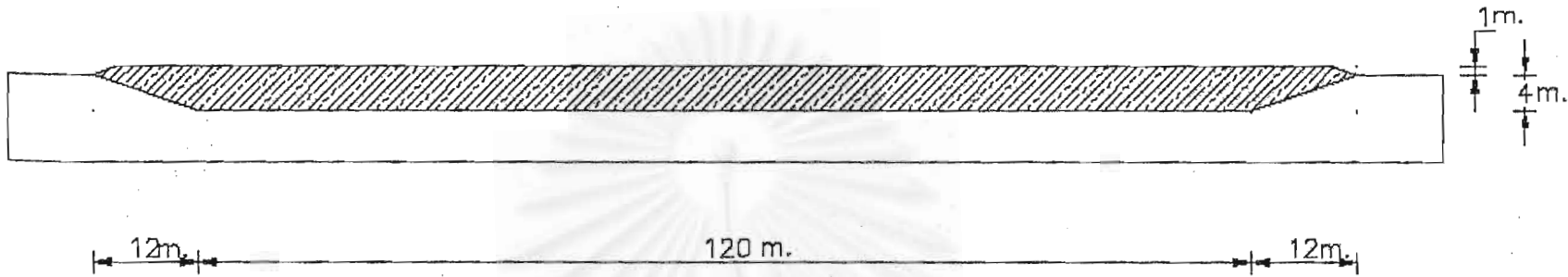
ในการวิเคราะห์ สมมุติให้แบบจำลองของภาระของเสียงบดอัด เป็น Mohr Coulomb model ซึ่งเป็นแบบจำลองนี้เรียกอีกอย่างว่า แบบจำลองที่มีความเป็นพลาสติกสูง (perfect-plasticity model) ความเป็นพลาสติกจะเกี่ยวข้องกับค่าของความเครียดซึ่งไม่เกิดการคืนตัว เพื่อที่จะหาค่าความเป็นพลาสติกว่าเกิดขึ้นหรือไม่ในการคำนวณจึงจำเป็นต้องกำหนด พังก์ชันของยีวาร์ด (yield function, f) ซึ่งเป็นพังก์ชันที่เป็นความสัมพันธ์ระหว่างความเด่นกับความเครียด พังก์ชันของยีวาร์ด คือ พื้นที่พิวของบริเวณความเด่นหลัก (principal stress) แบบจำลองที่มีความเป็นพลาสติกสูง คือ แบบจำลองที่มีพื้นที่ผิวที่เกิดยีวาร์ดที่แน่นอน ซึ่งพื้นผิวที่เกิดยีวาร์ดนี้เกิดขึ้นโดยใช้ค่าตัวแปรต่างๆ ในติดในกระบวนการหา และไม่มีผลกระทบเนื่องมาจากความเครียด สำหรับกรณีที่พิจารณาถึงความเด่น ซึ่งแทนที่ด้วยจุดต่างๆ ภายในพื้นผิวที่เกิดยีวาร์ด ค่าพฤติกรรมของดินก็จะเกิดความยืดหยุ่นเพียงอย่างเดียว (purely elastic) และความเครียดสามารถคืนตัวได้ แบบจำลองนี้เป็นแบบจำลองที่รู้จักกัน

อย่างแพร่หลายในการจำลองพฤติกรรมของดินโดยทั่วไป แบบจำลองนี้มีตัวแปร 5 ค่าด้วยกัน คือ เม็ดลักษณะยัง (Young's modulus, E) อัตราส่วนปัวซอง (Poisson's ratio, V) ค่าแรงยึดเกาะ (Cohesion, c) ค่ามุมเสียดทาน (friction angle,  $\phi$ ) และค่า dilatancy angle,  $\Psi$

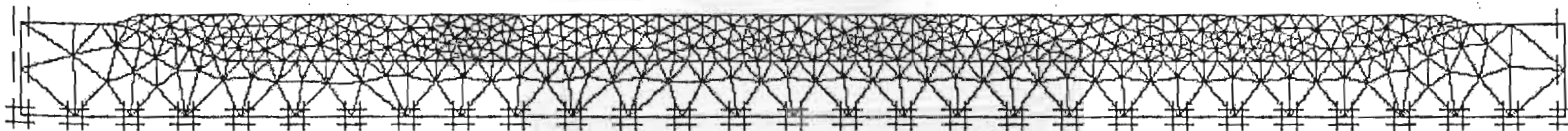
ตารางที่ 3.2 แสดง parameter ที่ได้มาจากการทดสอบในห้องปฏิบัติการและที่มาเพื่อนำไปใช้ในวิเคราะห์ด้วยโปรแกรมทางไฟฟ้าที่อิเล็กทรอนิกส์

ลำดับที่	Parameter	ที่มา
1	Dry unit weight, $\gamma_{dry}$	การทดสอบการบดอัด (Compaction Test) โดยเลือกใช้ Maximum dry unit weight
2	Wet unit weight, $\gamma_{wet}$	การทดสอบการบดอัด (Compaction Test)
3	Cohesion intercept, c	การทดสอบกำลังรับแรงเฉือน (Direct Shear Test)
4	Friction angle, $\phi$	การทดสอบกำลังรับแรงเฉือน (Direct Shear Test)
5	Permeability, k	การทดสอบความสามารถในการหลีกชื้น (Permeability Test)
6	Drained Young's Modulus, $E'$	การทดสอบการอัดตัวคายน้ำ (Consolidation Test) โดยหาค่า Constrain Modulus, D แล้วปรับแก้ด้วย Poisson's ratio จะได้ Drained Young's Modulus, $E'$

ส่วนดินที่รองรับภาระของสิ่งอยู่ใต้หลุมฝังกลบนั้น เป็นแบบจำลองแบบ Linear elastic model ซึ่งในการวิเคราะห์แบบจำลองนี้ใช้กฎของฮูค (Hooke's law) ในช่วงที่มีความยึดหยุ่น เป็นเส้นตรง แบบจำลองจะใช้ค่าตัวแปร 2 ค่าด้วยกัน คือ ค่าเม็ดลักษณะยัง (Young's modulus, E) และค่าอัตราส่วนปัวซอง (Poisson's ratio, V) การประยุกต์ใช้แบบจำลองนี้ข้อจำกัดมากในการจำลองพฤติกรรมของดิน ซึ่งจะนิยมใช้มากในโครงสร้างของดินที่มีความแข็งแรงพอสมควร

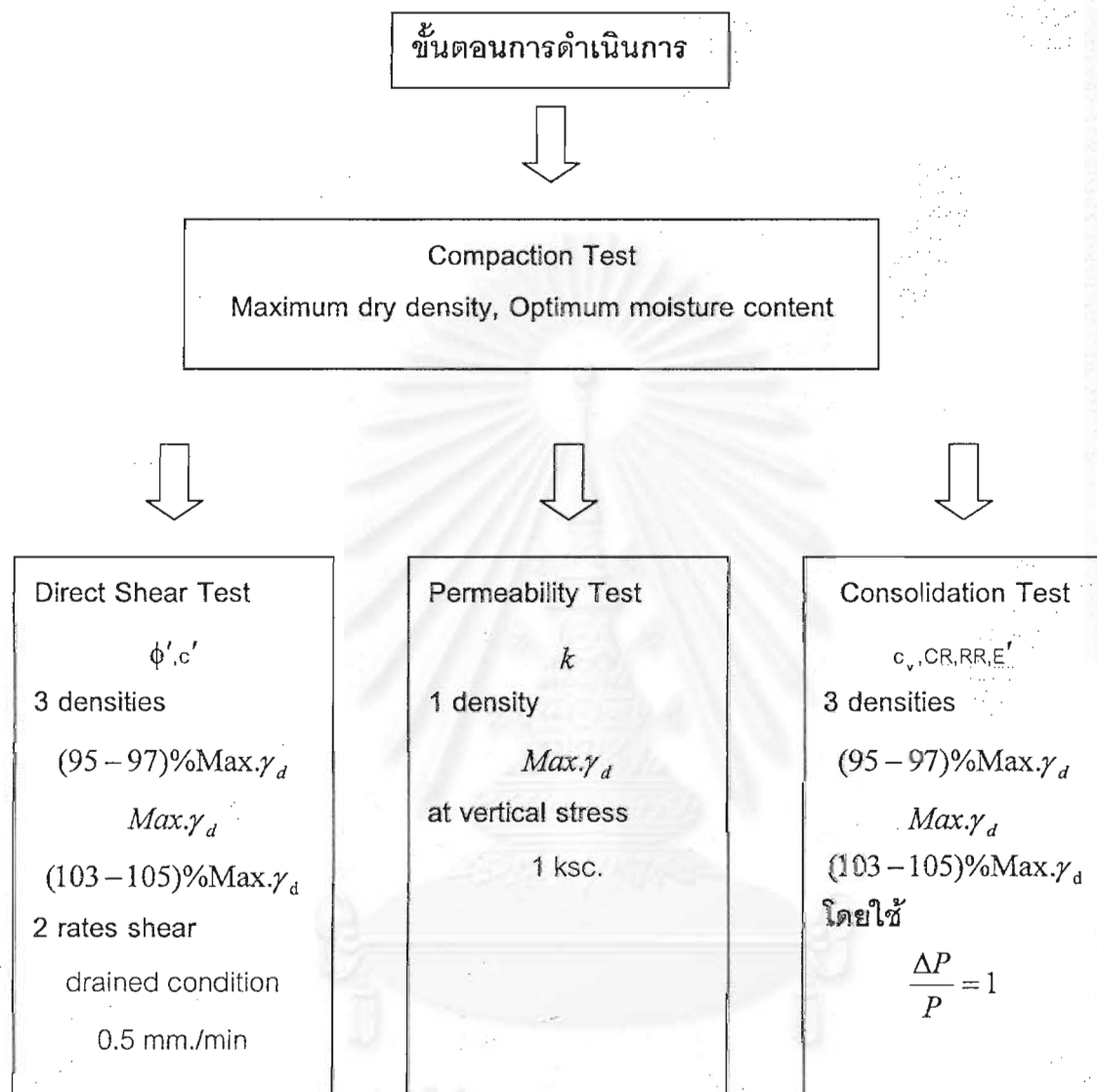


รูปที่ 3.21 ขนาดของหลุมผึ้งกลบกากของเสียที่ใช้ในการวิเคราะห์ด้วยโปรแกรม PLAXIS



รูปที่ 3.22 ขนาดของ mesh ที่ใช้ในการวิเคราะห์ด้วยโปรแกรม PLAXIS

### 3.2 แผนผังขั้นตอนการศึกษาวิจัย



วิเคราะห์ vertical settlement และ differential settlement ด้วยโปรแกรมไฟฟ้าที่อิลีเมนต์ เพื่อหาการจัดเรียงกากของเสียภายในหลุมฝังกลบที่เหมาะสมที่สุดที่ทำให้เกิด differential settlement น้อยที่สุด

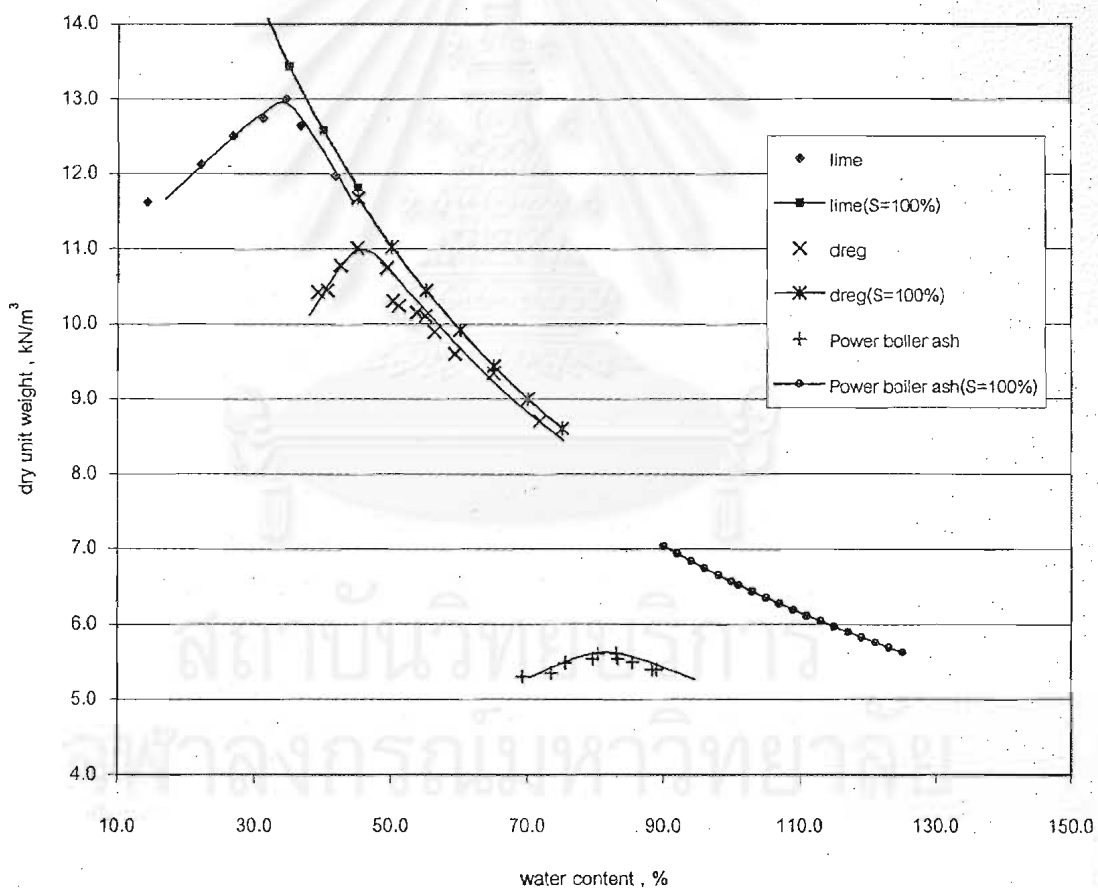
รูปที่ 3.23 สรุปขั้นตอนการดำเนินงานวิจัย

## บทที่ 4

### ผลการทดสอบและการวิเคราะห์

#### 4.1 ผลการทดสอบหาความหนาแน่นแห้งสูงสุดและความชื้นที่เหมาะสมของภาคของเสียด้วยวิธี Standard Proctor Compaction Test

การทดลองนี้มีจุดประสงค์เพื่อต้องการหาความหนาแน่นแห้งสูงสุดและปริมาณความชื้นที่เหมาะสมของภาคของเสีย โดยจะนำไปใช้ในการเติร์ยมตัวอย่างทดลองในหัวข้อถัดไป ผลการทดลองแสดงดังรูปที่ 4.1 และตารางที่ 4.1



รูปที่ 4.1 ความสัมพันธ์ระหว่างความหนาแน่นแห้งและปริมาณความชื้นในการทดสอบด้วยภาคของเสียด้วยวิธี Standard Proctor Compaction Test

ตารางที่ 4.1 แสดงผลการทดสอบดั้งเดิมของเสียด้วยวิธี Standard Proctor Compaction Test

ชนิดของ กากของเสีย	$G_s$	ความหนาแน่นแห้ง <sup>สูงสุด</sup> , kN/m <sup>3</sup>	ปริมาณความชื้น <sup>ที่เหมาะสม</sup> , %	ปอร์เชนต์ การอิ่มตัวด้วยน้ำ
Lime Mud	2.631	13.0	33	86
Dreg	2.565	11.0	43	90
Power boiler ash	2.024	5.6	83	65

จากผลการทดสอบ พบว่า Lime Mud มีค่าความหนาแน่นแห้งสูงสุด มากกว่า Dreg และ power boiler ash ตามลำดับ ส่วนปอร์เชนต์การอิ่มตัวด้วยน้ำนั้น power boiler ash มีค่าน้อยมากเนื่องมาจากการ power boiler มีลักษณะคล้ายถ่านแกแลบ น้ำหนักค่อนข้างเบา ขนาดอนุภาคค่อนข้างใหญ่เท่า ๆ กัน ดังนั้นมีขอบดัดแปลง กึ่งคงมีช่องว่างอยู่มาก และน้ำไม่สามารถเข้าไปแทนที่ช่องว่างได้ทั้งหมดเนื่องจากน้ำจะหล่อออกจากการอิ่มตัวอย่างเวลาที่ทำการทดสอบ ทำให้ภาพการทดสอบค่อนข้างห่างจากเส้น zero air void

#### 4.2 ผลการทดสอบกำลังรับน้ำหนักของกากของเสียบดด

การทดสอบกำลังรับน้ำหนัก โดย Direct Shear Test เพื่อหาค่า cohesion intercept และ friction angle โดยในการทดสอบแต่ละตัวอย่าง ใช้ความหนาแน่นแห้งแตกต่างกัน 3 ค่าซึ่งได้มาจาก การทดสอบการบดดัด โดยใช้อัตราการเฉือน 2 ค่า ค่าแรกเป็นค่าที่ทำให้ตัวอย่างอยู่ในสภาพระนาบยืน ซึ่งคำนวณได้จากมาตรฐาน ASTM D: 3060-90 ส่วนอีกค่าหนึ่ง คือ 0.5 นม./นาที

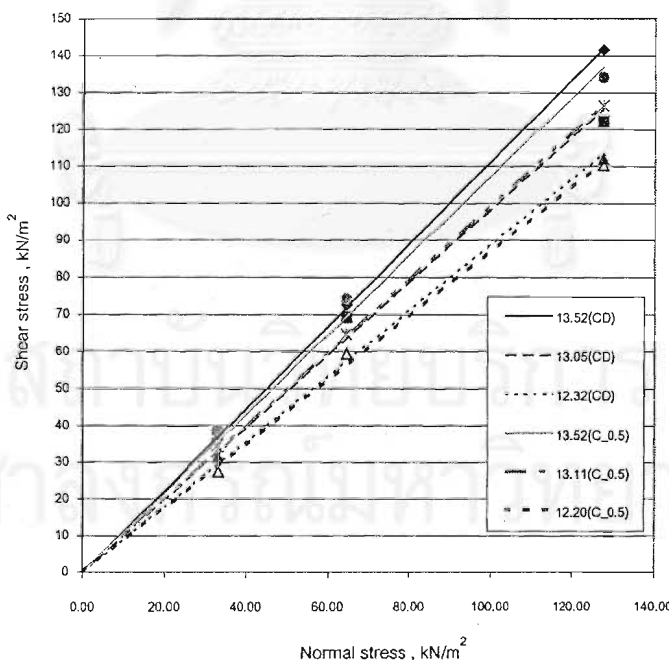
##### 4.2.1 ผลการทดสอบหาค่า cohesion intercept และ friction angle โดยการทดสอบ Direct shear

ผลการทดสอบแสดงค่า cohesion intercept และค่า friction angle ของแต่ละตัวอย่างทั้ง 3 ความหนาแน่นแห้งทั้ง 2 อัตราการเฉือน สรุปได้ดังตารางที่ 4.2 และรูปที่ 4.2, 4.3 และ 4.4

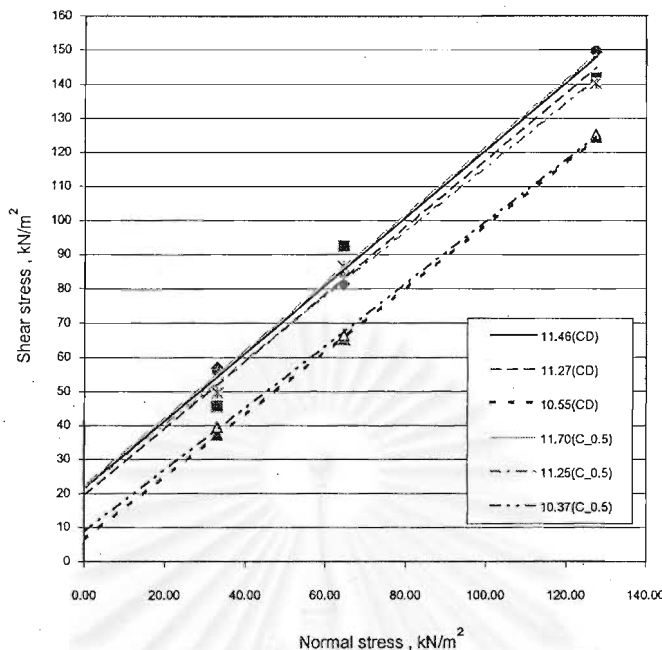
ตารางที่ 4.2 สรุปผลการทดสอบกำลังรับน้ำหนักของภาคของเสียทั้ง 3 ชนิด

type of sample	Ave.dry unit weight , (kN/m <sup>3</sup> )	Ave.moisture content , %	Cohesion intercept (kN/m <sup>2</sup> ) / Friction angle		
			C_0.5*	CD	
Lime	13.52	33.00	0.00	47.12°	0.00
	13.12	31.91	0.00	44.94°	0.00
	12.24	32.01	0.00	41.19°	0.00
Dreg	11.53	42.18	22.15	44.88°	21.52
	11.18	43.05	21.39	43.36°	19.39
	10.33	39.46	8.82	42.33°	6.25
Power boiler ash	5.84	81.83	23.01	44.69°	26.31
	5.60	82.11	11.17	43.56°	16.01
	5.16	81.85	10.07	39.01°	9.21

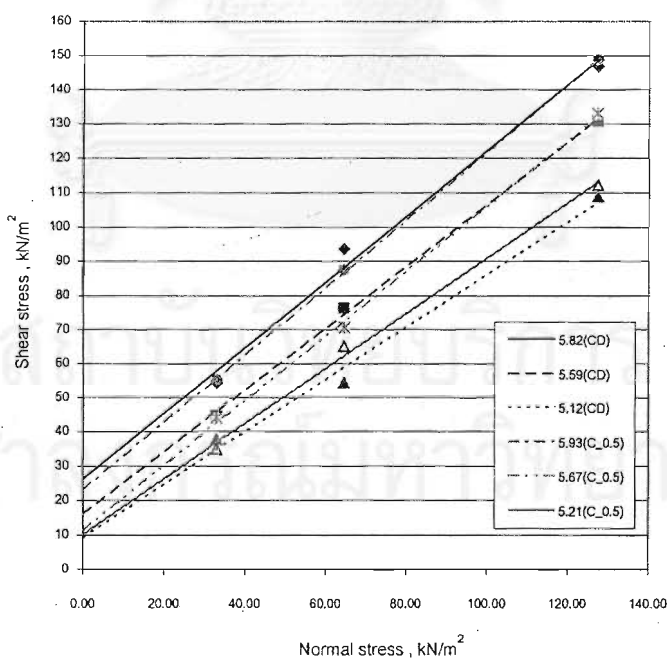
\* หมายเหตุ ทดสอบในสภาพ consolidation ด้วยอัตราการเฉือน 0.5 มม./นาที



รูปที่ 4.2 ความสัมพันธ์ระหว่าง shear stress และ normal stress ของ Lime Mud ที่ความหนาแน่นแห้งต่าง ๆ ทั้งอัตราการเฉือน 0.5 มม./นาที และอัตราการเฉือนที่ทำให้เกิดการระบายน้ำ



รูปที่ 4.3 ความสัมพันธ์ระหว่าง shear stress และ normal stress ของ Dreg ที่ความหนาแน่นแห้งต่าง ๆ ทั้งอัตราการเฉือน 0.5 มม./นาที และอัตราการเฉือนที่ทำให้เกิดการระบายน้ำ



รูปที่ 4.4 ความสัมพันธ์ระหว่าง shear stress และ normal stress ของ Power boiler ash ที่ความหนาแน่นแห้งต่าง ๆ ทั้งอัตราการเฉือน 0.5 มม./นาที และอัตราการเฉือนที่ทำให้เกิดการระบายน้ำ

## วิเคราะห์ผลการทดสอบ

จากผลการทดสอบกำลังการรับน้ำหนักของ Lime Mud ที่ความหนาแน่นแห้งต่าง ๆ โดยใช้อัตราการเฉือน 2 ค่า คือ 0.0143 มม./นาที ซึ่งเป็นอัตราการเฉือนที่ทำให้เกิดสภาพระยะน้ำทัน (คำนวน rate shear จากมาตรฐาน ASTM D: 3060-90) และ 0.5 มม./นาที พบว่า Lime Mud ไม่มีค่า cohesion intercept และเมื่อความหนาแน่นมากขึ้นจะทำให้ค่า friction angle มากขึ้น นอกจากนี้ยังพบว่าการทดสอบที่อัตราการเฉือน 0.0143 มม./นาที และ 0.5 มม./นาที แบบไม่ได้ให้ผลที่ต่างกันเลย นั่นแสดงว่าอัตราการเฉือนไม่มีผลต่อพุติกรรมการรับน้ำหนักของภาคของเสียชนิดนี้ จึง hac ความสัมพันธ์ระหว่างความหนาแน่นแห้งทั้งหมด กับ friction angle ดังแสดงในรูปที่ 4.5 เพื่อหาค่า friction angle ในกรณีนำไปวิเคราะห์การทรุดตัวของหลุมฝังกลบภาคของเสียในหัวข้อ 4.5 ต่อไป โดยสมมุติว่า Lime Mud ถูกบดขัดที่ความหนาแน่นแห้งสูงสุด คือ  $13 \text{ kN/m}^3$  ที่ปริมาณความชื้น 33% และจากกราฟรูปที่ 4.5 ทำให้สามารถประมาณค่า friction angle ได้เท่ากับ  $44.8^\circ$

จากผลการทดสอบกำลังรับน้ำหนักของ Dreg ที่มีความหนาแน่นแห้ง ต่าง ๆ โดยใช้อัตราการเฉือน 2 ค่า คือ 0.0083 มม./นาที ซึ่งเป็นอัตราการเฉือนที่ทำให้เกิดสภาพระยะน้ำทัน (คำนวน rate shear จากมาตรฐาน ASTM D: 3060-90) และ 0.5 มม./นาที พบว่า เมื่อความหนาแน่นมากขึ้นจะทำให้ค่า cohesion intercept และ friction angle มากขึ้น นอกจากนี้ยังพบว่าการทดสอบที่อัตราการเฉือน 0.0083 มม./นาที และ 0.5 มม./นาที แบบไม่ได้ให้ผลที่ต่างกันเลย นั่นแสดงว่า อัตราการเฉือนไม่มีผลต่อพุติกรรมการรับน้ำหนักของภาคของเสียชนิดนี้ จึง hac ความสัมพันธ์ระหว่างความหนาแน่นแห้งทั้งหมด กับ friction angle ดังแสดงในรูปที่ 4.5 และความหนาแน่นแห้งทั้งหมด กับ cohesion intercept แสดงในรูปที่ 4.6 เพื่อหาค่า friction angle และ cohesion intercept ในกรณีนำไปวิเคราะห์การทรุดตัวของหลุมฝังกลบภาคของเสียในหัวข้อ 4.5 ต่อไป โดยสมมุติว่า Dreg ถูกบดขัดที่ความหนาแน่นแห้งสูงสุด คือ  $11 \text{ kN/m}^3$  ที่ปริมาณความชื้น 43% และจากกราฟรูปที่ 4.5 และ 4.6 ทำให้สามารถประมาณค่า friction angle ได้เท่ากับ  $43.7^\circ$  cohesion intercept เท่ากับ  $15.3 \text{ kN/m}^3$

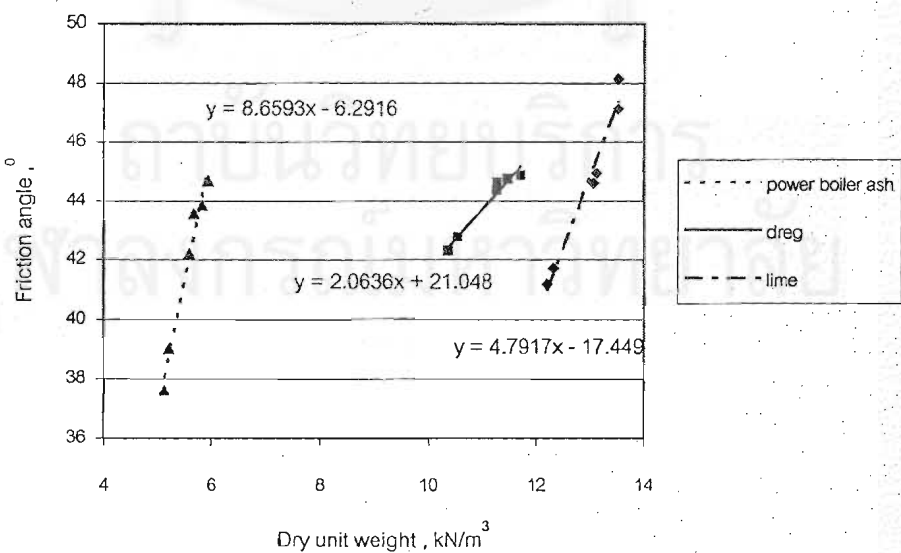
จากผลการทดสอบกำลังรับน้ำหนักของ Power boiler ash ที่มีความหนาแน่นแห้งต่าง ๆ โดยใช้อัตราการเฉือน 2 ค่า คือ 0.0221 มม./นาที ซึ่งเป็นอัตราการเฉือนที่ทำให้เกิดสภาพระยะน้ำทัน (คำนวน rate shear จากมาตรฐาน ASTM D: 3060-90) และ 0.5 มม./นาที พบว่า เมื่อความหนาแน่นมากขึ้นจะทำให้ค่า cohesion intercept และ friction angle มากขึ้น และการทดสอบที่อัตราการเฉือน 0.0221 มม./นาที และ 0.5 มม./นาที แบบไม่ได้ให้ผลที่ต่างกันเลย นั่นแสดง

ว่า อัตราการเฉือนไม่มีผลต่อพฤติกรรมการรับน้ำหนักของกากของเสียชนิดนี้ เช่นเดียวกับ Lime Mud และ Dreg จึงหาความสัมพันธ์ระหว่างความหนาแน่นแห้งทั้งหมด กับ friction angle ดังแสดงในรูปที่ 4.5 และความหนาแน่นแห้งทั้งหมด กับ cohesion intercept ดังแสดงในรูปที่ 4.6 เพื่อหาค่า friction angle และ cohesion intercept ในกรณีนำไปใช้ตรวจสอบด้วยตัวของลุมฝังกลบกากของเสียในหัวข้อ 4.5 ต่อไป โดยสมมุติว่า Power boiler ash ถูกทดสอบด้วยความหนาแน่นแห้งสูงสุด คือ  $5.6 \text{ kN/m}^3$  ที่ปริมาณความชื้น 83% และจากกราฟรูปที่ 4.5 และ 4.6 ทำให้สามารถประมาณค่า friction angle ได้เท่ากับ  $42.2^\circ$  cohesion intercept เท่ากับ  $16.8 \text{ kN/m}^2$

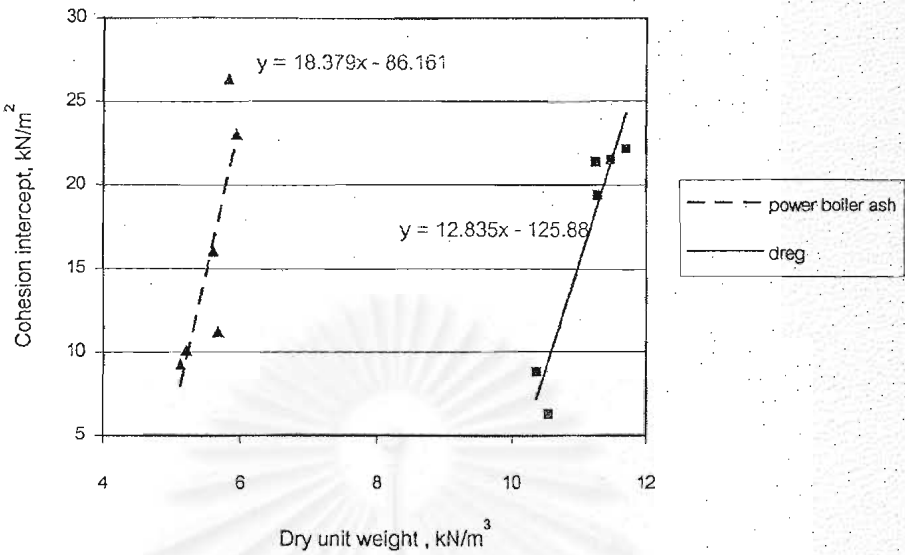
ดังนั้นสรุปได้ว่า Power boiler ash ให้ค่า cohesion intercept มากที่สุดคือ  $16.8 \text{ kN/m}^2$  รองลงมาคือ Dreg สำน Lime Mud นั้นไม่มีค่า cohesion intercept เลย และหากของเสียทั้ง 3 ชนิดมีค่า friction angle ไม่ต่างกันมากนัก โดย Lime Mud มีค่า friction angle มากกว่า Dreg และ Power boiler ash ตามลำดับ โดยสรุปไว้ในตารางที่ 4.3

ตารางที่ 4.3 สรุปค่า cohesion intercept และ friction angle ของกากของเสียบดัดที่ความหนาแน่นแห้งสูงสุดจากการทดสอบการดัด

Type of sample	Cohesion intercept, $\text{kN/m}^2$	Friction angle
Lime Mud	0	$44.8^\circ$
Dreg	15.3	$43.7^\circ$
Power boiler ash	16.8	$42.2^\circ$



รูปที่ 4.5 ความสัมพันธ์ระหว่าง dry unit weight กับ friction angle ของกากของเสียทั้ง 3 ชนิด



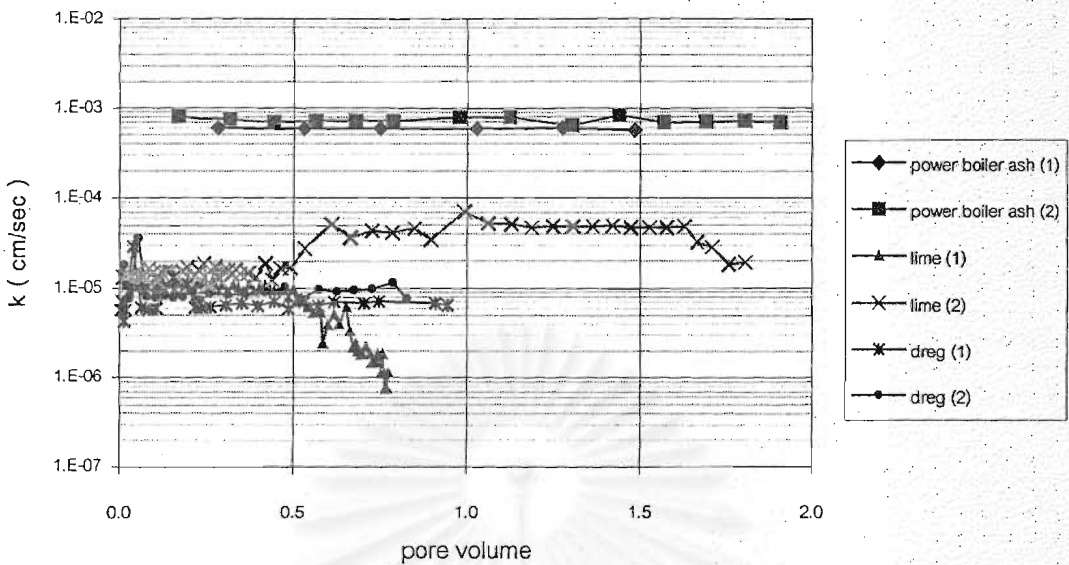
รูปที่ 4.6 ความสัมพันธ์ระหว่าง dry unit weight กับ cohesion intercept ของกากของเสียทั้ง 3 ชนิด

#### 4.3 ผลการทดสอบความสามารถในการซึมผ่านของกากของเสียบดอต

การทดสอบความสามารถในการซึมผ่านของกากของเสียบดอต เพื่อหาค่า permeability , k โดยทำการทดสอบตัวอย่างละ 2 ครั้ง โดยใช้ความหนาแน่นแห้งสูงสุดที่ได้จากการทดสอบการบดอต และให้ vertical stress เท่ากับ 1 กก./ซม.<sup>2</sup> นำผลการทดสอบมาเขียนกราฟแสดงความสัมพันธ์ระหว่าง permeability กับ pore volume ดังรูปที่ 4.7

#### วิเคราะห์ผลการทดสอบ

จากการทดสอบ พบว่า Power boiler ash ให้ค่า permeability สูงที่สุด ประมาณ  $6.5 \times 10^{-4}$  cm./sec ซึ่งถือว่ามีอัตราการซึมผ่านค่อนข้างสูง ส่วน Dreg มีค่า permeability ประมาณ  $8 \times 10^{-6}$  cm./sec ส่วน Lime Mud นั้นเนื่องจากน้ำในร่องแทะของกากของเสียบดอตมาก็จะต้องผ่านช่องแคบและต้องผ่านช่องแคบซึ่งทำให้ค่า permeability ต่ำกว่าค่าของ Power boiler ash และต่ำกว่าค่าของ Dreg มาก แต่หากน้ำในร่องแทะน้อยลงหรืออาจไม่มีน้ำ ก็จะไม่สามารถซึมผ่านช่องแคบได้ ทำให้ค่า permeability ลดลง อาจเนื่องมาจากมีปฏิกิริยาเคมีเกิดขึ้นส่วนในกรณีที่ค่า k มากขึ้น อาจเนื่องมาจากเกิดช่องทางเดินของน้ำขึ้น



รูปที่ 4.7 ความสัมพันธ์ระหว่าง permeability กับ pore volume ของกากของเสียทั้ง 3 ชนิด

ในการเลือกค่า  $k$  เพื่อนำมาวิเคราะห์การทรุดตัวของหลุมฝังกลบกากของเสียนั้น เลือกใช้ ค่า  $k$  ที่ได้จากการทดสอบที่อยู่ในช่วงคงที่ นั่นคือ  $6.5 \times 10^{-4}$ ,  $8 \times 10^{-6}$  และ  $1 \times 10^{-5}$  ของ Power boiler ash, Dreg และ Lime Mud ตามลำดับ โดยถูกกดทับด้วย vertical stress เท่ากับ  $1 \text{ กก./ซม.}^2$  ซึ่งในการวิเคราะห์การทรุดตัวแรงดันกดทับอาจไม่เท่ากับ  $1 \text{ กก./ซม.}^2$  ก็ตาม เนื่องจากค่า  $k$  ไม่ได้มีผลต่อปริมาณการทรุด แต่จะมีผลต่อระยะเวลาการทรุดตัวเท่านั้น จึงใช้ค่า  $k$  ที่ได้จากการทดสอบนี้ ถือว่าเพียงพอและสามารถใช้ได้โดยไม่จำเป็นต้องทำการทดสอบเพิ่มเติม

#### 4.4 ผลการทดสอบสมบัติด้านการเคลื่อนตัวของกากของเสียบดดัด

การทดสอบสมบัติด้านการเคลื่อนตัว โดยการทดสอบ Consolidation Test เพื่อหาค่า parameter ต่าง ๆ ได้แก่ Coefficient of Consolidation ( $C_v$ ), Compression Ratio(CR), Recompression Ratio(RR) และ หน่วยแรงสูงสุดในอดีต (Maximum stress history( $\sigma_{vm}$ )) และ Drained Young's Modulus ใน การทดสอบแต่ละตัวอย่าง ใช้ความหนาแน่นแตกต่างกัน 3 ค่าซึ่งได้มาจากการทดสอบการบดดัด และนำ parameter ต่าง ๆ นำมาสรุปได้ดังตารางที่ 4.4

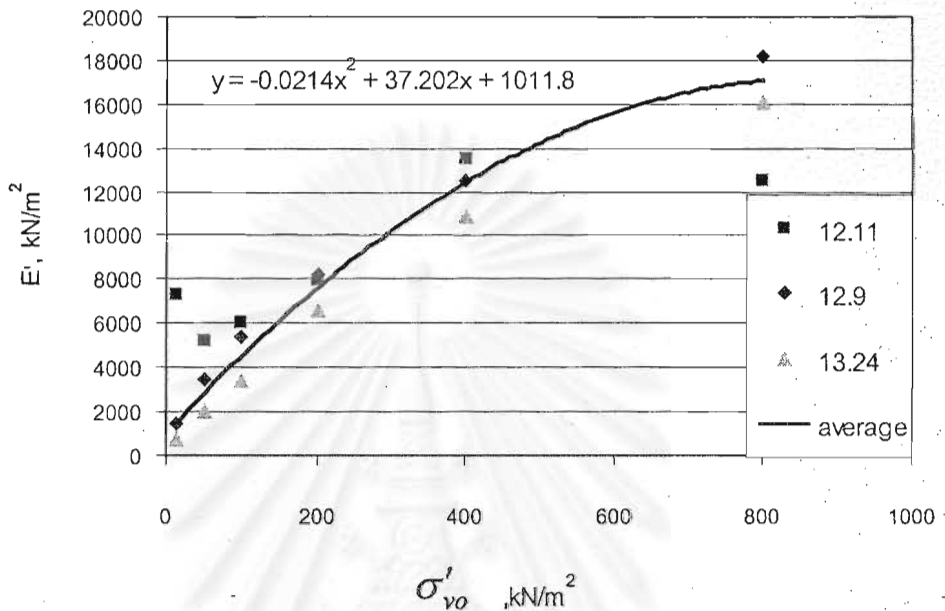
ตารางที่ 4.4 สรุป parameter ที่ได้จากการทดสอบ Consolidation Test

Type of sample	Dry unit weight kN/m <sup>3</sup>	$e_0$	$\sigma_{\text{v}m}$ kN/m <sup>2</sup>	RR	CR	$C_v \times 10^4$ cm <sup>2</sup> /sec
Lime Mud	13.238	0.9493	400	0.0341	0.0534	0.807-1.626
	12.900	1.0003	340	0.0392	0.0539	0.455-1.723
	12.113	1.1304	300	0.0365	0.0782	0.703-1.190
Dreg	11.315	1.2235	410	0.0299	0.0771	0.588-0.829
	11.023	1.2825	350	0.0351	0.0644	0.597-1.339
	10.522	1.3910	420	0.0320	0.0861	0.822-1.407
Power boiler ash	5.929	2.5159	380	0.0142	0.0822	5.829-7.960
	5.638	2.6973	370	0.0414	0.1723	5.052-7.932
	5.264	2.9600	260	0.0671	0.2288	5.892-7.960

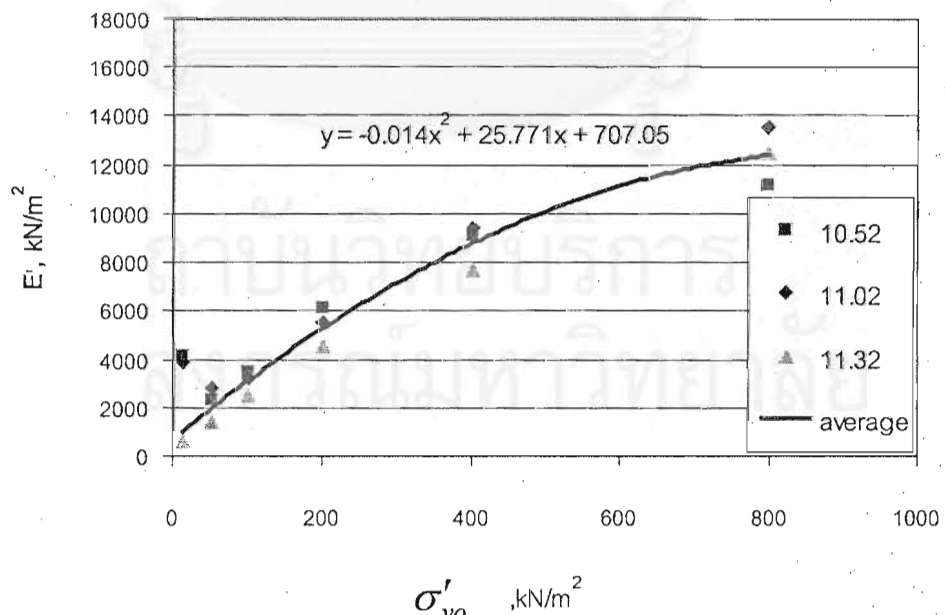
### วิเคราะห์ผลการทดสอบ

จากการทดสอบพบว่า ในช่วงที่ vertical stress น้อย ๆ (ช่วง OC) Power boiler มีการทรุดตัวน้อยที่สุด (เปรียบเทียบกับ vertical stress เดียวกัน) เนื่องจากมีค่า RR ต่ำที่สุด ส่วนในช่วงที่ vertical stress สูงขึ้น (ช่วง NC) Power boiler ash กลับมีค่าสูงขึ้น และสูงมากกว่า Lime Mud และ Dreg อ่อนมาก (เปรียบเทียบกับ vertical stress เดียวกัน) สังเกตจากค่า CR สูงมากเนื่องมาจากการที่ Power boiler ash มีช่องว่างอยู่มากและจะต้องมี vertical stress สูงเท่านั้นมาก กระทำจึงจะทำให้ช่องว่างลดลงได้ เพราะฉะนั้น การวาง Power boiler ash ไว้ที่ก้นหลุมฝังกลบ จะทำให้เกิด vertical settlement สูง ส่วน Lime Mud และ Dreg นั้น ในช่วงที่ vertical stress น้อย ๆ น่าจะเกิดการทรุดตัวที่แตกต่างกันเล็กน้อยโดยที่ Lime Mud เกิดการทรุดตัวมากกว่า Dreg (เปรียบเทียบกับ vertical stress เดียวกัน) แต่การทรุดตัวที่เกิดขึ้น ในช่วงที่ vertical stress สูง ๆ นั้น Dreg น่าจะเกิดการทรุดตัวมากกว่า Lime Mud (เปรียบเทียบกับ vertical stress เดียวกัน) เนื่องจากมีค่า CR สูงกว่าดังนั้น Dreg หรือ Lime Mud น่าจะอยู่กันหลุมจึงจะเหมาะสมที่สุด แต่การทรุดตัวยังขึ้น กับ vertical stress ด้วย ดังนั้นจึงต้องทำการวิเคราะห์ต่อไปในหัวข้อ 4.5

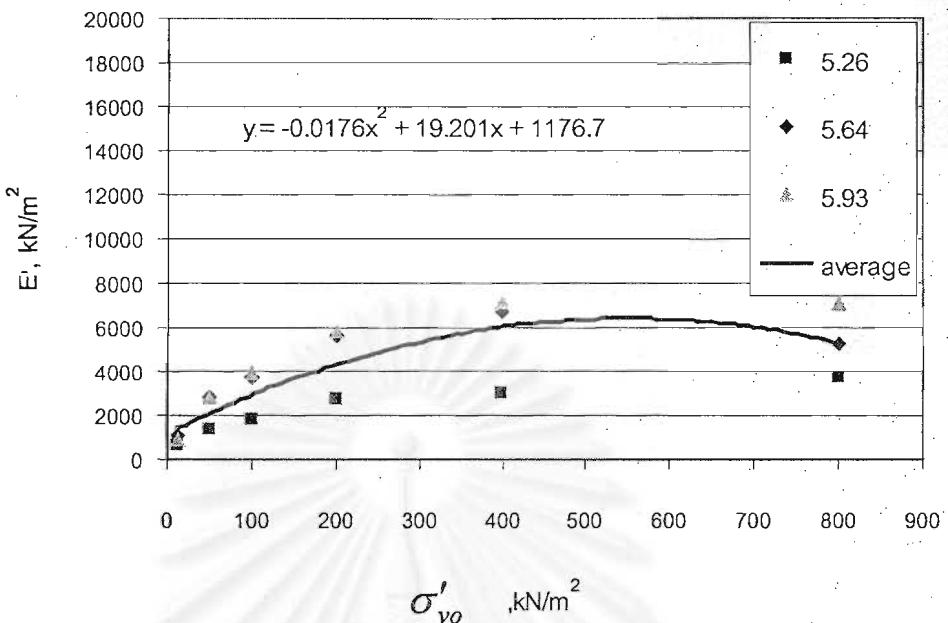
ส่วนผลการทดสอบเพื่อหาค่า Drained Young's Modulus ซึ่งขึ้นกับค่า  $\sigma'_{vo}$  และนำค่าที่ได้มาสรุปดังรูปที่ 4.8, 4.9 และ 4.10 เพื่อสำหรับประมาณค่า  $E'$  ที่ใช้การวิเคราะห์การทรุดตัวในข้อ 4.5 ต่อไป



รูปที่ 4.8 ความสัมพันธ์ระหว่าง  $E'$  กับ  $\sigma'_{vo}$  ของ Lime Mud ที่ความหนาแน่นแห้งต่าง ๆ กัน



รูปที่ 4.9 ความสัมพันธ์ระหว่าง  $E'$  กับ  $\sigma'_{vo}$  ของ Dreg ที่ความหนาแน่นแห้งต่าง ๆ กัน



รูปที่ 4.10 ความสัมพันธ์ระหว่าง  $E'$  กับ  $\sigma'_{vo}$  ของ Power boiler ash ที่ความหนาแน่นแห้งต่าง ๆ กัน

#### วิเคราะห์ผลการทดสอบ

จากผลการทดสอบ เพื่อหาค่า ของ Lime Mud ที่มีความหนาแน่นต่าง ๆ พบร่วม เมื่อ  $\sigma'_{vo}$  มากขึ้นส่งผลให้ค่า  $E'$  มีค่าเพิ่มมากขึ้นเมื่อนдинทั่วไป และจากการฟูปที่ 4.8 พบร่วม ค่า  $E'$  ของ Lime Mud ที่ใช้อยู่ในช่วง  $12.11 - 13.24 \text{ kN/m}^3$  แต่ค่า  $E'$  ของ Lime Mud ที่ต้องการใช้ ในการวิเคราะห์ด้วยโปรแกรมไฟโนวิลีเมนต์นั้นต้องบดอัดที่ความหนาแน่นแห้ง  $13 \text{ kN/m}^3$  จึงใช้ค่า กกลาง ๆ ที่มาจากการเฉลี่ยที่ความหนาแน่นแห้งในช่วง  $12.11 - 13.24 \text{ kN/m}^3$  ได้เป็นสมการ 4.1 เพื่อสะดวกต่อการนำไปใช้

$$y = -0.0214x^2 + 37.202x + 1011.8 \quad \dots\dots(4.1)$$

โดยที่  $y$  คือ  $E'$  ส่วน  $x$  คือ  $\sigma'_{vo}$

สำหรับค่า  $E_{50}$  ของ Dreg และ Power boiler ash นั้นมีลักษณะคล้ายกับ Lime Mud เช่นกัน ดีอค่า  $E'$  ของ Dreg ที่มีความหนาแน่นแห้ง  $11 \text{ kN/m}^3$  ใช้ค่ากลาง ๆ ที่มาจากการ

เฉลี่ยที่ความหนาแน่นแห้งในช่วง  $10.52-11.32 \text{ kN/m}^3$  ซึ่งได้สมการ 4.2 เพื่อความสะดวกในการนำไปใช้

$$y = -0.014x^2 + 25.771x + 707.05 \quad \dots\dots(4.2)$$

โดยที่  $y$  คือ  $E'$  ส่วน  $x$  คือ  $\sigma'_{\text{vo}}$

ส่วน ค่า  $E'$  ของ Power boiler ash ที่มีความหนาแน่นแห้ง  $5.6 \text{ kN/m}^3$  ใช้ค่ากลาง ๆ ที่มาจากการเฉลี่ยที่ความหนาแน่นแห้งในช่วง  $5.26-5.93 \text{ kN/m}^3$  ได้สมการ 4.3 ซึ่งพบว่า Power boiler ash มีค่าตัวที่สุด และ Lime Mud จะให้ค่า  $E'$  สูงกว่า Dreg ที่  $\sigma'_{\text{vo}}$  เดียวกัน

$$y = -0.0176x^2 + 19.201x + 1176.7 \quad \dots\dots(4.3)$$

โดยที่  $y$  คือ  $E'$  ส่วน  $x$  คือ  $\sigma'_{\text{vo}}$

#### 4.5 ผลการวิเคราะห์ vertical settlement และ differential settlement ของหลุมฝังกลบกากของเสียบดอัด ด้วยโปรแกรม PLAXIS

ขั้นแรกเป็นการสรุป parameter ต่าง ๆ ที่ต้องนำมาใช้ในการวิเคราะห์ vertical settlement และ differential settlement จากการทดสอบในหัวข้อ 4.1-4.3 นำมาสรุปได้ดังตารางที่ 4.5 สำหรับที่สองเป็นการวิเคราะห์ vertical settlement และ differential settlement ของกากของเสียที่มีวิธีการเรียงต่าง ๆ กันไป เพื่อหาวิธีการเรียงกากของเสีย ที่มี Maximum Differential settlement น้อยที่สุดเพื่อนำไปใช้จริงในสนามให้เกิดความเหมาะสมที่สุดและไม่ให้เกิดอันตรายต่อโครงสร้างต่าง ๆ ด้านบนหลุมฝังกลบกากของเสีย

ตารางที่ 4.5 สรุป parameter นำไปใช้เคราะห์ด้วยโปรแกรม PLAXIS

Parameter	Lime Mud	Dreg	Power boiler ash
Dry unit weight, $\gamma_{dry}$ (kN/m <sup>3</sup> )	13.00	11.00	5.6
Wet unit weight, $\gamma_{wet}$ (kN/m <sup>3</sup> )	17.29	15.84	10.24
Cohesion intercept, c (kN/m <sup>2</sup> )	1	15.3	16.8
Friction angle, $\phi$ °	44.8	43.7	42.2
Permeability, k (cm/sec)	$1 \times 10^{-5}$	$8 \times 10^{-6}$	$6.5 \times 10^{-4}$
Drained Young's modulus, (kN/m <sup>2</sup> )	สมการ 4.1	สมการ 4.2	สมการ 4.3

จากผลการวิเคราะห์ วิธีการเรียงกากของเสียโดยการทดลองสุมการจัดเรียงด้วยวิธีต่าง ๆ คือ เรียงด้วยกากของเสียชนิดเดียวกันหลุมฝังกลบ, เรียงสลับกันตามแนวอน และเรียงสลับกันตามแนวตั้ง สำหรับการเรียงสลับกันตามแนวอนนั้นทดลองเรียง 2 แบบ คือ เรียงโดยใช้ความหนาเท่ากันทุกชั้น และ เรียงแบบความหนาไม่เท่ากัน (ชั้นแรก 1 ม., ชั้นที่สอง 2 ม. และชั้นที่สาม 2 ม.) รวม 18 วิธี และผลการวิเคราะห์แสดงไว้ในรูปที่ 4.11 – 4.28 และสรุปค่า Maximum Vertical settlement และ Maximum Differential settlement ในแต่ละแบบไว้ในตารางที่ 4.6

ตารางที่ 4.6 สรุปค่า Maximum vertical settlement และ Maximum differential settlement ในแต่ละวิธีการเรียงกากของเสีย

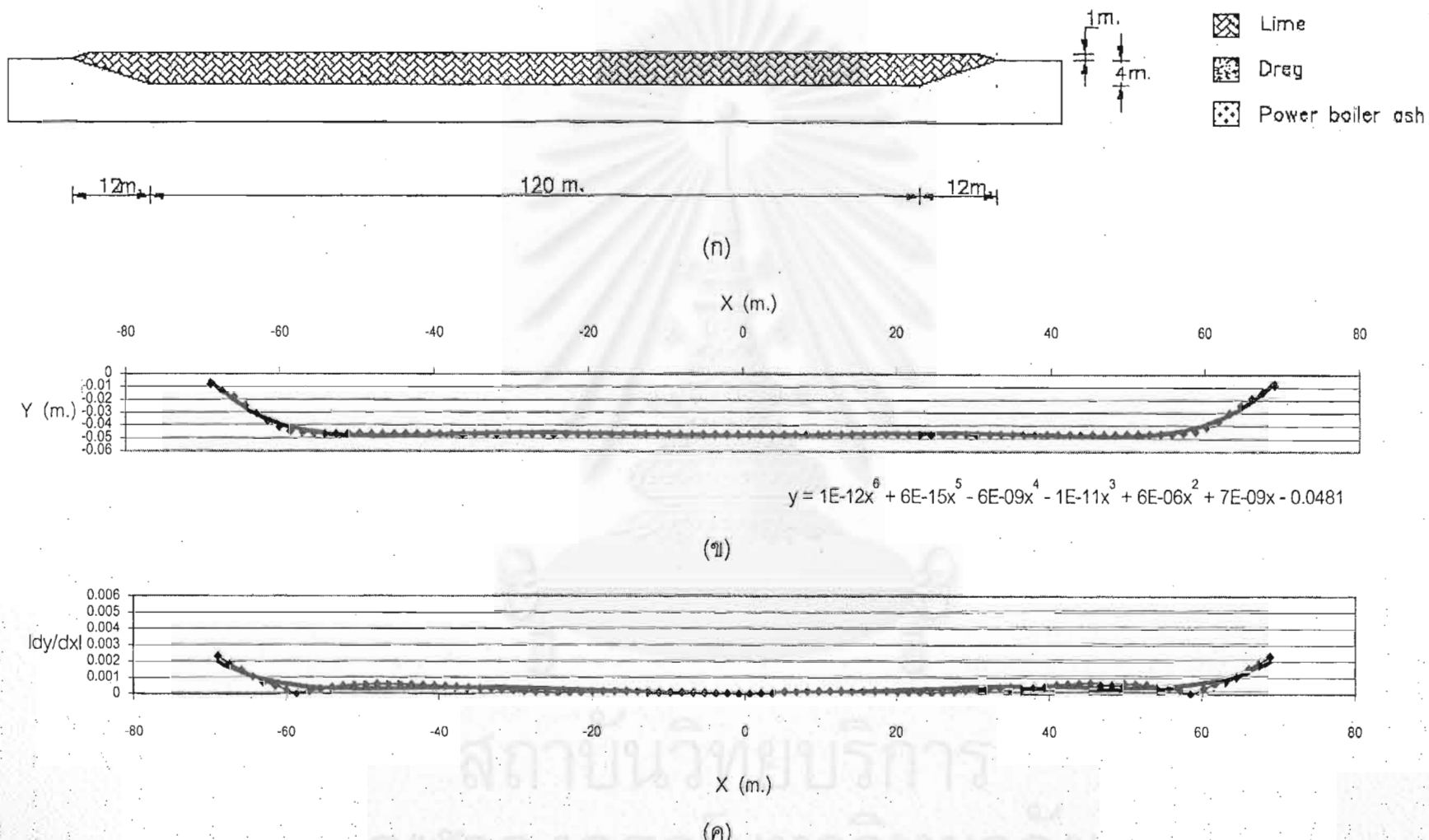
แบบที่	Maximum Vertical settlement (m.)	Maximum Differential settlement
1	0.04717	0.002327
2	0.06019	0.009360
3	0.03157	0.003737
4	0.03897	0.003512
5	0.03563	0.003506
6	0.04207	0.00386
7	0.04933	0.00234
8	0.04910	0.00237
9	0.05435	0.004641

10	0.004415	0.00235
11	0.03916	0.00361
12	0.03733	0.00374
13	0.04862	0.00233
14	0.04556	0.00364
15	0.06583	0.00950
16	0.06013	0.00972
17	0.06011	0.00960
18	0.06015	0.00815

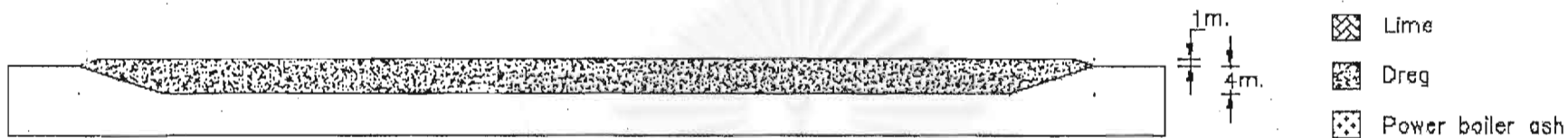
จากผลการวิเคราะห์พบว่า เมื่อทำการฝังกลบกากของเสียเพียงชนิดเดียวในหนึ่ง หลุมฝังกลบ (แบบที่ 1-3) โดย Power boiler ash (แบบที่ 3) มีค่า Maximum Vertical settlement และ Differential settlement น้อยที่สุด รองลงมาคือ Lime Mud (แบบที่ 1) และ Dreg (แบบที่ 2) ตามลำดับ และยังพบว่า Differential settlement เกิดมากที่สุดบริเวณขอบของหลุมฝังกลบ จากนั้น ทำการเรียงกากของเสียตามแนวอนโดยใช้กากของเสียทั้ง 3 ชนิด และให้แต่ละชั้นมีความหนาเท่า กัน (แบบที่ 4-9) โดยเรียงสลับกันได้ทั้งหมด 6 แบบ พนว่าเมื่อให้ Dreg อยู่ด้านบนสุด รองลงมาคือ Lime Mud และ Power boiler ash ตามลำดับ (แบบที่ 7) มีค่า Maximum Differential settlement น้อยที่สุด และ ส่วน Maximum Vertical settlement กลับมีการเรียงแบบที่ 5 คือให้ Power boiler ash อยู่ด้านบนสุด รองลงมาคือ Dreg และ Lime mud ตามลำดับ ซึ่งเป็นค่าน้อยที่สุด แสดงให้เห็น ว่าการที่หลุมฝังกลบมี Maximum Vertical settlement น้อย ไม่จำเป็นที่จะต้องมี Maximum Differential settlement น้อยตามไปด้วย จากนั้นทดลองสูญเรียงกากของเสียตามแนวอน โดย เปลี่ยนความหนาของแต่ละชั้นเป็น ชั้นบนสุดหนา 1 เมตร ชั้นรองลงมาหนา 2 เมตร และชั้นล่างสุด หนา 2 เมตร (แบบที่ 10-15) พนว่า เมื่อให้ Dreg อยู่ด้านบนสุด รองลงมาคือ Lime Mud และ Power boiler ตามลำดับ (แบบที่ 13) มีค่า Maximum Differential settlement น้อยที่สุด เมื่อมีการ เรียงแบบเทากันทุกชั้น จากนั้นทำการเรียงกากของเสียตามแนวตั้ง (แบบที่ 16-18) โดยใช้ของเสียทั้ง 3 ชนิด สลับกันไปตามตำแหน่งต่าง ๆ พนว่า Maximum Differential settlement ค่อนข้างสูง และ ไม่ได้อยู่ด้านข้าง แต่จะอยู่ระหว่างกากของเสียแต่ละชนิด โดย Maximum Differential settlement เกิดมากที่สุดบริเวณรอยต่อของ Power boiler ash และ Lime Mud ซึ่งเกิดประมาณ 0.00965 รอง ลงมาคือ รอยต่อระหว่าง Power boiler ash และ Dreg ซึ่งเกิดประมาณ 0.00820 ซึ่งใกล้เคียงกัน ทั้งนี้เนื่องมาจากจาก ความแตกต่างกันระหว่างการทุดตัวของกากของเสียทั้งสองชนิด ส่วนบริเวณรอย

ต่อของ Lime Mud กับ Dreg นั้น Maximum Differential settlement ค่อนข้างต่ำ คือประมาณ 0.0026 เนื่องจากความแตกต่างของการทุบตัวต่ำนั่นเอง

ในการจัดเรียงกากของเสียที่เหมาะสมที่สุดจากทั้งหมดที่ทำการทดลองสูม คือ การเรียงตามแนวนอน และให้ Dreg อยู่ด้านบนสุด รองลงมาคือ Lime Mud และ Power boiler ash ตามลำดับ ซึ่งวิธีนี้จะให้ Maximum Differential settlement น้อยที่สุด ทำให้โครงสร้างด้านบนหลุมผึ่งกลบได้รับคันตรายน้อยที่สุด



รูปที่ 4.11 รูปแบบการจัดวางกากของเลี้ยบแบบที่ 1 (ก), Vertical settlement (ข), Differential settlement (ค) ที่ Ground surface ของหลุมฝังกลบ



12m 120 m. 12m

(ก)

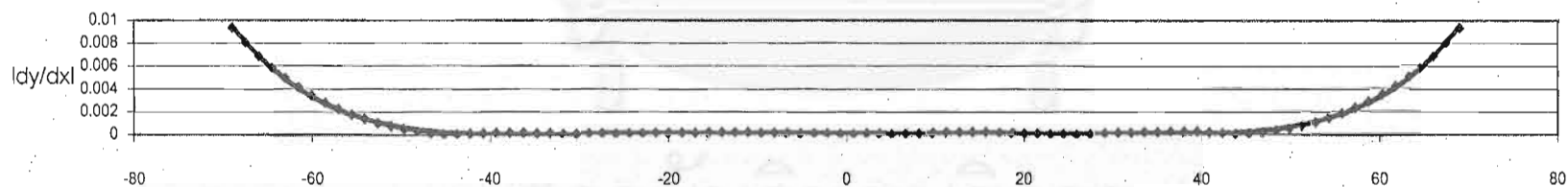
X (m.)

-80 -60 -40 -20 0 20 40 60 80



$$y = 2E-12x^6 - 6E-16x^5 - 8E-09x^4 + 2E-11x^3 + 8E-06x^2 - 2E-08x - 0.0613$$

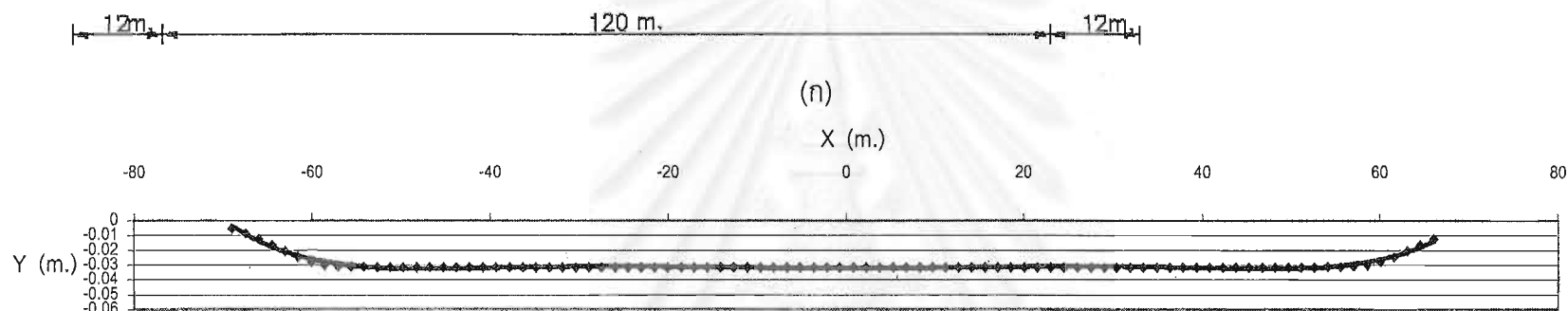
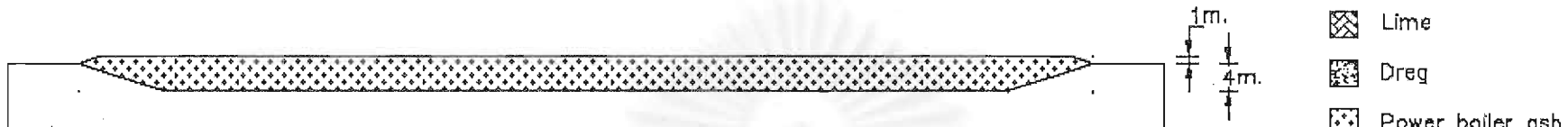
(ข)



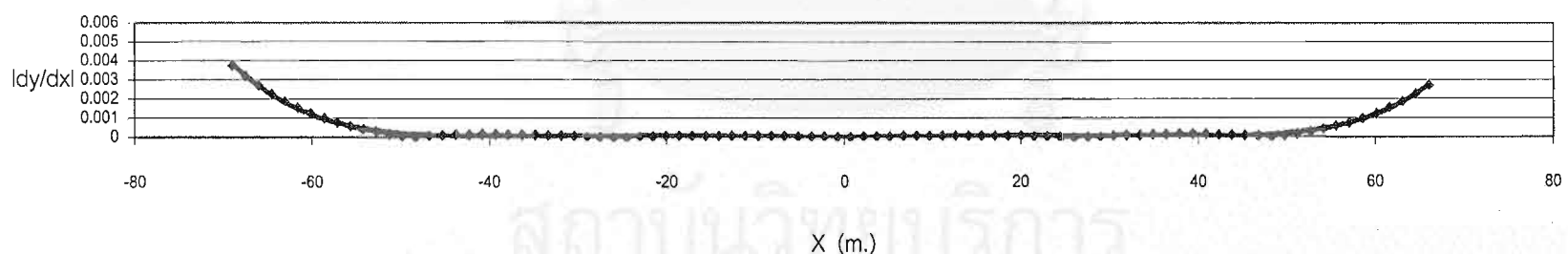
X (m.)

(ค)

รูปที่ 4.12 รูปแบบการจัดวางกากของเสียแบบที่ 2 (ก), Vertical settlement (ข), Differential settlement (ค) ที่ Ground surface ของหลุมฝังกลบ

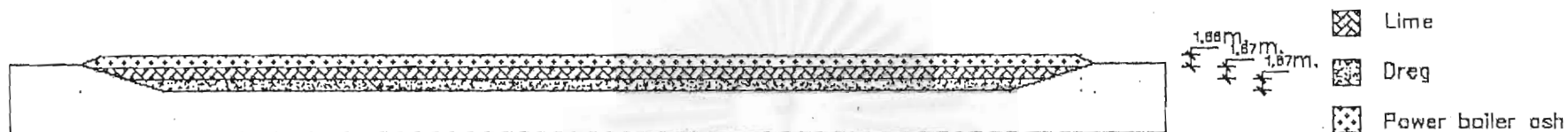


(ข)

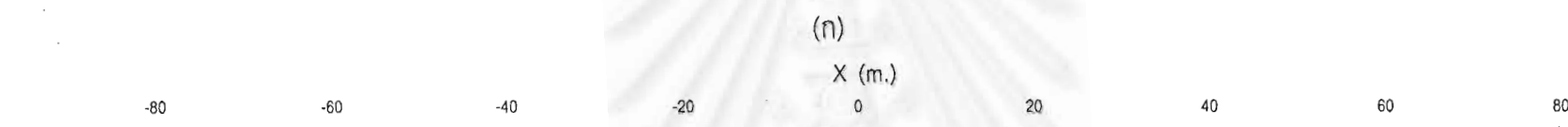


(ค)

รูปที่ 4.13 รูปแบบการจัดวางกากของเสียแบบที่ 3 (ก), Vertical settlement (ข), Differential settlement (ค) ที่ Ground surface ของหลุมฝังกลบ

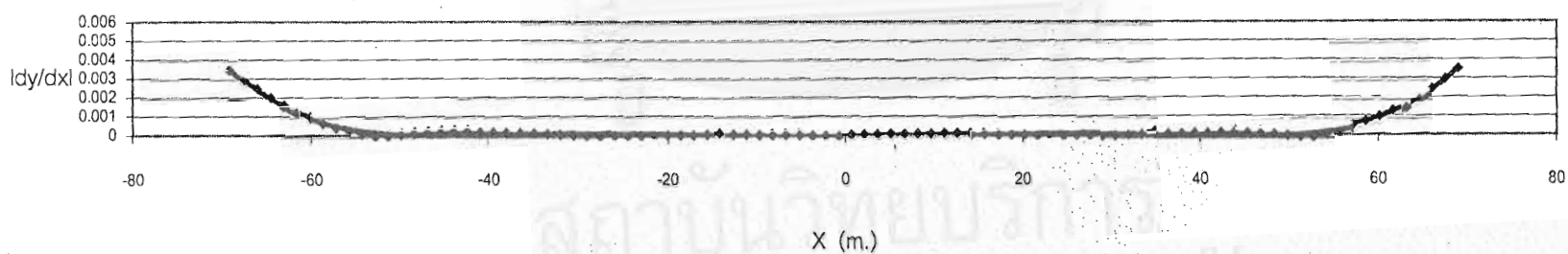


12m. 120 m. 12m.



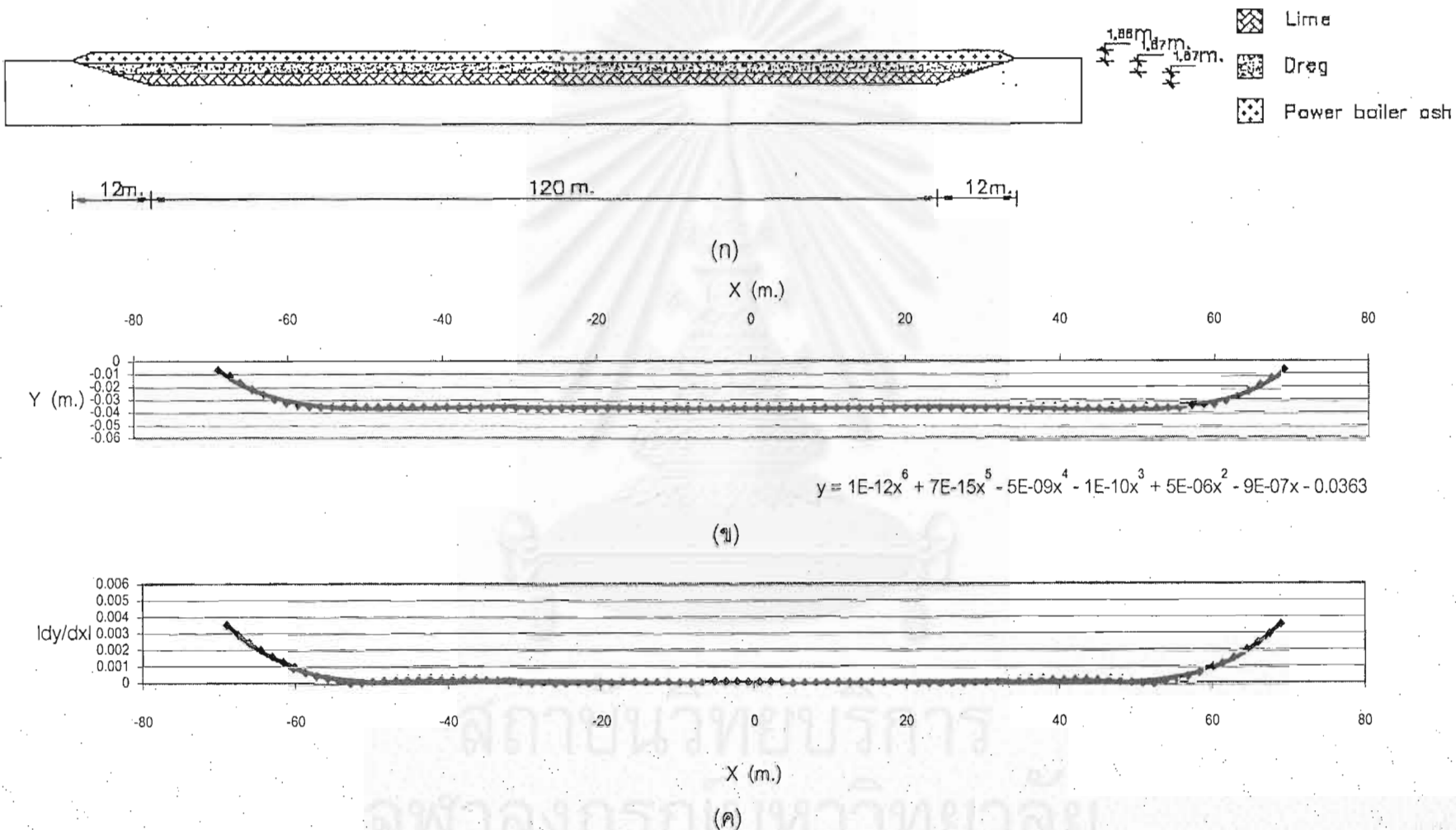
$$y = 1E-12x^6 - 9E-14x^5 - 5E-09x^4 + 2E-10x^3 + 5E-06x^2 - 3E-07x - 0.0397$$

(η)

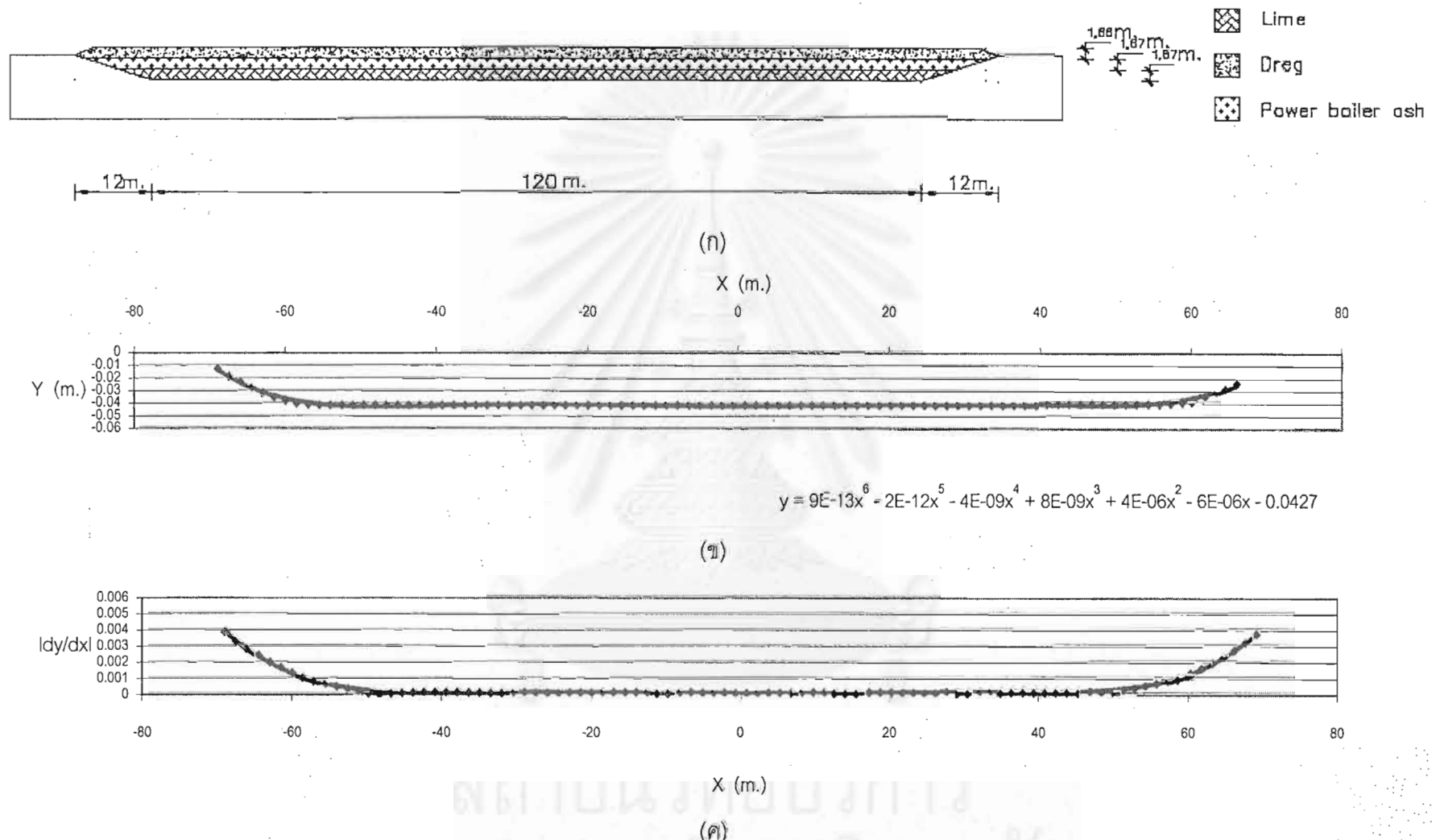


(κ)

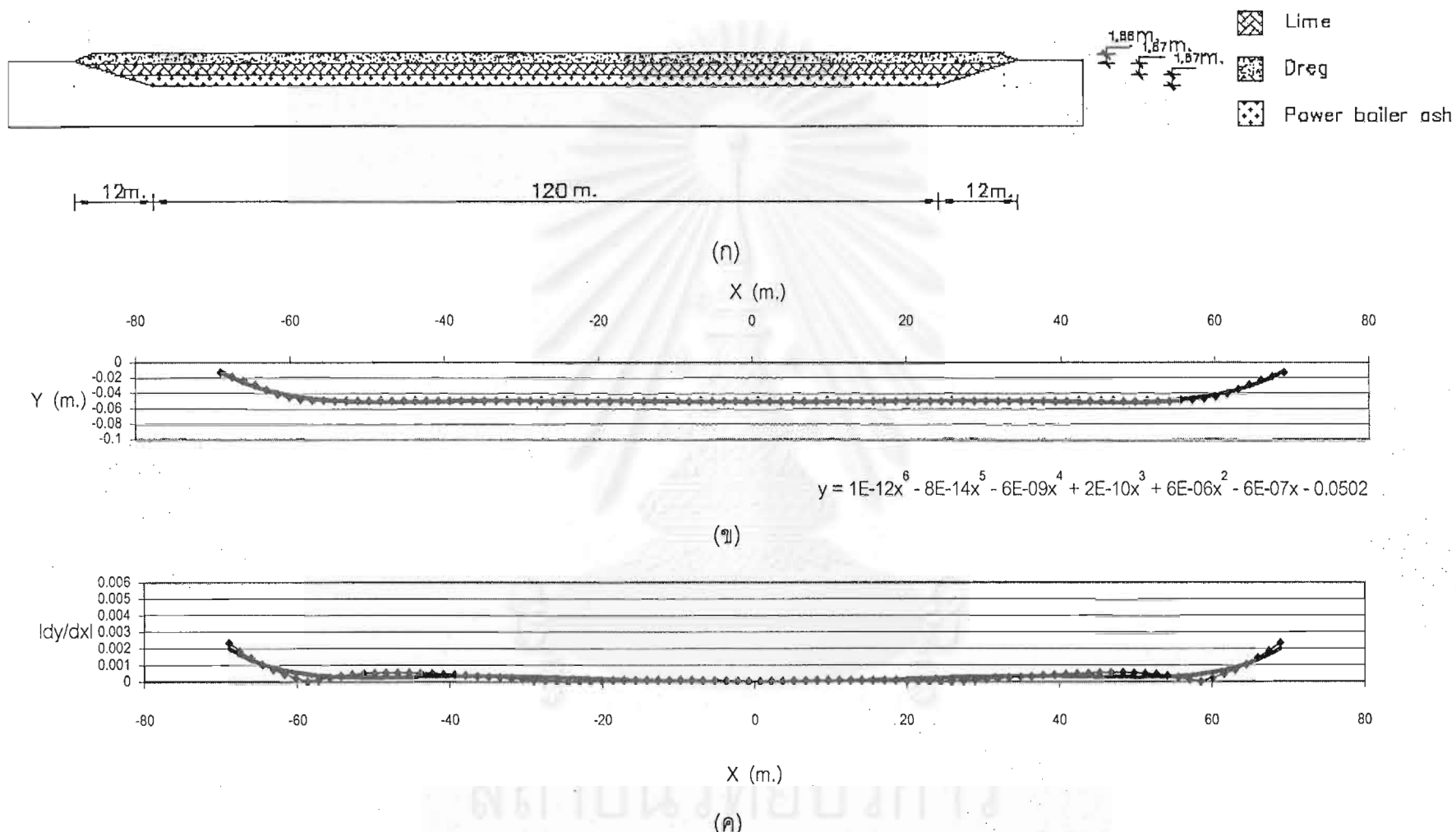
รูปที่ 4.14 รูปแบบการจัดวางกากของเตี้ยแบบที่ 6 (η), Vertical settlement (η), Differential settlement (κ) ที่ Ground surface ของหลุมผึ้งกลบ



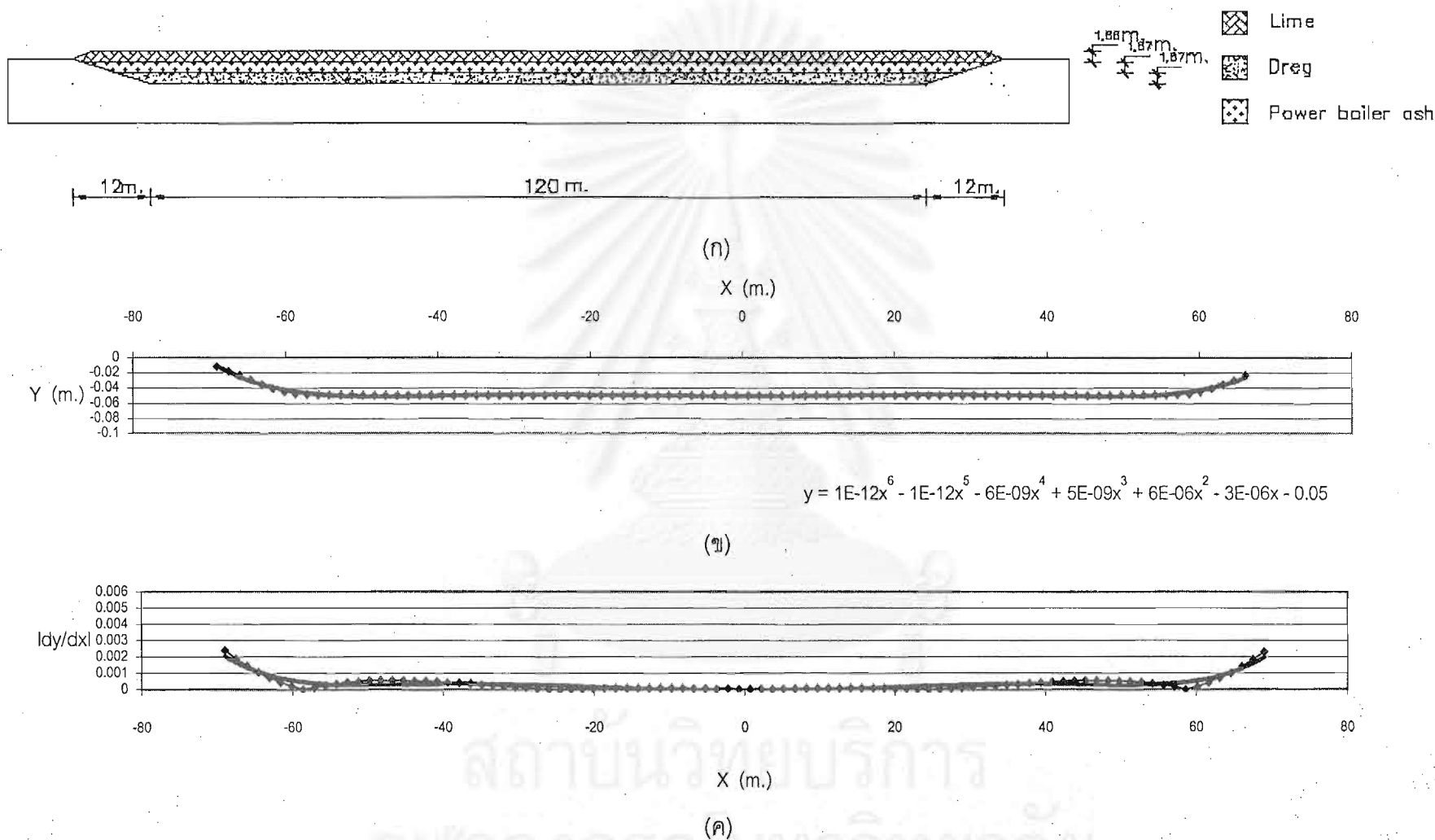
รูปที่ 4.15 รูปแบบการจัดวางกากของเสียงแบบที่ 7 (n), Vertical settlement (%), Differential settlement (c) ที่ Ground surface ของน้ำมันฟังก์ชัน



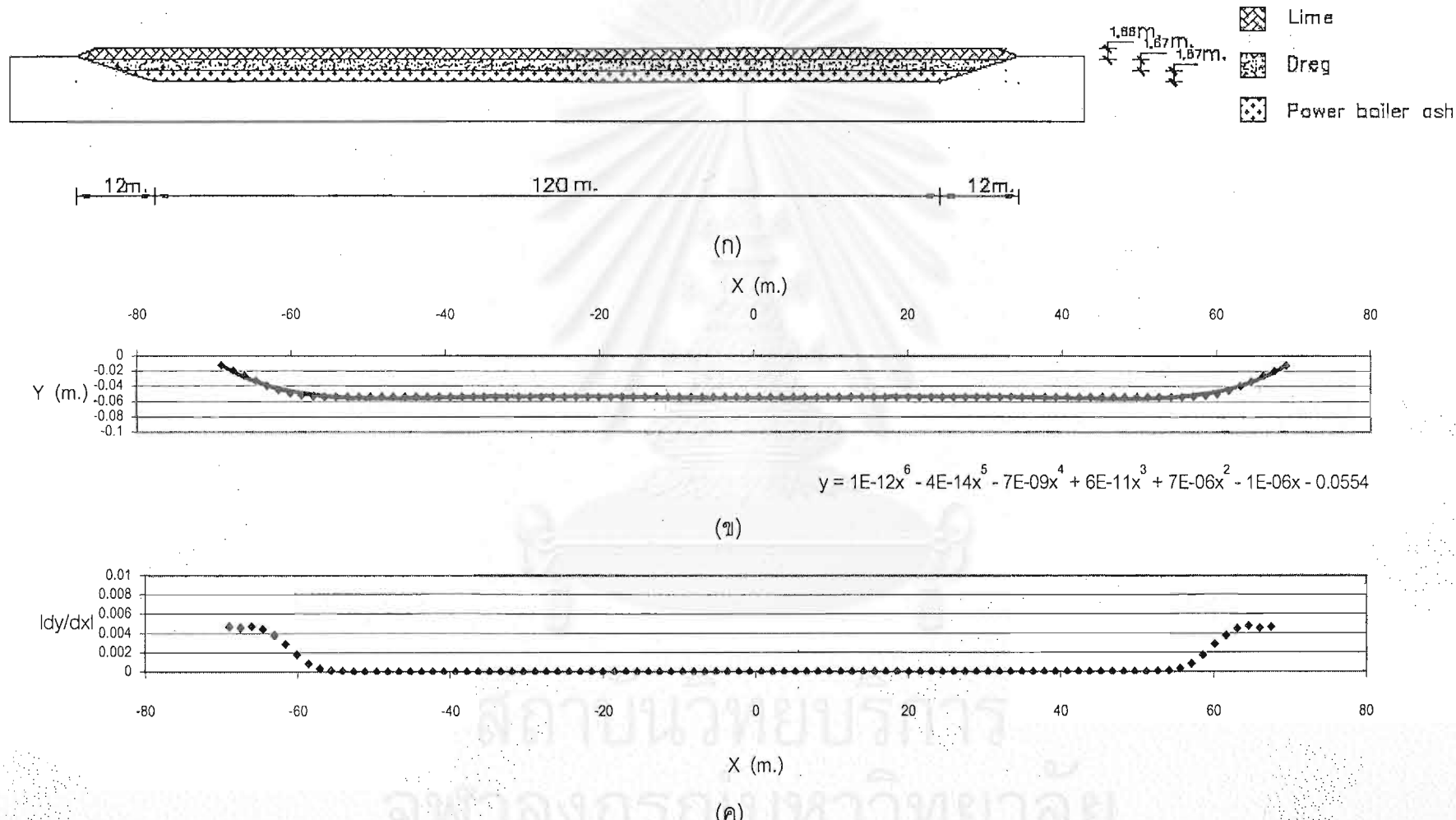
รูปที่ 4.16 รูปแบบการจัดวางกากของเดียบแบบที่ 8 (η), Vertical settlement (ε), Differential settlement (κ) ที่ Ground surface ของหลุมผึ้งกลบ



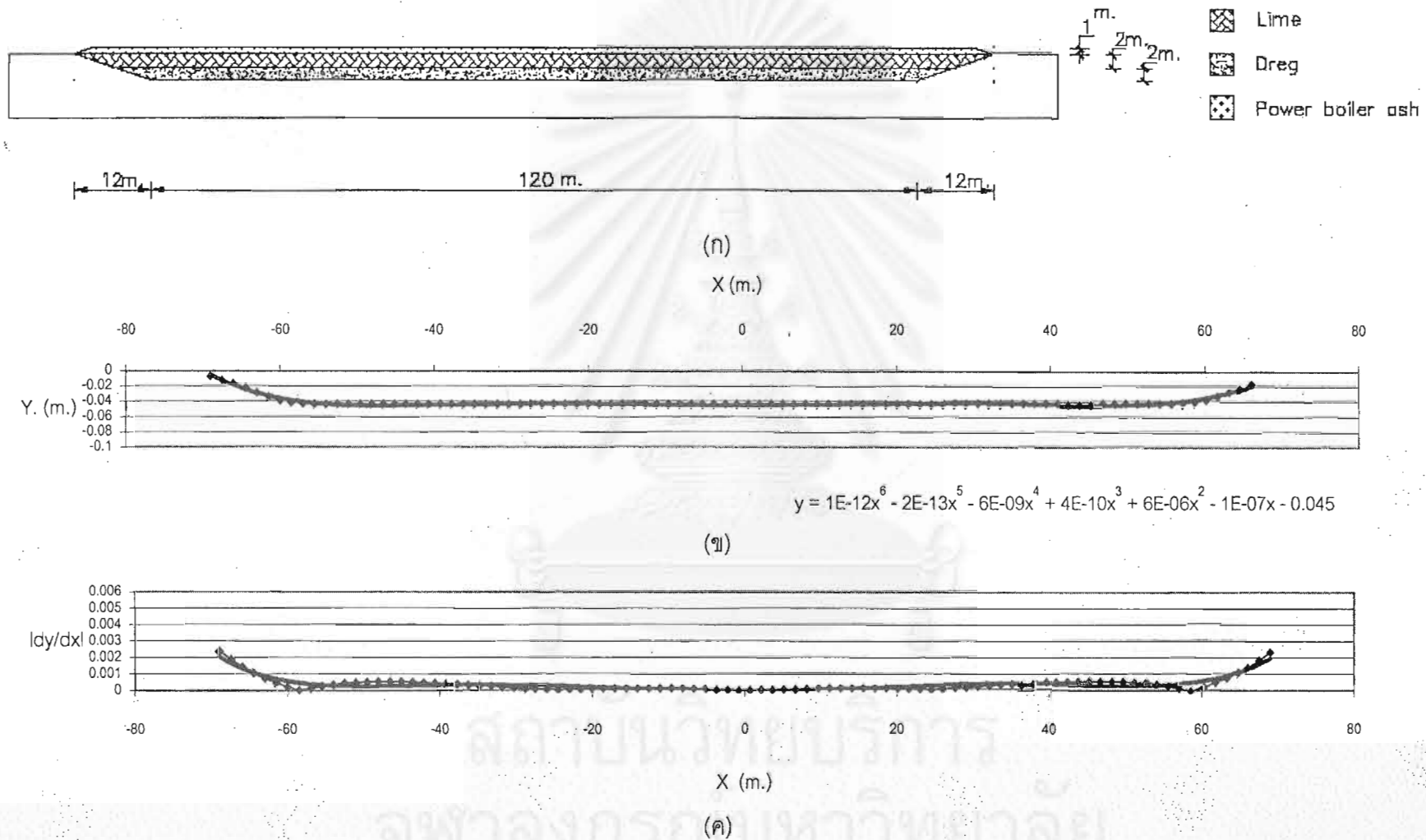
รูปที่ 4.17 รูปแบบการจัดวางกากของเสียแบบที่ 9 (η), Vertical settlement (η), Differential settlement (δ) ที่ Ground surface ของหลุมฝังกลบ



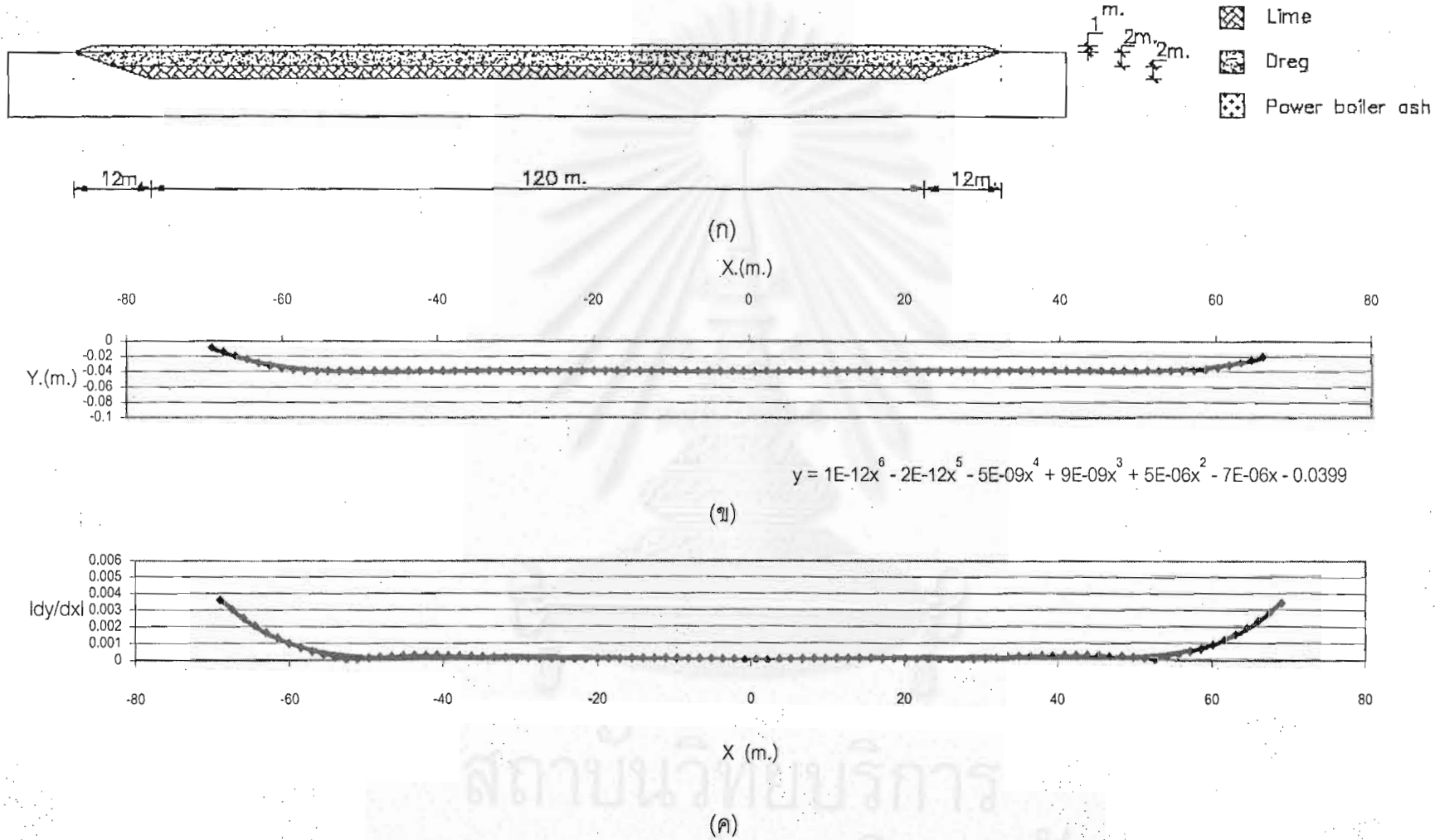
รูปที่ 4.18 รูปแบบการจัดวางกากของเสียแบบที่ 10 (η), Vertical settlement (κ), Differential settlement (κ) ที่ Ground surface ของหลุมฝังกลบ



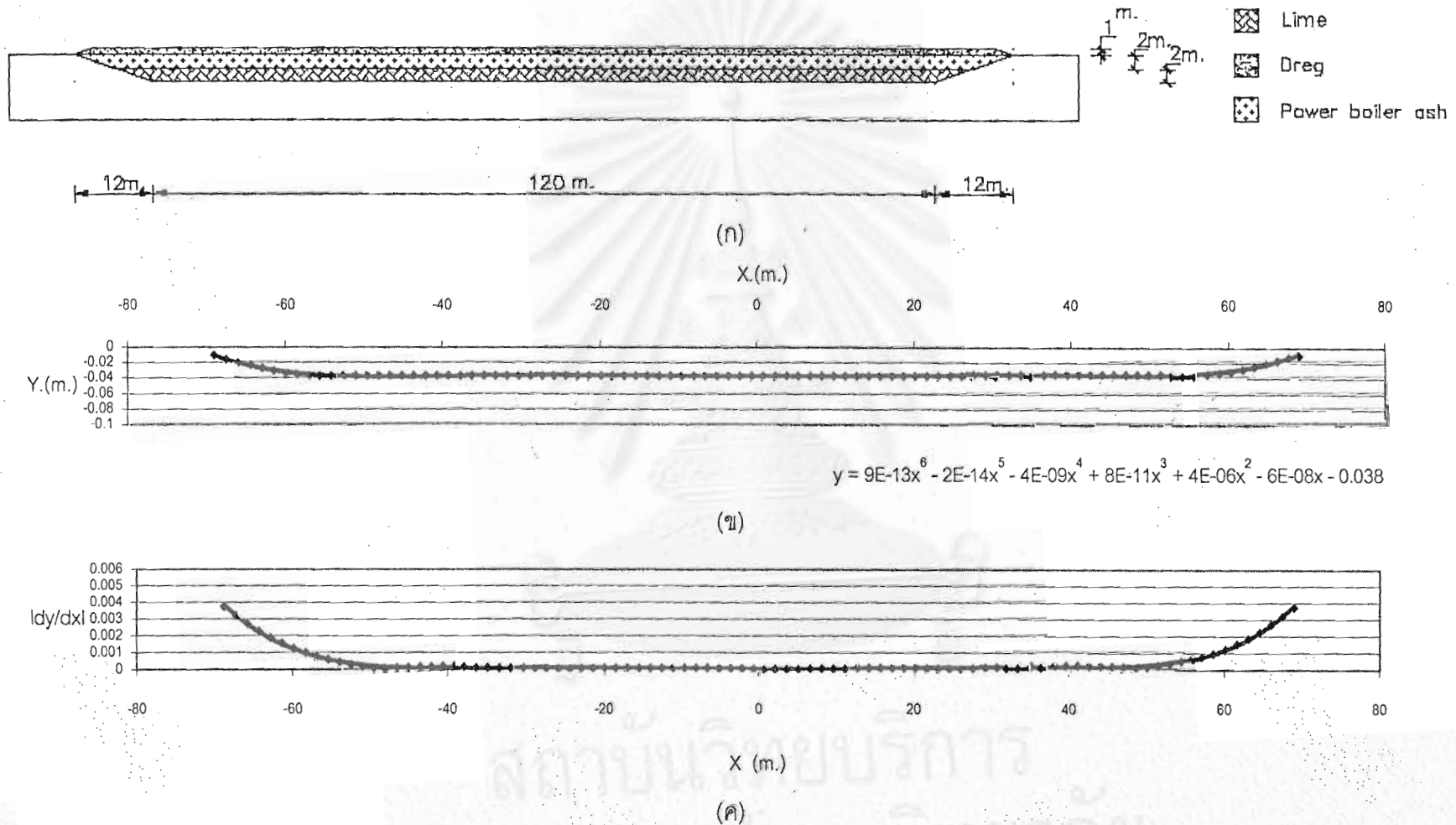
รูปที่ 4.19 รูปแบบการจัดวางกากของเสียแบบที่ 11 (η), Vertical settlement (ι), Differential settlement (ρ) ที่ Ground surface ของหลุมฝังกลบ



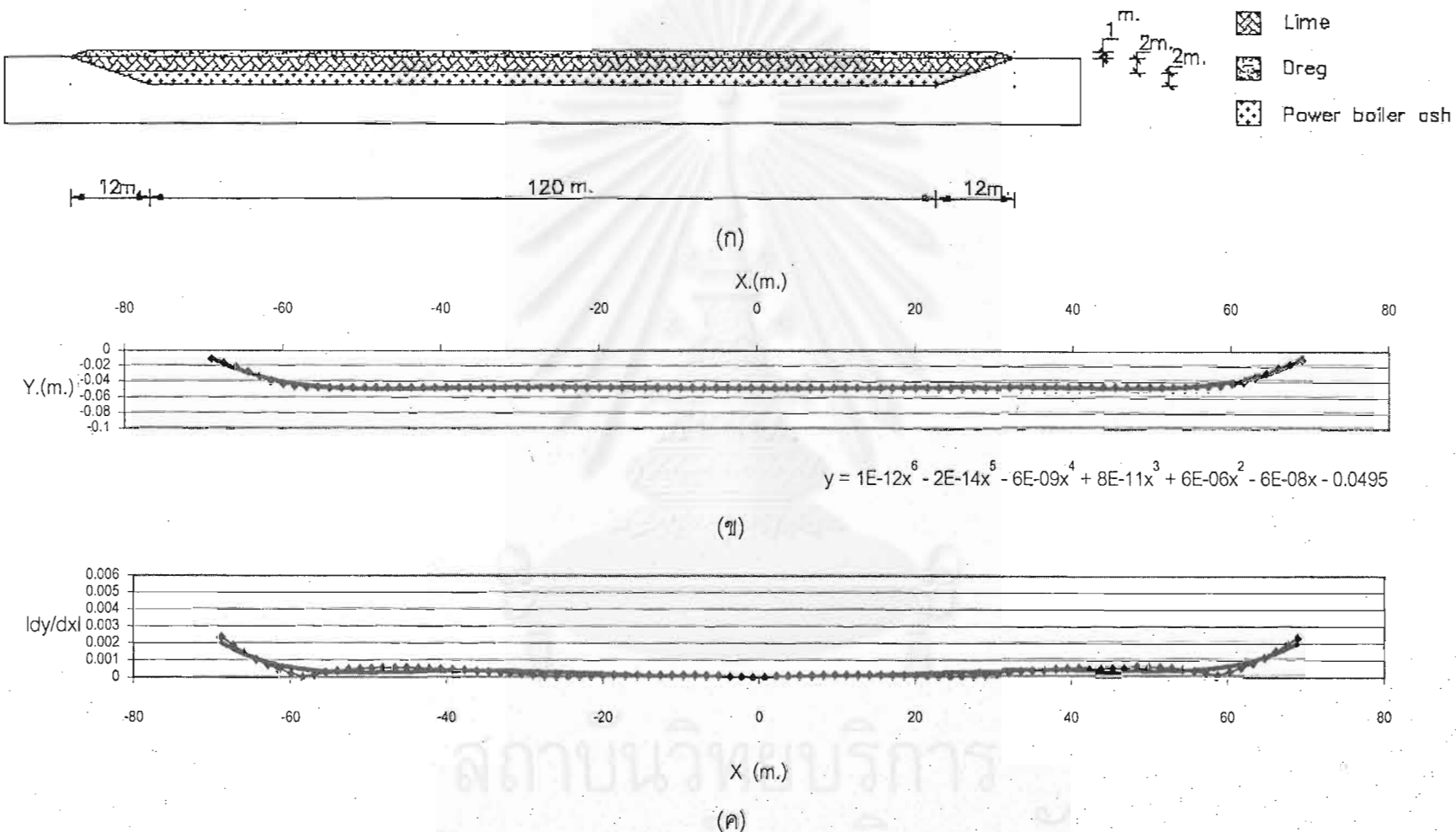
รูปที่ 4.20 รูปแบบการจัดวางกากของเสียแบบที่ 12 (η), Vertical settlement (γ), Differential settlement (δ) ที่ Ground surface ของหลุมฝังกลบ



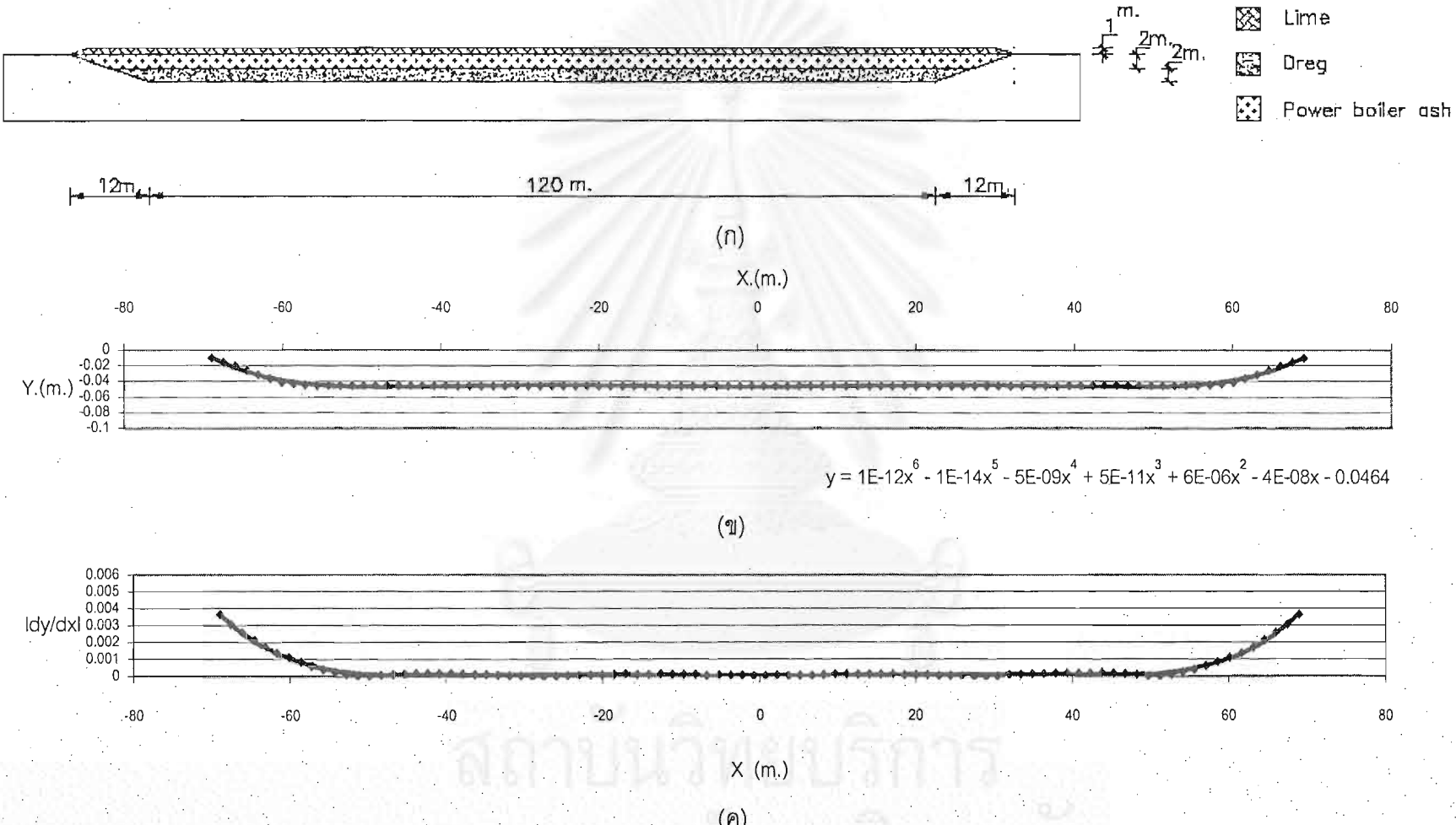
รูปที่ 4.21 รูปแบบการจัดวางกากของเสียแบบที่ 13 (η), Vertical settlement (η), Differential settlement (κ) ที่ Ground surface ของหลุมผึ้งกดบ



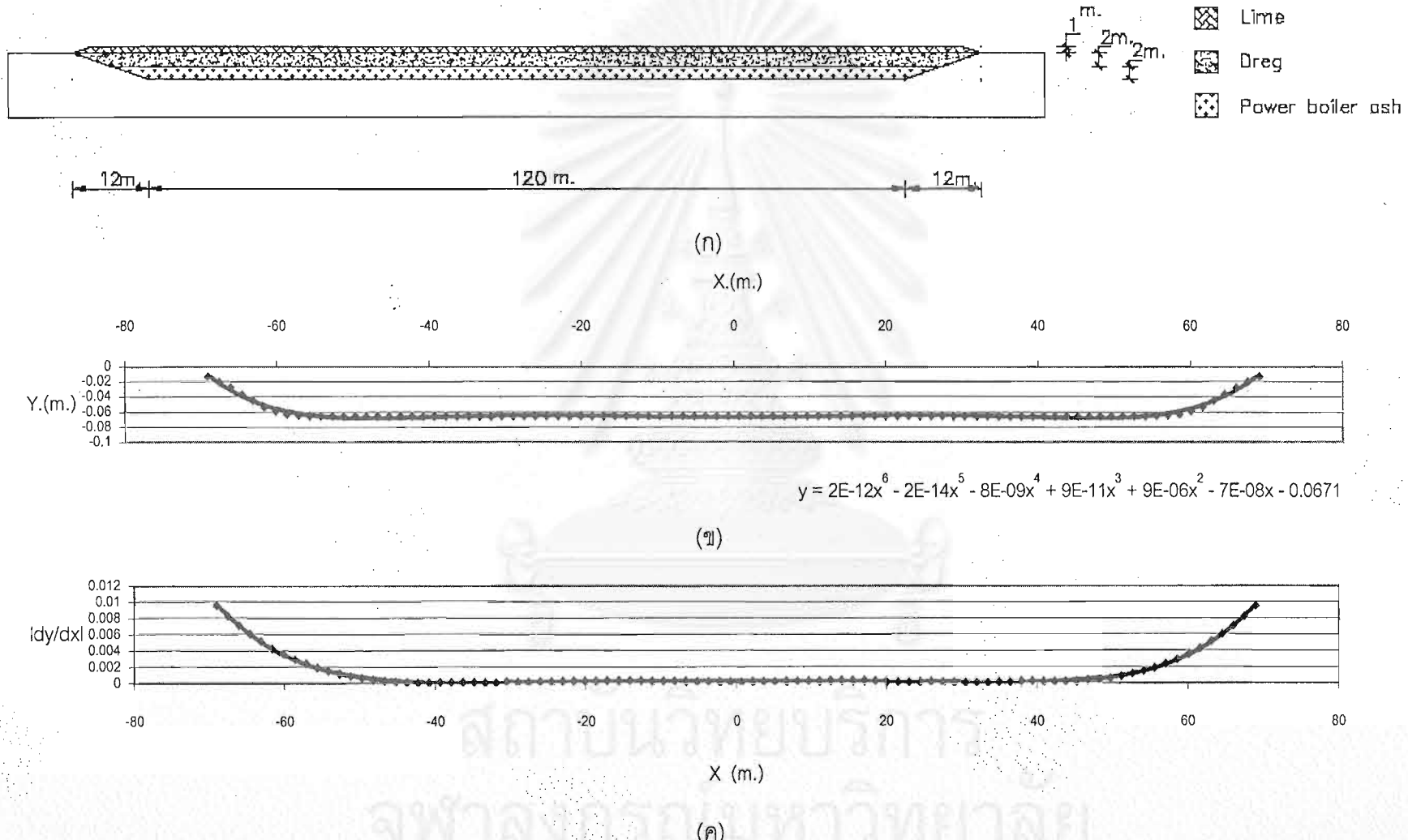
รูปที่ 4.22 รูปแบบการจัดวางกากของเดียบแบบที่ 14 (η), Vertical settlement (η), Differential settlement (η) ที่ Ground surface ของหลุมผึ้งกลับ



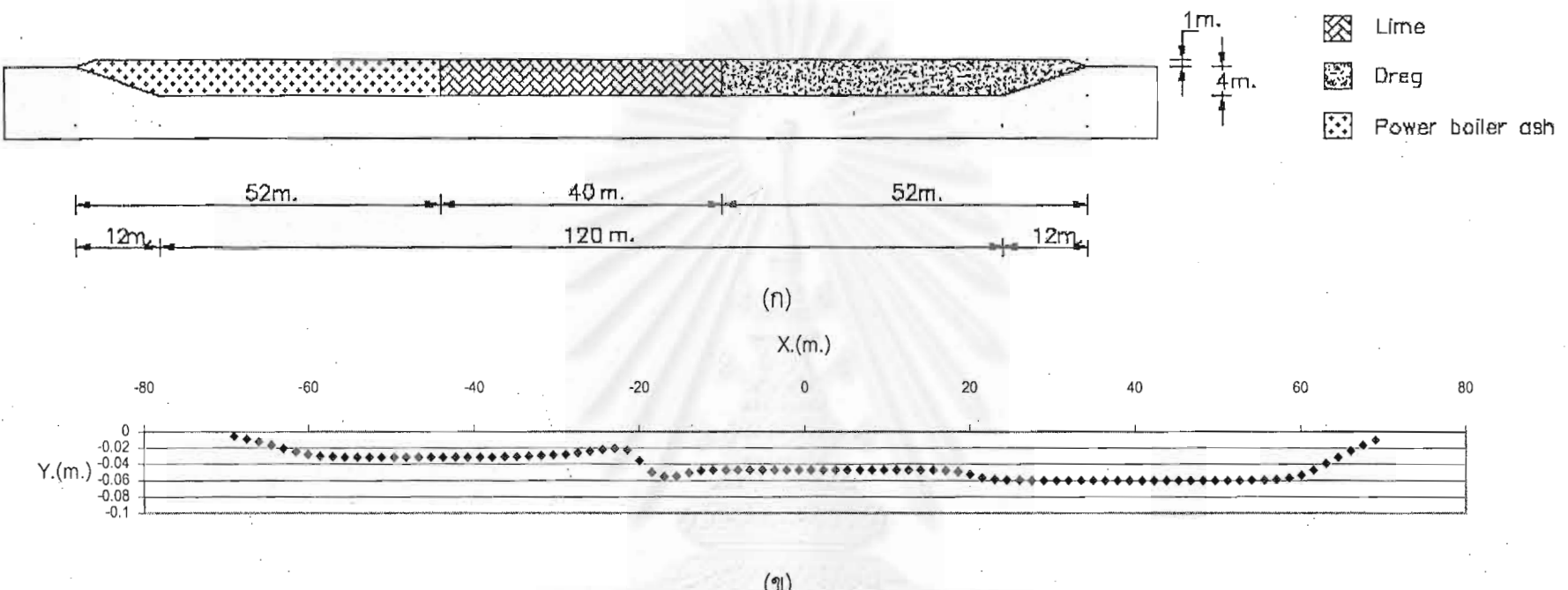
รูปที่ 4.23 รูปแบบการจัดวางกากของเดียบแบบที่ 15 (ก), Vertical settlement (ข), Differential settlement (ค) ที่ Ground surface ของหลุมฝังกลบ



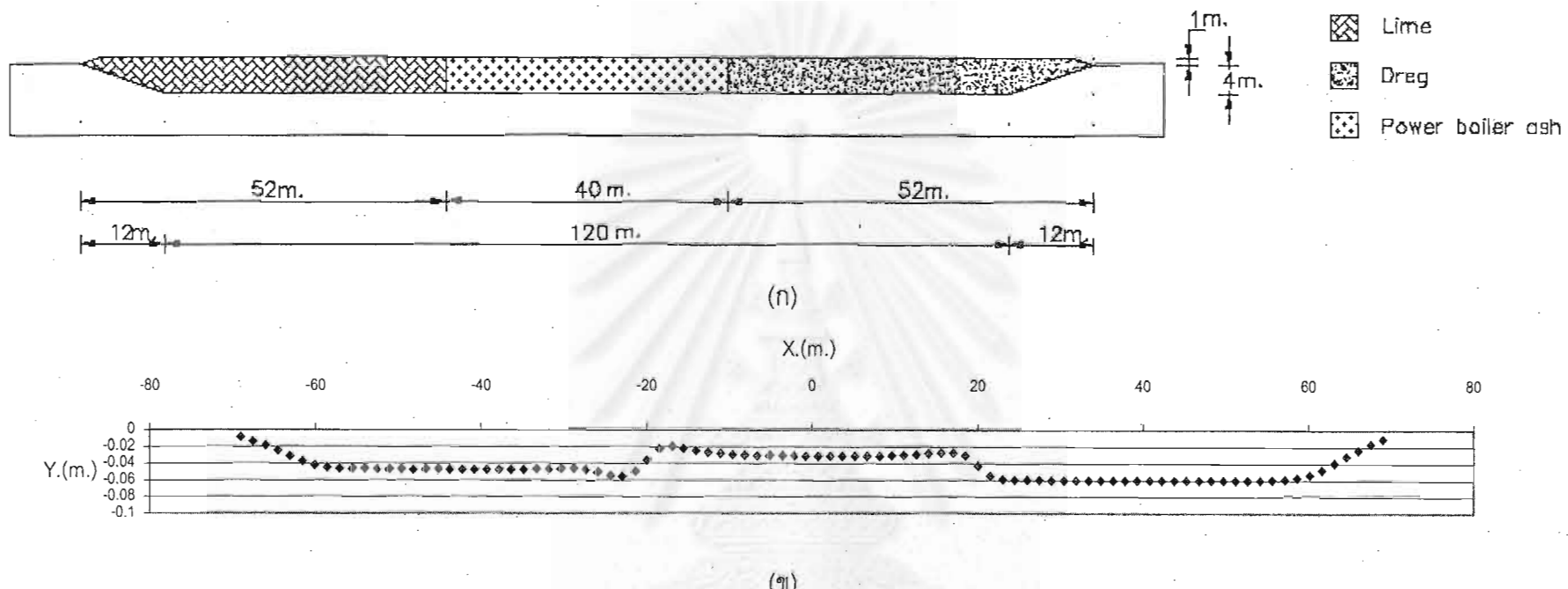
รูปที่ 4.24 รูปแบบการจัดวางกากของเสียแบบที่ 16 (ก), Vertical settlement (ก), Differential settlement (ค) ที่ Ground surface ของหลุมฝังกลบ



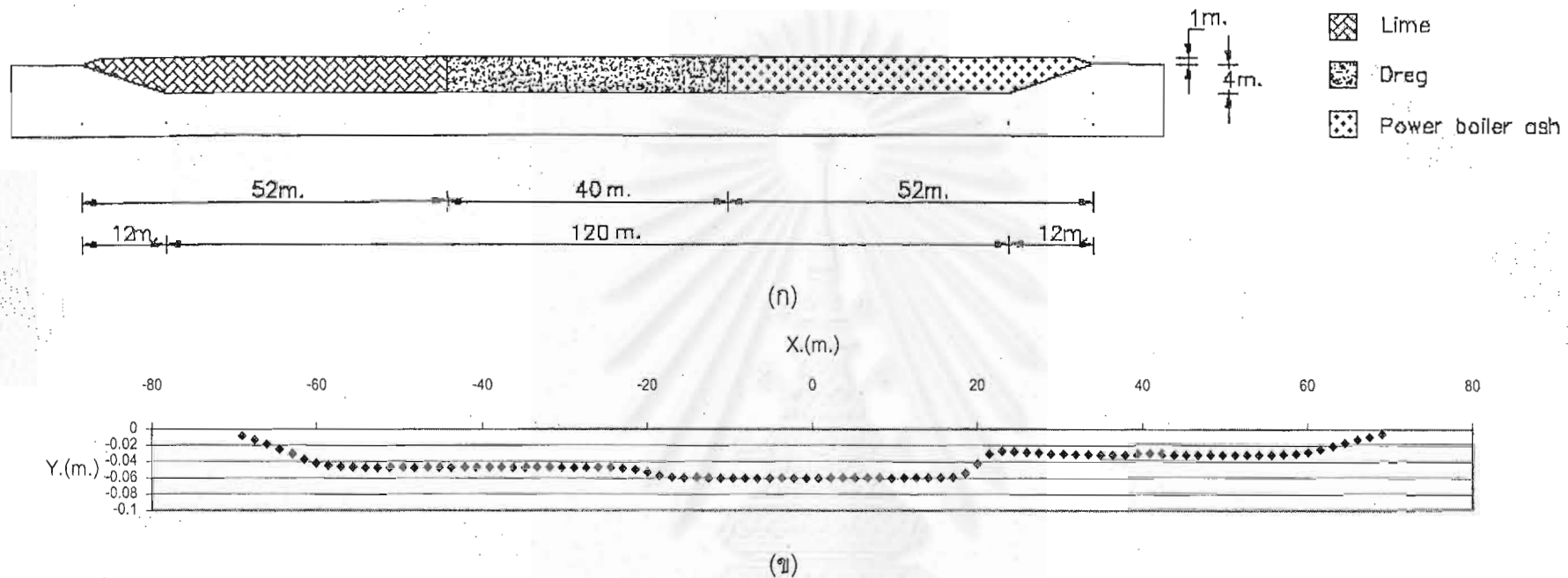
រូបថត 4.25 រូបបែងការចំណាំរាងការខ្លួនផែីបែងប៊ិទ 17 (ន), Vertical settlement (忉), Differential settlement (គ) និង Ground surface នៃលម្អិតក្នុង



รูปที่ 4.26 รูปแบบการจัดวางกากของเตี้ยแนบที่ 18 (n), Vertical settlement (II) ที่ Ground surface ของหลุมฝังกลบ



รูปที่ 4.27 รูปแบบการจัดวางกากของเสียแบบที่ 18 (ก), Vertical settlement (๒) ที่ Ground surface ของหลุมฝังกลบ



รูปที่ 4.28 รูปแบบการจัดวางกากของเสียแบบที่ 18 (η), Vertical settlement (γ) ที่ Ground surface ของหลุมผึ้งกลบ

## บทที่ 5

### สรุปผลการศึกษา

การวิจัยนี้มีวัตถุประสงค์เพื่อศึกษาคุณสมบัติทางวิศวกรรมของภาคของเสียบดอัดจากอุตสาหกรรมกระดาษ เพื่อนำไปใช้ในการวิเคราะห์หาลักษณะการจัดวางภาคของเสียในหลุมฝังกลบเหมาะสมที่สุด ที่ทำให้เกิด Differential settlement บริเวณผิวนอกของหลุมฝังกลบน้อยที่สุด ซึ่งเป็นการวิเคราะห์ด้วยโปรแกรม PLAXIS 7.2 โดยเลือกใช้ภาคของเสียจากโรงงานผลิตกระดาษจำนวน 3 ชนิด คือ Lime Mud, Power boiler ash และ Dreg มาใช้เป็นตัวแทนการศึกษา และศึกษาสมบัติทางวิศวกรรมของภาคของเสียบดอัด 3 ด้านได้แก่ สมบัติทางด้านกำลังรับน้ำหนัก ด้วยการทดสอบ Direct shear test, สมบัติด้านการไหลซึมผ่านของน้ำ ด้วยการทดสอบ Permeability test, และสมบัติด้านการเคลื่อนตัว ด้วยการทดสอบ Consolidation test ในห้องปฏิบัติการ และในการวิเคราะห์ Vertical settlement และ Differential settlement นั้นสมมุติให้ภาคของเสียมีคุณสมบัติสอดคล้องกับผลการทดสอบคุณสมบัติทางวิศวกรรมที่ได้จากการทดสอบในห้องปฏิบัติการ เกิดการทรุดตัวจนกระทั่ง excess pore pressure เท่ากับ 0 โดยสมมุติให้มีเกิดการทรุดตัวของชั้นดินได้หลุมฝังกลบ และภาคของเสียถูกบดขยี้ที่ maximum dry density ที่ปริมาณน้ำ Optimum moisture content ที่ได้จากการทดสอบการบดอัดแบบ Standard Proctor Compaction Test โดยผลการศึกษาสรุปได้ดังนี้

1. ภาคของเสียที่นำมาฝังกลบในหลุมฝังกลบประกอบด้วย Lime Mud ซึ่งมีความหนาแน่นแห้งสูงสุด เท่ากับ  $13 \text{ kN/m}^3$  ที่ประมาณความชื้น 33 % , Dreg ซึ่งมีความหนาแน่นแห้งสูงสุด เท่ากับ  $11 \text{ kN/m}^3$  ที่ประมาณความชื้น 43 % และ power boiler ash ซึ่งมีความหนาแน่นแห้งสูงสุด เท่ากับ  $5.6 \text{ kN/m}^3$  ที่ประมาณความชื้น 83 %

2. ในการทดสอบสมบัติด้านกำลังรับน้ำหนักของภาคของเสียบดอัดเพื่อหาค่า cohesion intercept และ friction angle พบร่วม Lime Mud ให้ค่า friction angle เท่ากับ  $44.8^\circ$  cohesion intercept เท่ากับ  $0 \text{ kN/m}^2$  และ Dreg ให้ค่า friction angle เท่ากับ  $43.7^\circ$  cohesion intercept เท่ากับ  $15.3 \text{ kN/m}^2$  และ Power boiler ash ให้ค่า friction angle เท่ากับ  $42.2^\circ$  cohesion intercept เท่ากับ  $16.8 \text{ kN/m}^2$

3. ในการทดสอบสมบัติด้านกำลังรับน้ำหนักของกากของเสียบดอัดเพื่อหาค่า Elastic Young's Modulus ( $E_{50}$ ) พบว่า Power boiler ash มีค่าต่ำที่สุดคือ  $655 \text{ kN/m}^2$  และค่าอย่างเพิ่มขึ้น  $37.45 \text{ kN/m}^2$  ทุก ๆ Vertical stress เท่ากับ  $1 \text{ kN/m}^2$  ส่วน Lime Mud มีค่า  $E_{50}$  ตั้งแต่  $920 \text{ kN/m}^2$  และค่าอย่างเพิ่มขึ้น  $55.96 \text{ kN/m}^2$  ทุก ๆ Vertical stress เท่ากับ  $1 \text{ kN/m}^2$  และ Dreg มีค่า  $E_{50}$  ตั้งแต่  $887 \text{ kN/m}^2$  และค่าอย่างเพิ่มขึ้น  $76.92 \text{ kN/m}^2$  ทุก ๆ Vertical stress เท่ากับ  $1 \text{ kN/m}^2$  จะเห็นว่า Lime Mud จะให้ค่า  $E_{50}$  สูงกว่า Dreg ในช่วง Vertical stress ต่ำกว่า  $1.58 \text{ kN/m}^2$  เท่านั้น หลังจากนั้น Dreg ให้ค่าสูงกว่า

4. ในการทดสอบสมบัติด้านความสามารถในการซึมผ่านของน้ำของกากของเสียบดอัดพบว่า Lime Mud มีค่า  $k$  เท่ากับ  $1 \times 10^{-5} \text{ cm/sec}$ , Dreg มีค่า  $k$  เท่ากับ  $8 \times 10^{-6} \text{ cm/sec}$ , Power boiler ash มีค่า  $k$  เท่ากับ  $6.5 \times 10^{-4} \text{ cm/sec}$  และ จะเห็นว่า Power boiler ash มีค่า  $k$  สูงสุด ส่วน Lime Mud นั้นมีค่า  $k$  สูงกว่า Dreg ไม่มากนัก

5. ในการทดสอบสมบัติด้านการเคลื่อนตัวของกากของเสียบดอัด พบรความสัมพันธ์ระหว่างค่า Drained Young's Modulus และ  $\sigma'_{vo}$  เป็นสมการดังนี้ สมการของ Lime Mud คือ  $y = -0.0214x^2 + 37.202x + 1011.8$  สมการของ Dreg คือ  $y = -0.014x^2 + 25.771x + 707.05$  และสมการของ Power boiler ash คือ  $y = -0.0176x^2 + 19.201x + 1176.7$  โดยที่  $y$  คือ  $E'$  ส่วน  $x$  คือ  $\sigma'_{vo}$

6. ในการวิเคราะห์ Vertical settlement และ Differential settlement จากการจัดเรียงกากของเสียต่าง ๆ กันด้วยโปรแกรม PLAXIS โดยเป็นการวิเคราะห์แบบ Plan strain analysis พบว่า ในการจัดเรียงกากของเสียที่เหมาะสมที่สุดจากห้องหมอดีที่ทำการทดลองสูม คือ การเรียงตามแนวอน แล้วให้ Dreg อยู่ด้านบนสุด รองลงมาคือ Lime Mud และ Power boiler ash ตามลำดับ ซึ่งวิธีนี้จะให้ Maximum Differential settlement น้อยที่สุด ทำให้โครงสร้างด้านบนหลุมฝังกลบได้รับอันตรายน้อยที่สุด และในการเรียงกากของเสียตามแนวตั้ง พบว่า Maximum Differential settlement ค่อนข้างสูงซึ่งเกิดขึ้นระหว่างกากของเสียแต่ละชนิด โดย Maximum Differential settlement เกิดมากที่สุดบริเวณรอยต่อของ Power boiler ash และ Lime Mud ซึ่งใกล้เคียงกับ รอยต่อระหว่าง Power boiler ash และ Dreg เนื่องมาจาก ความแตกต่างกันระหว่างการทruzดตัวของกากของเสียทั้งสองชนิด ส่วนบริเวณรอยต่อของ Lime Mud กับ Dreg นั้น Maximum Differential settlement ค่อนข้างต่ำ เนื่องจากความแตกต่างของการทruzดตัวต่ำนี้เอง ดังนั้นในการเรียงตามแนวตั้ง ต้องระวังเรื่องความแตกต่างของการทruzดตัว

## ข้อเสนอแนะ

1. การศึกษาในงานวิจัยนี้เป็นการศึกษาคุณสมบัติของภาคของเสียจากอุตสาหกรรมกระดาษเท่านั้น แต่เนื่องจากในประเทศไทย ยังมีภาคของเสียอีกหลายประเภทที่ต้องนำมาฝังกลบ ซึ่งควรมีการศึกษาคุณสมบัติของภาคของเสียประเภทอื่น ๆ ด้วย
2. การศึกษาคุณสมบัติทางวิศวกรรมของภาคของเสียบดอัดในห้องปฏิบัติการอาจจะได้ค่าที่ใกล้เคียงของจริงในสนามหรือไม่ก็ได้ ดังนั้นจึงควรมีการตรวจสอบคุณสมบัติในสนามหลังจากก่อสร้างหลุมฝังกลบเบร์เจสันลงแล้ว
3. การศึกษาในงานวิจัยนี้มุ่งเน้นเฉพาะ Vertical settlement และ Differential settlement ที่เกิดจากน้ำหนักของภาคของเสียเองจนกระทั่ง excess pore pressure เท่ากับ 0 เท่านั้น ซึ่งในความเป็นจริง การทรุดตัวที่เกิดขึ้นในสนามที่เกิดขึ้นจริงยังคงมีการทรุดตัวต่อไป ซึ่งเกิดจากภาระอย่างถาวรตามธรรมชาติ และอาจมีปฏิกิริยาเคมีเกิดขึ้น นอกจากนี้ควรพิจารณาถึงน้ำหนักบรรทุกด้านบนหลุมฝังกลบ ซึ่งสิ่งเหล่านี้มีผลทำให้การทรุดตัวมีค่ามากขึ้น
4. การศึกษาในงานวิจัยนี้มีสมมุติฐานหลายอย่าง ทำให้ค่าที่ได้จากการวิเคราะห์ Vertical settlement และ Differential settlement อาจไม่ตรงกับค่าที่เกิดขึ้นจริงในสนาม เช่น สมมุติฐาน ให้ภาคของเสียถูกบดอัดที่ Maximum dry density ที่ประมาณนี้ Optimum moisture content จากการทดสอบการบดอัด สมมุติฐานให้ภาคของเสียมีความเป็นเนื้อเดียวgan (Homogeneous) และสมมุติฐานให้ชั้นดินใต้หลุมฝังกลบแข็งมากจนไม่มีการทรุดตัวเกิดขึ้น

## รายการอ้างอิง

### ภาษาไทย

ไกวิทย์ ทศศิริ. 2544. คุณสมบัติการไหลซึมของของเหลวที่มีสารปนเปื้อนผ่านวัสดุผสมระหว่างทรายกับเบนโทไนเตอร์บดอัด. วิทยานิพนธ์ปริญญามหาบัณฑิต สาขาวิชาวิศวกรรมโยธา คณะวิศวกรรมศาสตร์ จุฬาลงกรณ์มหาวิทยาลัย.

สถาพร คุวิจิตรชาญ. 2541. ทดลองปูร์ฟิกเลสต์. พิมพ์ครั้งที่ 1, ไลบรารี่ นาย: กรุงเทพฯ.

สุรัชดา สัมพันธารักษ์. 2540. วิศวกรรมปูร์ฟี. พิมพ์ครั้งที่ 1, วิศวกรรมสถานแห่งประเทศไทย ในพระบรมราชูปถัมภ์: กรุงเทพฯ.

### ภาษาอังกฤษ

Amalendu Bagchi. 1994. Design, Construction and Monitoring of Landfills. 2<sup>nd</sup> Edition, John Wiley & Sons: New York.

American Society for Testing Material. 1996. Annual Book of ASTM Standards. Vol. 04.08.

Andersland, O.B., and Mathew, P.J. 1973. Consolidation of High Ash Papermill Sludge. Journal of the Soil Mechanics and Foundation Div., ASCE, 99(SM5), pp. 365-374.

Ashford, S. A., Visvanathan, C., Husain, N., and Chomsurin, C. 2000. Design and Construction of Engineered Municipal Solid Waste Landfills in Thailand. Waste Management & Research 18: pp. 462-470.

Belfiore, F., Manassero, M., and Viola, C. 1990. Geotechnical Analysis of Some Industrial Sludges. Geot. of Waste Fills-Theory and Practice, ASTM STP 1070, A. Landva and G.D. Knowles, Eds., ASTM, Philadelphia, pp. 317-330.

Brinkgreve, R.B.J., and Vermeer, P.A. 1998. Finite Element Code for Soil and Rock Analyses. Version 7, A.A. Balkema: Rotterdam.

- Bromwell, L.G. 1978. Properties, Behavior and Treatment of Waste Fills. ASCE, Met. Section, Seminar-Improving Poor Soil Conditions: New York.
- Cooper and Clark Consulting Engineering. 1982. Stability Evaluation of Sunnyvale Sanitary Landfill. Report to the City of Sunnyvale: Calif.
- Cunningham, J.A., Lukas, R.G., and Anderson, T.C. 1977. Impoundment of Fly Ash and Slag-A Case Study. Proc. Geot. Pract. for Disp. of Solid Waste Mat., ASCE, Ann Arbor, pp. 227-245.
- Das, B.M. 1994. Principles of Geotechnical Engineering. 3<sup>rd</sup> Edition, PWS: Massachusetts.
- Del Greco, O., and Oggeri, C. 1994. Shear Resistance Test on Solid Municipal Wastes. 1<sup>st</sup> Int. Congress on Eng. Geot., Alberta: Canada, pp. 643-651.
- Dodt, M.E., Sweatman, M.B., and Bergstrom, W.R. 1987. Field Measurement of Landfill Surface Settlement. Geot. Practice for Waste Disp.'87, Geot. Special Publ. No.13, R.D. Woods, Ed., ASCE, Ann Arbor, pp. 406-417.
- Fang, H.Y., and Slutter, R.G. 1976. Stress-Strain Characteristic of Compacted Waste Disposal Material. in New Horizontal in Construction Materials, Vol. 1, H.Y. Fang, Ed., Envo Publishing: Bethlehem, Penn., pp. 127-137.
- Head, K.H. 1982. Manual of Soil Laboratory Testing. Vol.2
- Holubec, I. 1976. Geotechnical Aspects of Coal Waste Embankments. Canadian Geot. J., 13(1): pp. 27-39.
- Issa S. Oweis and Raf P. Khera. 1990. Geotechnology of Waste Management. 1<sup>st</sup> Edition, Butterworth: London.
- Issa S. Oweis and Raf P. Khera, 1998. Geotechnology of Waste Management. 2<sup>nd</sup> Edition, PWS: Boston.

James K. Mitchell. 1993. Fundamentals of Soil Behavior. 2<sup>nd</sup> Edition, John Wiley & Sons: New York.

Kavazanjian Jr., N., Matasovit, R., Bonaparte, G.R., and Schmertmazin, E. 1995. Evaluation of MSW Properties for Seismic Analysis, Geoenvironment 2000. Geot. Special Publ. No.64, Y.B. Acar and D.E. Daniel, Eds., ASCE: New Orleans, pp.1126-1141.

Keene, P. 1977. Sanitary Landfill Treatment, Interstate Highway 84. Proc. Geot. Pract. for Disp. of Solid Waste Mat., ASCE: Ann Arbor, pp.632-644.

Lambe, T. W., and Whitman, R. V. 1969. Soil Mechanics, SI Version. John Wiley & Sons: New York.

Landva, A., and Clark, J.I. 1990. Geotechics of waste. in Geotechics of Waste Fills-Theory and Practice, ASTM STP 1070, A. Landva and G.D. Knowles, Eds., ASTM: Philadelphia, pp. 86-106.

McLaren, R.J., and DiGioia, A.M. 1987. The Typical Engineering Properties of Fly Ash. Geot. Practice for Waste Diposal'87, Geot. Special Publ. No.13, R.D. Woods, Ed., ASCE: Ann Arbor, pp. 683-697.

Means, R.E., and Parcher, J.V. 1963. Physical Properties of Soils. Charles E. Merrill Books Inc.: Ohio.

Mitchell, J. K. 1993. Fundamentals of Soil Behavior. 2<sup>nd</sup> Edition, John Wiley & Sons: Singapore.

Newman, F.B., McGee, J., and Burns, D. 1987. Embankment over Fly Ash Pond at Ports mouth Power Station. Geot. Practice for Waste-Disposal'87, Geot. Special Publ. No. 13, R.C. Woods, Ed., ASCE: Ann Arbor, pp. 713-727.

Sheurs, R.E., and Khera, R.P. 1980. Stabilization of a Sanitary Landfill to Support a Highway. National Academy of Science, TRR 754, pp. 46-53

- Siegel, R.A., Robertson, R.J., and Anderson, D.G. 1990. Slope Stability Investigations at a Landfill in Southern California. In Geotechnics of Waste Fills-Theory and Practice, ASTM STP 1070, A. Landva and G.D. Knowles, Eds., ASTM Philadelphia, pp. 259-284.
- Singh, S., and Murphy, B. 1990. Evaluation of the Stability of Sanitary Landfills. In Geotechnics of Waste Fills-Theory and Practice, ASTM STP 1070, A. Landva and G.D. Knowles, Eds., ASTM Philadelphia, pp. 240-58.
- Sowers, G.F. 1973. Settlement of Waste Disposal Fills. 8<sup>th</sup> Int. CSMFE, Moscow: Russia, pp. 207-210.
- Stone, K.F.L., Randolph, M.F., Toh, S., and Sales, A.A. 1994. Evaluation of Consolidation Behavior of Mine Tailings. J. of Geot. Eng. Div., ASCE, 120(3): pp. 473-490.
- Stulgis, R.P., Soydemir, C., and Telgener, R.J. 1995. Predicting Landfill Settlement. Geoenvironment 2000, Geot. Special Tech. Publ. No. 46, Y.B. Acar and D.E. Daniel, Eds., ASCE: New Orleans, pp. 980-994.
- Terzaghi K., and Peck, R.B. 1967. Soil Mechanics in Engineering Practice. 2<sup>nd</sup>. Edit., John Wiley & Sons.
- Yen, B.C., and Scanlon, B., 1975. Sanitary Landfill Settlement Rates. J. of Geot. Eng. Div., ASCE, 101(GT5), pp. 475-490.
- York, D., Lesser, N., Bellatty, T., Israi, E., and Patel, A., 1977. Terminal Development on a Refuse Fill Site. Geot. Pract. For Disp. of Solid Waste Mat., ASCE: Ann Arbor, pp. 810-830.

## **ประวัติผู้เขียนวิทยานิพนธ์**

นางสาวกฤติยา ไชยม เกิดวันที่ 19 กันยายน พ.ศ. 2520 สำเร็จการศึกษาในระดับปริญญาตรี คณะวิศวกรรมศาสตร์ ภาควิชาวิศวกรรมโยธา จากมหาวิทยาลัยเทคโนโลยีพระจอมเกล้าธนบุรีในปีพ.ศ. 2543 และเข้าศึกษาต่อในระดับมหาบัณฑิต คณะวิศวกรรมศาสตร์ ภาควิชา วิศวกรรมโยธา สาขาวิศวกรรมปฐพีในปีเดียวกัน จนจบหลักสูตรในปีการศึกษา 2545

**สถาบันวิทยบริการ  
องค์กรนิมิตมหาวิทยาลัย**